

આ ગાળા પર સૂક્ષ્મ ખંડો t/n સરવાળો ગાળાના પરિધિ $2\pi R$ જેટલો થાય છે. આથી, સંપૂર્ણ વર્તુળાકાર ગાળા વડે P બિંદુએ ઉદ્ભવતું ચુંબકીયક્ષેત્ર

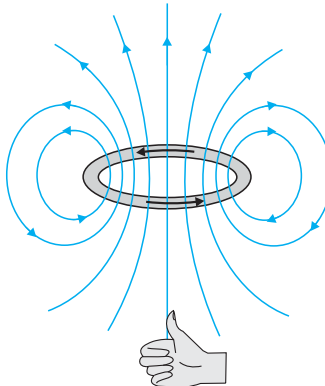
$$\mathbf{B} = B_x \hat{\mathbf{i}} = \frac{\mu_0 I R^2}{2(x^2 + R^2)^{3/2}} \hat{\mathbf{i}} \quad (4.15)$$

આ પરિણામના વિશિષ્ટ કિસ્સા તરીકે આપણે આ ગાળાના કેન્દ્ર પર ચુંબકીયક્ષેત્રનું મૂલ્ય મેળવી શકીએ. અહીં $x=0$ અને તેથી આપણને

$$\mathbf{B}_0 = \frac{\mu_0 I}{2R} \hat{\mathbf{i}} \quad (4.16)$$

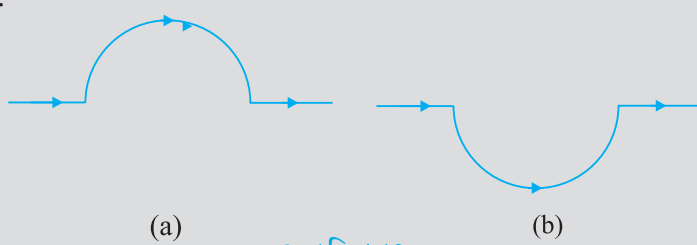
મળે છે. વર્તુળાકાર તારને લીધે ઉદ્ભવતી ચુંબકીયક્ષેત્ર રેખાઓ આકૃતિ 4.12માં દર્શાવ્યા મુજબ બંધ ગાળાઓ રચે છે. ચુંબકીયક્ષેત્રની દિશા (બીજા) જમણા-હાથના અંગુઠાના નિયમ વડે દર્શાવાય છે જે નીચે આપેલ છે :

તમારા જમણા હાથની મુઠી વર્તુળાકાર તારની ફરતે એ રીતે વાળો કે જેથી તમારી આંગળીઓ વિદ્યુતપ્રવાહની દિશામાં હોય. જમણા હાથનો અંગુઠો ચુંબકીયક્ષેત્રની દિશા દર્શાવશે.



આકૃતિ 4.12 વિદ્યુતપ્રવાહ ધારિત ગાળા માટે ચુંબકીયક્ષેત્ર રેખાઓ. ચુંબકીયક્ષેત્રની દિશા જમણા-હાથના અંગુઠાના નિયમ વડે મળે છે જે લખાણમાં દર્શાવ્યું છે. ગાળાની ઉપરની બાજુને ચુંબકનો ઉત્તર પ્રુવ ગણી શકાય જ્યારે નીચેની બાજુને દક્ષિણ પ્રુવ ગણી શકાય.

ઉદાહરણ 4.6 આકૃતિ 4.13(a)માં દર્શાવ્યા મુજબ 12 A વિદ્યુતપ્રવાહ ધારિત સીધા તારને 2 cm ત્રિજ્યાના અર્ધ વર્તુળાકાર ચાપમાં વાળ્યો છે. ધારોકે આ ચાપના કેન્દ્ર પર ચુંબકીયક્ષેત્ર \mathbf{B} છે. (a) સીધા વિભાગો વડે ઉદ્ભવતું ચુંબકીયક્ષેત્ર કેટલું હશે? (b) અર્ધવર્તુળાકાર ચાપના કારણે મળતા \mathbf{B} કરતાં, વર્તુળાકાર ગાળા વડે મળતું ચુંબકીયક્ષેત્ર કઈ રીતે જુદું પડે છે અને કઈ રીતે તેને મળતું આવે છે? (c) આકૃતિ 4.13(b)માં દર્શાવ્યા મુજબ આ તારને તેટલી જ ત્રિજ્યાના પરંતુ વિરુદ્ધ દિશામાં અર્ધ વર્તુળાકાર ચાપમાં વાળવામાં આવે તો તમારો જવાબ જુદો હશે?



ઉકેલ

- (a) દરેક સીધા ખંડ માટે dI અને r સમાંતર છે. આથી, $dI \times r = 0$. સીધા ખંડ $|B|$ માં કોઈ ફાળો આપતા નથી.
- (b) અર્ધવર્તુળાકાર ચાપના દરેક ખંડ માટે દરેક $dI \times r$ એકબીજાને સમાંતર છે (આ પુસ્તકના પાનના સમતલની અંદર જતું. આ દરેકનો ફાળો કુલ માનમાં ઉમેરાય છે. આથી અર્ધવર્તુળાકાર ચાપ માટે B ની દિશા જમણા હાથના અંગુઠાના નિયમ વડે દર્શાવાય છે અને તેનું મૂલ્ય વર્તુળાકાર ગાળા વડે મળતા માન કરતાં અડવું હોય છે. આમ B આ પાનના સમતલને લંબાઝુપે અંદરની દિશા તરફ 1.9×10^{-4} T જેટલું છે.
- (c) B નું માન (b)માં મળતા માન જેટલું જ પરંતુ વિરુદ્ધ દિશામાં મળશે.

ઉદાહરણ 4.6

ઉદાહરણ 4.7 10 cm ત્રિજ્યા ધરાવતું અને ખૂબ પાસે રહેલા 100 આંટા ધરાવતું એક ગુંચળું (Coil) ધ્યાનમાં લો, જેમાંથી 1 A વિદ્યુતપ્રવાહ પસાર થાય છે. આ ગુંચળાના કેન્દ્રમાં ચુંબકીયક્ષેત્રનું મૂલ્ય કેટલું હશે?

ઉકેલ ગુંચળું ખૂબ પાસે આંટા ધરાવતું હોવાથી, આપણે દરેક વર્તુળાકાર ઘટક (અંશ)ની ત્રિજ્યા એક સમાન $R = 10$ cm = 0.1 m લઈ શકીએ. આંટાઓની સંખ્યા $N = 100$ ચુંબકીયક્ષેત્રનું મૂલ્ય

$$B = \frac{\mu_0 NI}{2R} = \frac{4\pi \times 10^{-7} \times 10^2 \times 1}{2 \times 10^{-1}} = 2\pi \times 10^{-4} = 6.28 \times 10^{-4} \text{ T}$$

ઉદાહરણ 4.7

4.7 ઓમ્પિયરનો સર્કીટલ (બંધ ગાળાનો) નિયમ (AMPERE'S CIRCUITAL LAW)

બાયોસાવરના નિયમને વધુ સારી અને સચોટ રીતે દર્શાવવાની બીજી રીત પણ છે.

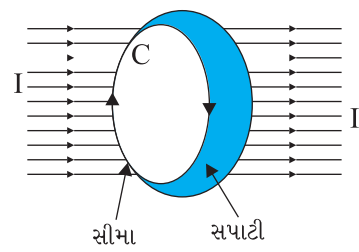
ઓમ્પિયરના સર્કીટલ નિયમમાં સીમા રેખા ધરાવતી મુક્ત (ખૂલ્લી) સપાટી ધ્યાનમાં લેવામાં આવે છે (આફુતિ 4.14). આ સપાટીમાંથી વિદ્યુતપ્રવાહ પસાર થાય છે. આપણે સીમા રેખાને નાના ખંડોમાં વહેંચાયેલી ગણી શકીએ. dI લંબાઈનો આવો એક ખંડ ધ્યાનમાં લો. આ ખંડ માટે આપણે ચુંબકીયક્ષેત્રનો સ્પર્શીય (Tangential) ઘટક B , લઈ તેની સાથે આ ખંડની લંબાઈ d નો ગુણાકાર કરીએ (નોંધ : $B, dI = B \cdot dI$). આવા બધા ગુણાકારોનો સરવાળો કરવામાં આવે છે. આ ખંડો સૂક્ષ્મ થતા જાય અને તેમની સંખ્યા વધતી જાય તે લક્ષ (Limit) વિચારીએ. અહીં સરવાળો સંકલનમાં પરિણમશે. ઓમ્પિયરનો સર્કીટલ નિયમ જણાવે છે કે આ સંકલન આ સપાટીમાંથી પસાર થતા વિદ્યુતપ્રવાહ અને μ_0 ના ગુણાકાર જેટલું હશે. એટલે કે,

$$\oint B \cdot dI = \mu_0 I \quad [4.17(a)]$$

જ્યાં, I એ આ સપાટીમાંથી પસાર થતો કુલ વિદ્યુતપ્રવાહ છે. સંકલન આ સપાટીને સમાવતી સીમા Cના બંધ ગાળા પર લેવામાં આવે છે. ઉપરનું સમીકરણ, જમણા હાથના નિયમ વડે દર્શાવતી સંજ્ઞા-પ્રણાલિકા (રુઢિ)નું પાલન કરે છે. જમણા હાથની આંગળીઓને આ સીમા પર જે દિશામાં જવાના હોઈએ તે રીતે વાળો કે જે માટે બંધ ગાળા પર સંકલન $\oint B \cdot dI$ લીધું છે.

અહીં અંગુઠાની દિશા જે દિશામાં વિદ્યુતપ્રવાહ ને ધન ગણવામાં આવે છે તે દર્શાવે છે.

કેટલાક ઉપયોગો માટે, સમીકરણ 4.17(a)નું વધુ સરળ સ્વરૂપ પુરતું થઈ રહે છે. આવા કિસ્સાઓમાં આપણે એમ ધારીશું કે, એવો બંધ ગાળો (જેને ઓમ્પિરિયન લૂપ કહે છે) પસંદ કરવાનું શક્ય છે કે જે ગાળાના દરેક બિંદુ માટે, કંતો



આફુતિ 4.14



આન્ડ્રે ઓમ્પિયર

(André Ampere) (1775-1836)
 આન્ડ્રે મેરી ઓમ્પિયર ફેન્ચ ભौતિક શાસ્ત્રી, ગણિતજ્ઞ અને રસાયણશાસ્ત્રી હતો જેણે વિદ્યુત ગતિ શાસ્ત્રના વિજ્ઞાનની શોધ કરી. ઓમ્પિયર નાનપણથી વિલક્ષણ હતો, જે 12 વર્ષની ઉંમરે તો વિકસિત (Advanced) ગણિતમાં પારંગત હતો. તેણે ઓર્સ્ટેડ્સ (Oersted's) કરેલી શોધનું મહત્વ સમજ્યું હતું. તેણે વિદ્યુતપ્રવાહ અને ચુંબકત્વ વચ્ચેનો સંબંધ જાળવા માટે ઘણા બધા પ્રયોગોની હારમાળાનો અભ્યાસ કર્યો. આ બધા પ્રયોગોના પરિણામ સ્વરૂપે 1827માં ‘ફક્ત પ્રયોગો આધારિત વિદ્યુતગતિ શાસ્ત્રની ઘટનાઓ વિશે ગણિતીય સિદ્ધાંત’ (Mathematical Theory of Electrodynamic Phenomena Deduced Solely from Experiments) પ્રકાશિત થયો. તેણે પૂર્વધારણા કરી કે બધી ચુંબકીય ઘટનાઓ, વર્તુળમાર્ગ (Circulating) વિદ્યુતપ્રવાહોના કારણે હોય છે. ઓમ્પિયર વિનાન્દ્ર અને ભૂલકણા (બેધાન) હતા. એક વખત તે સપ્રાટ નેપોલીયને આપેલ જમણાનું આમંત્રણ પણ ભૂલી ગયા હતા. 61 વર્ષની ઉંમરે તે ન્યૂમોનિયાના કારણે ગૃહજરી ગયા. તેમની કબર પરના સમાધી લૈખમાં લખ્યું છે : અંતે સુખી (Tandem Felix - Happy at Last).

આન્ડ્રે ઓમ્પિયર (André Ampere) (1775-1836)

- B** આ ગાળાને સ્પર્શિતું (સ્પર્શકની દિશામાં) હોય અને **B** અશૂન્ય અયળ હોય, અથવા
- B** આ ગાળાને લંબરૂપે હોય, અથવા
- B** નાભુદ થતું હોય.
હવે, ધારોકે ગાળા (ના વિભાગ)ની લંબાઈ L માટે **B** સ્પર્શકની દિશામાં છે. ધારોકે આ ગાળા વડે ધેરાયેલ વિદ્યુતપ્રવાહ I_e છે. આથી સમીકરણ (4.17) પરથી

$$BL = \mu_0 I_e \quad [4.17(b)]$$

જ્યારે કોઈ સંભિત ધરાવતું તત્ત્વ હોય જેમકે આકૃતિ 4.15 મુજબ વિદ્યુતપ્રવાહ ધારિત અનંત લંબાઈનો સીધો તાર, તો ગુંસનો નિયમ જે રીતે વિદ્યુતક્ષેત્રની ગણતરી માટે મદદરૂપ થાય છે તે જ રીતે, ઓમ્પિયરના નિયમથી ચુંબકીયક્ષેત્રની ગણતરી સહેલાઈથી કરી શકાય છે. આ સ્થિતિ આગળ આપેલ ઉદાહરણ 4.8માં દર્શાવી છે. ધ્યાનમાં લીધેલ ગાળાની સીમા વર્તુળાકાર છે અને ચુંબકીયક્ષેત્ર વર્તુળના પરિધિને સ્પર્શકની દિશામાં છે. સમીકરણ 4.17(b)ની ડાબી બાજુ માટે આ નિયમ મુજબ $B \cdot 2\pi r$ મળે. તારથી r અંતરે ચુંબકીયક્ષેત્ર સ્પર્શકની દિશામાં મળે, જેનું મૂલ્ય

$$B \times 2\pi r = \mu_0 I,$$

$$B = \mu_0 I / (2\pi r) \quad (4.18)$$

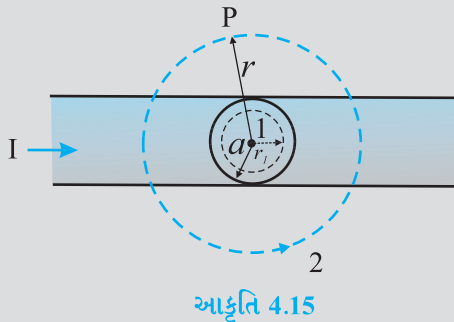
અનંત લંબાઈના તાર માટે ઉપરનું પરિણામ ઘણા દિઝિકોશથી રસપ્રદ છે.

- તે દર્શાવે છે કે (તારને અક્ષ તરીકે ગાળીએ તો), r ત્રિજ્યાના વર્તુળના દરેક બિંદુએ ચુંબકીયક્ષેત્રનું મૂલ્ય એક સરખું હોય છે. બીજા શર્દોમાં, ચુંબકીયક્ષેત્ર નળાકારીય સંભિત ધરાવે છે. ક્ષેત્ર જે સામાન્ય રીતે ત્રણ યામ પર આધાર રાખે છે તે (અહીં) ફક્ત એક યામ r પર આધારિત છે. જ્યાં જ્યારે પણ સંભિત હોય ત્યાં (ઉકેલો સહેલા હોય છે (સહેલાઈથી મળે છે)).
- વર્તુળના દરેક બિંદુએ ચુંબકીયક્ષેત્ર સ્પર્શકની દિશામાં હોય છે. આમ, અયળ માનવાણા ચુંબકીયક્ષેત્રની રેખાઓ સમકેન્દ્રી વર્તુળો રચે છે. હવે યાદ કરો કે, આકૃતિ 4.1(c)માં, લોખંડની ભૂકી સમકેન્દ્રી વર્તુળો રચતી હતી. આ રેખાઓ જે બંધ વકો (ગાળા) રચે છે તેમને ચુંબકીયક્ષેત્ર રેખાઓ કહે છે. તે સ્થિત વિદ્યુતક્ષેત્ર રેખાઓની જેમ ધન વિદ્યુતભારોમાંથી ઉત્પન્ન થઈ ઋણ વિદ્યુતભારમાં સમાઈ જાય તેવી નથી. સીધા તાર વડે ઉદ્ભબતા ચુંબકીયક્ષેત્રનું સમીકરણ ઓરસ્ટેડ્સ કરેલા પ્રયોગોનું સૈદ્ધાંતિક સમાધાન કરે છે.
- બીજો નોંધવા જેવો મુદ્દો એ છે કે તાર અનંત લંબાઈનો હોવા છીતાં, તેનાથી નહિવતૂ (પણ Non Zero) અંતરે (અત્યંત નજીક) ચુંબકીયક્ષેત્ર અનંત નથી. તારની ખૂબ નજીક પહોંચીએ ત્યારે જ તે ખૂબ જડપથી વધે છે. આ ક્ષેત્ર વિદ્યુતપ્રવાહના સમપ્રમાણમાં અને (અનંત લંબાઈનાં) વિદ્યુતપ્રવાહ ઉદ્ગમથી અંતરના વસ્ત પ્રમાણમાં હોય છે.

- (iv) લાંબા (વિદ્યુતપ્રવાહ ધારિત) તાર વડે ઉદ્ભવતા (ચુંબકીય) ક્ષેત્રની દિશા શોધવા માટે એક સીધો નિયમ* છે. જમણા હાથના નિયમ તરીકે ઓળખાતો આ નિયમ નીચે મુજબ છે :
- તારને તમારો જમણા હાથથી એવી રીતે પકડો કે જેથી તમારો વિસ્તારેલો અંગૂઠો વિદ્યુતપ્રવાહની દિશામાં રહે. તમારી આંગળીઓ ચુંબકીયક્ષેત્રની દિશામાં વળેલી હશે.

ઓભિયરનો સર્કિટલ નિયમ બાયોસાવરના નિયમ કરતાં કઈ પણ નવું કહેતો નથી. બંને ચુંબકીયક્ષેત્ર અને વિદ્યુતપ્રવાહને સાંકળે છે, અને બંને સ્થિર વિદ્યુતપ્રવાહના કારણો મળતા એકસમાન ભૌતિક પરિણામો જ દર્શાવે છે. જે રીતે કુલંબના નિયમ માટે ગોસનો નિયમ છે, તે જ રીતે બાયોસાવરના નિયમ માટે ઓભિયરનો નિયમ છે. ઓભિયરનો નિયમ બંને પરિમિતિ/પરિધિ કે સીમા પર આવેલી ભૌતિક રાશિ (ચુંબકીય કે વિદ્યુતક્ષેત્ર)ને અંદર રહેલી બીજી ભૌતિક રાશિ, જેમકે ક્ષેત્રના ઉદ્ગમ (વિદ્યુતપ્રવાહ કે વિદ્યુતભાર) સાથે સાંકળે છે. આપણે એ પણ નોંધીએ કે ઓભિયરનો સર્કિટલ નિયમ સ્થિર વિદ્યુતપ્રવાહો માટે સત્ય છે જે સમય સાથે બદલાતા ન હોય. હવે આપેલું ઉદાહરણ આપણને અંદર રહેલ (ધેરાયેલા) વિદ્યુતપ્રવાહ શર્દનો અર્થ સમજવા માટે મદદરૂપ થશે.

ઉદાહરણ 4.8 આકૃતિ 4.15માં વિદ્યુતપ્રવાહ I ધારિત, વર્તુળકાર આડછેદ (ત્રિજ્યા a)નો એક લાંબો સીધો તાર દર્શાવ્યો છે. વિદ્યુતપ્રવાહ I, આડછેદમાં સમાન રીતે પ્રસરેલો છે. $r < a$ અને $r > a$ વિસ્તારોમાં ચુંબકીયક્ષેત્રની ગણતરી કરો.



ઉકેલ

- (a) ધારોકે $r > a$. અનુક્રમ 2 વડે દર્શાવેલ ઓભિરિયન ગાળો, આ આડછેદ સાથે સમકેન્દ્રિત વર્તુળ (રચ્યે) છે. આ ગાળા માટે,

$$L = 2\pi r$$

$$I_e = \text{ગાળા વડે ધેરાયેલ વિદ્યુતપ્રવાહ} = I$$

પરિણામે, લાંબા સીધા તાર માટેનું જાણીતું સમીકરણ

$$B(2\pi r) = \mu_0 I.$$

$$B = \frac{\mu_0 I}{2\pi r}$$

$$B \propto \frac{1}{r} (r \geq a) \quad [4.19(a)]$$

- (b) ધારોકે $r < a$. ઓભિરિયન ગાળો અનુક્રમ 1 વડે દર્શાવ્યો છે. આ ગાળા માટે, વર્તુળની ત્રિજ્યા r લઈએ તો,

$$L = 2\pi r$$

ઉદાહરણ 4.8

* નોંધો કે અહીં બે બિલકુલ અલગ જમણા હાથના નિયમો છે : એક વિદ્યુતપ્રવાહ ધારિત ગાળાની અક્ષ પર ચુંબકીયક્ષેત્ર B ની દિશા દર્શાવે છે. જ્યારે બીજો સીધા વિદ્યુતપ્રવાહ ધારિત તાર માટે B ની દિશા દર્શાવે છે. બંનેમાં આંગળીઓ અને અંગૂઠો અલગ અલગ ભજવે છે.

હવે ધેરાયેલ વિદ્યુતપ્રવાહ I_e , I જેટલો નથી પરંતુ આ મૂલ્યથી ઓછો છે. વિદ્યુતપ્રવાહનું વિતરણ સમાન હોવાથી, ધેરાયેલો વિદ્યુતપ્રવાહ

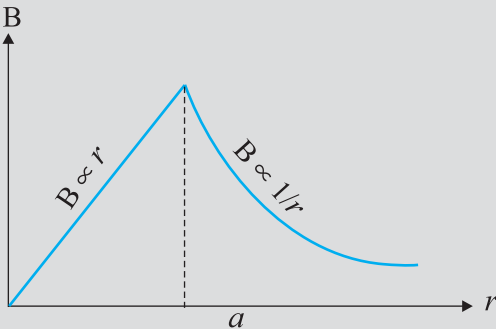
$$I_e = I \left(\frac{\pi r^2}{\pi a^2} \right) = \frac{I r^2}{a^2}$$

$$\text{એમિયરના નિયમ પરથી, } B(2\pi r) = \mu_0 \frac{I r^2}{a^2}$$

$$B = r \left(\frac{\mu_0 I}{2\pi a^2} \right)$$

$$B \propto r \quad (r \leq a)$$

[4.19(b)]



આફ્ટિ 4.16

આફ્ટિ (4.16)માં ચુંબકીયક્ષેત્ર B ના મૂલ્ય વિરુદ્ધ તારના કેન્દ્રથી અંતર a નો આલેખ દર્શાવ્યો છે. ચુંબકીયક્ષેત્રની દિશા અનુરૂપ વર્તુળાકાર ગાળા (1 કે 2) સાથે સ્પર્શકની દિશામાં હોય છે જે આ વિભાગમાં સમજાવેલ જમણા હાથના નિયમ મુજબ મળે છે. આ ઉદાહરણ જરૂરી સંભિતિ ધરાવે છે કે જેથી એમિયરનો નિયમ સરળતાથી લગાડી શકાય.

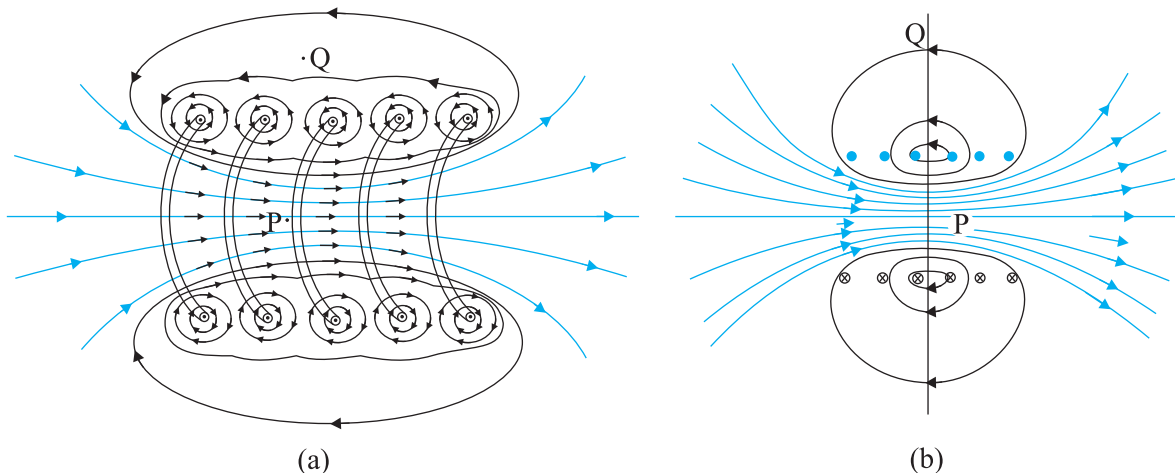
એ નોંધવું જોઈએ કે એમિયરનો સર્કિટલ નિયમ કોઈપણ ગાળા માટે સાચો હોવા છતાં, દરેક કિસ્સામાં તેના દ્વારા ચુંબકીયક્ષેત્રની ગણતરી દરેક વખતે શક્ય ન પણ બને. ઉદાહરણ તરીકે, પરિસ્ક્રેટ 4.6માં દર્શાવેલ વર્તુળાકાર ગાળાના કિસ્સામાં, ગાળાના કેન્દ્ર પાસે ચુંબકીયક્ષેત્ર માટેનું સામાન્ય સમીકરણ $B = \mu_0 I / 2R$ (સમીકરણ (4.16)) મેળવવા માટે તે (એમિયરનો નિયમ) લાગુ ન પડી શકાય. આમ છતાં, ઊંચી સંભિતિ ધરાવતી એવી ઘણી બધી પરિસ્થિતિઓ છે કે જેના માટે આ નિયમ સહેલાઈથી લાગુ પાડી શકાય. આપણે તેનો ઉપયોગ હવે પછીના પરિશિષ્ટમાં સામાન્ય રીતે ઉપયોગમાં લેવાતા અને ખૂબ ઉપયોગી એવા બે ચુંબકીય તંત્રો, સોલેનોઇડ અને ટોરોઇડ માટે કરીશું.

4.8 સોલેનોઇડ અને ટોરોઇડ (THE SOLENOID AND THE TOROID)

સોલેનોઇડ અને ટોરોઇડ એ એવા બે સાધન છે જે ચુંબકીયક્ષેત્ર ઉત્પન્ન કરે છે. ટેલિવિઝનમાં સોલેનોઇડનો ઉપયોગ જરૂરી ચુંબકીયક્ષેત્રો ઉત્પન્ન કરવા માટે થાય છે. સિન્કોટ્રોનમાં આ બંનેનો ઉપયોગ સંયુક્ત રીતે, જરૂરી એવા ખૂબ ઊંચા ચુંબકીયક્ષેત્રો ઉત્પન્ન કરવા માટે થાય છે. સોલેનોઇડ અને ટોરોઇડ, બંનેમાં ખૂબ ઊંચી સંભિતિ (ની માત્રા) હોવાથી એમિયરનો નિયમ સહેલાઈથી લાગુ પાડી શકાય છે.

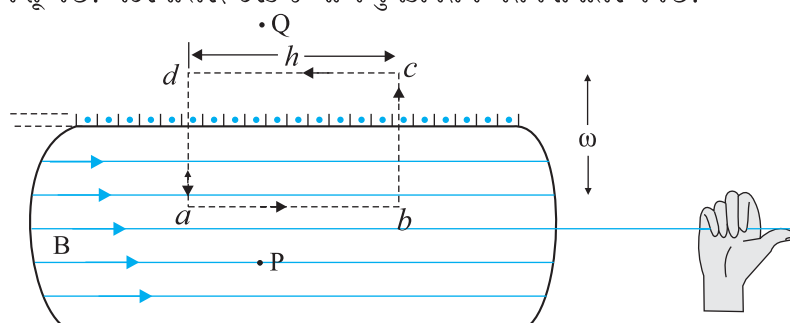
4.8.1 સોલેનોઇડ (The Solenoid)

આપણે લાંબા સોલેનોઇડની ચર્ચા કરીશું. લાંબા સોલેનોઇડનો મતલબ એ કે તેની ત્રિજ્યાની સરખામણીમાં તેની લંબાઈ ધણી વધુ હોય. તે એક લાંબા તારને ખૂબ પાસે રહેલા આંટાઓમાં હેલીકલ રૂપમાં વિંટાળીને બનાવેલ હોય છે. આથી દરેક આંટાને વર્તુળાકાર ગાળો ગણી શકાય. કુલ ચુંબકીયક્ષેત્ર, દરેક આંટાઓના કારણે ઉદ્ભવતા ચુંબકીયક્ષેત્રોના સંદિશ સરવાળા જેટલું હોય છે. આંટા વિટવા માટે ઈનેમલવાળા (અવાહક પડ ચઢાવેલા) તારનો ઉપયોગ કરવામાં આવે છે જેથી આ આંટા એક બીજાના સંપર્કમાં અવાહક તરીકે વર્તે.



આકૃતિ 4.17 (a) સોલેનોઇડના કારણે ઉદ્ભવતું ચુંબકીયક્ષેત્ર, જે સ્પષ્ટતા માટે પ્રસરાવીને દર્શાવ્યું છે.
ફક્ત બહારનો અર્ધવર્તુળાકાર ભાગ દર્શાવ્યો છે. આજુબાજુના વર્તુળાકાર ગાળાના આંટાઓની અસર એકબીજાને ડેવા રીતે નાખું કરે છે તે નોંધો. (b) સિમિત (પરિમિત) સોલેનોઇડનું ચુંબકીયક્ષેત્ર.

આકૃતિ 4.17માં સિમિત સોલેનોઇડની ચુંબકીયક્ષેત્ર રેખાઓ દર્શાવી છે. આપણે આ સોલેનોઇડના એક ભાગનું વિવર્ણિત નિરૂપણ આકૃતિ 4.17(a)માં દર્શાવ્યું છે. આકૃતિ 4.17(b)માં સમગ્ર સોલેનોઇડ તેના ચુંબકીયક્ષેત્ર સાથે દર્શાવ્યો છે. આકૃતિ 4.17(a)માં, વર્તુળાકાર ગાળાઓ પરથી તે દેખીતું છે કે બાજુ બાજુના આંટાઓનું ચુંબકીયક્ષેત્ર નાખું થઈ જાય છે. આકૃતિ 4.17(b)માં આપણે જોઈ શકીએ કે સોલેનોઇડની અંદરની તરફ મધ્યમાં આવેલા બિંદુ P પાસે ચુંબકીયક્ષેત્ર નિયમિત (Uniform), પ્રબળ અને તેની અક્ષની દિશામાં છે. બહારના મધ્યબિંદુ Q પાસે ચુંબકીયક્ષેત્ર નબળું અને મોટાભાગે સોલેનોઇડની અક્ષને સમાંતર હોય છે. જેનો લંબ ઘટક હોતો નથી. સોલેનોઇડ જેમ મોટો બનતો જાય તેમ તે જાણે કે લાંબી નજાકાર ધાતુની તકિટ (Sheet) જેવો લાગે છે. આકૃતિ 4.18માં તેનું આદર્શ નિરૂપણ દર્શાવ્યું છે. સોલેનોઇડની બહાર ચુંબકીયક્ષેત્ર શૂન્યવત્ત થતું જાય છે. આપણે ધારીશું કે, બહારની તરફ ચુંબકીયક્ષેત્ર શૂન્ય છે. અંદરની તરફ દરેક જગ્યાએ ચુંબકીયક્ષેત્ર અક્ષને સમાંતર બને છે.



આકૃતિ 4.18 ખૂબ લાંબા સોલેનોઇડનું ચુંબકીયક્ષેત્ર. ચુંબકીયક્ષેત્ર શોધવા માટે આપણે લંબચોરસ ઓફિસિયન ગાળો abcda ધ્યાનમાં લઈશું.

એક લંબચોરસ ઓમ્પિરિયન ગાળો $abcda$ ધારો. અગાઉ દર્શાવ્યું તેમ cd પર ચુંબકીય ક્ષેત્ર શૂન્ય છે. આથી, આ બંને ખંડો કોઈ ફાળો આપતા નથી. ધારોકે ab ને સમાંતર ચુંબકીય ક્ષેત્ર B છે.

આમ, ઓમ્પિરિયન ગાળાની પ્રસ્તુત લંબાઈ $L = h$ છે. જો એકમ લંબાઈ દીઠ આંટાઓની સંખ્યા n હોય, તો કુલ આંટાઓની સંખ્યા nh હોય. વેરાયેલો વિદ્યુતપ્રવાહ, $I_e = I(nh)$ છે. જ્યાં, I એ સોલેનોઇડમાંથી વહેતો વિદ્યુતપ્રવાહ. ઓમ્પિરના સર્કિટલ નિયમ (સમીકરણ 4.17(b)) પરથી,

$$BL = \mu_0 I_e, Bh = \mu_0 I(nh) \\ B = \mu_0 nI \quad (4.20)$$

ચુંબકીય ક્ષેત્રની દિશા જમણા હાથના નિયમ પરથી મળે છે. સોલેનોઇડનો ઉપયોગ મોટા ભાગે સમાન (નિયમિત) ચુંબકીય ક્ષેત્ર મેળવવા માટે થાય છે. હવે પછીના પ્રકરણમાં આપણે જોઈશું કે સોલેનોઇડમાં અંદર નરમ લોખંડ ગર્ભ દાખલ કરવાથી મોટું ચુંબકીય ક્ષેત્ર ઉત્પન્ન કરી શકાય છે.

4.8.2 ટોરોઇડ (The Toroid)

ટોરોઇડએ પોલી વર્તુળાકાર રીંગ (વલય) છે. જેના પર તારના ઘણા બધા આંટા (અવાહક પડ ચઢાવેલા) પાસપાસે વિંટાળેલા હોય છે. તેને એવા સોલેનોઇડ તરીકે વિચારી શકાય કે જેને વર્તુળાકારમાં વાળીને એકબીજાને જોડેલ હોય. તેને વિદ્યુતપ્રવાહ I સાથે આકૃતિ 4.19(a)માં દર્શાવ્યો છે. આપણે જોઈશું કે ટોરોઇડની અંદરની ખૂલ્લી જગ્યામાં (P બિંદુએ) અને તેની બહાર (Q બિંદુએ) ચુંબકીય ક્ષેત્ર શૂન્ય છે. ખૂબ નજીક આંટા ધરાવતા આદર્શ ટોરોઇડની અંદર ચુંબકીય ક્ષેત્ર B નું મૂલ્ય અચળ હોય છે.

આકૃતિ 4.19 (b)માં ટોરોઇડનો આદ્ધેદ દર્શાવ્યો છે. વર્તુળાકાર ગાળાઓ માટે જમણા હાથના નિયમ મુજબ (ટોરોઇડની) અંદરના ભાગમાં ચુંબકીય ક્ષેત્રની દિશા સમબંધી હોય છે. ત્રણ ઓમ્પિરિયન ગાળાઓ 1, 2 અને 3 ને નુટક રેખાઓ વડે દર્શાવ્યા છે. સંમિત મુજબ, ચુંબકીય ક્ષેત્ર દરેક ગાળાને સ્પર્શકની દિશામાં હોવું જોઈએ તથા આપેલ ગાળા માટે તેનું મૂલ્ય અચળ હોવું જોઈએ. 2 અને 3 વડે બનતા બંને વર્તુળાકાર વિસ્તારો ટોરોઇડને એવી રીતે છેદ છે કે જેથી વિદ્યુતપ્રવાહ ધારિત તારનો દરેક આંટો એક વખત ગાળા 2 વડે તથા બે વખત ગાળા 3 વડે છેદાય છે.

ધારોકે, ગાળા 1 પર ચુંબકીય ક્ષેત્રનું મૂલ્ય B_1 છે : આથી ઓમ્પિરના સર્કિટલ નિયમ [સમીકરણ 4.17(a)]માં, $L = 2\pi r_1$

આમ છતાં, આ ગાળો કોઈ વિદ્યુતપ્રવાહને વેરતો (સમાવતો) ન હોવાથી $I_e = 0$. આથી,

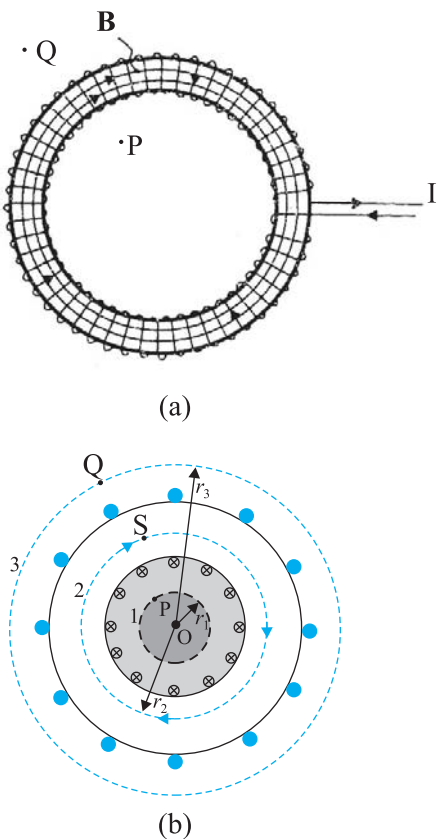
$$B_1(2\pi r_1) = \mu_0(0), \quad B_1 = 0$$

આથી, ટોરોઇડમાં ખૂલ્લી જગ્યામાં આવેલા કોઈ પણ બિંદુ P પાસે ચુંબકીય ક્ષેત્ર શૂન્ય હોય છે.

હવે આપણે દર્શાવીશું કે આ જ રીતે Q પાસે ચુંબકીય ક્ષેત્ર શૂન્ય હોય છે. ધારોકે ગાળા 3 પર ચુંબકીય ક્ષેત્ર B_3 છે. અહીંયા પણ ઓમ્પિરના નિયમ પરથી $L = 2\pi r_3$. આમ છતાં, આદ્ધેદ પરથી આપણે જોઈ શકીએ કે પુસ્તકના (પાનાના) સમતલમાંથી બહાર તરફ આવતો વિદ્યુતપ્રવાહ અંદર તરફ જતા તેટલા જ પ્રવાહ વડે નાખું થાય છે. આથી, $I_e = 0$ અને $B_3 = 0$. ધારોકે (સોલેનોઇડ) ટોરોઇડની અંદર ચુંબકીય ક્ષેત્ર B છે. હવે આપણે S પાસે ચુંબકીય ક્ષેત્ર ગણીશું. અહીંયા પણ આપણે સમીકરણ [4.17(a)] મુજબ ઓમ્પિરના નિયમનો ઉપયોગ કરીશું. આપણને $L = 2\pi r$ મળશે.

વેરાયેલો (સમાવતો) વિદ્યુતપ્રવાહ I_e (ટોરોઇડના ગંયગાળા N આંટા માટે), NI જેટલો છે.

$$B_1(2\pi r_1) = \mu_0 NI$$



આકૃતિ 4.19 (a) વિદ્યુતપ્રવાહ I ધારિત ટોરોઇડ. (b) ટોરોઇડનો આદ્ધેદ. ઓમ્પિરના સર્કિટલ નિયમનો ઉપયોગ કરીને ટોરોઇડના કેન્દ્ર Oથી યાદચિક્ક રૂપ અંતરે ચુંબકીય ક્ષેત્ર મેળવી શકાય છે. 1, 2 અને 3 વડે દર્શાવેલ નુટક રેખાઓ ત્રણ ઓમ્પિરિયન ગાળાઓ દર્શાવે છે.

$$B = \frac{\mu_0 NI}{2\pi r} \quad (4.21)$$

હવે આપણો ટોરોઇડ અને સોલેનોઇડ માટેના બે પરિણામોની સરખામજી કરીએ. સોલેનોઇડ માટે મળેલા સમીકરણ (4.20) સાથે સરખામજી સહેલાઈથી થાય તે માટે આપણે સમીકરણ (4.21)ને બીજ રીતે લખીશું. ધારોકે ટોરોઇડની સરેરાશ ન્યિજ્યા r છે અને એકમ લંબાઈ દીઠ આંટાઓની સંખ્યા n છે.

આથી,

$$N = 2\pi r n = \text{ટોરોઇડનો (સરેરાશ) પરિધિ} \times \text{એકમ લંબાઈ દીઠ આંટાઓની સંખ્યા}$$

અને આમ,

$$B = \mu_0 n I \quad (4.22)$$

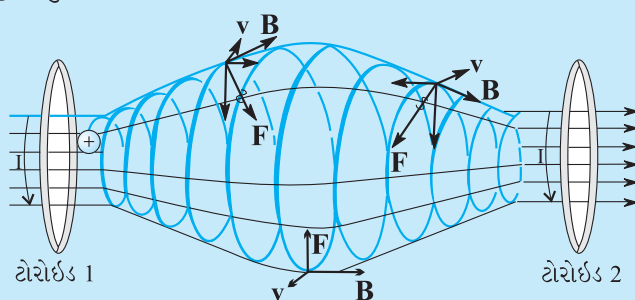
આ, સોલેનોઇડ માટેનું સમીકરણ છે !

આદર્શ ટોરોઇડમાં આંટાઓ વર્તુળાકાર હોય છે.

વાસ્તવમાં ટોરોઇડના ગુંચળામાં આંટાઓ હેલીક્ષ બનાવે છે જેમાં ટોરોઇડની બહાર થોડુંક ચુંબકીયક્ષેત્ર તો હોય જ છે.

ચુંબકીય બંધન (ઘેરાવો) (MAGNETIC CONFINEMENT)

પરિચ્છેદ 4.3માં આપણો જોયું (આ પ્રકરણમાં અગાઉ આપેલ, વિદ્યુતભારીત કષોની હેલીક્લ ગતિ વિશેના બોક્ષમાં પણ જુઓ) કે વિદ્યુતભારીત કષોની કક્ષાઓ (ચુંબકીયક્ષેત્રમાં) હેલીક્લ (પેચ આકારની, સર્પિલ) હોય છે. જો ચુંબકીયક્ષેત્ર નિયમિત ન હોય, પરંતુ એક વર્તુળાકાર કક્ષા દરમિયાન વધુ પડતું બદલતું ન હોય, તો જ્યારે તે તીવ્ર ચુંબકીયક્ષેત્રમાં પ્રવેશો ત્યારે હેલીક્ષની ન્યિજ્યા ઘટશે અને જ્યારે તે નબળા ચુંબકીયક્ષેત્રમાં પ્રવેશો ત્યારે (હેલીક્ષની ન્યિજ્યા) વધશે. શૂન્યાવકાશિત બંધ્ય પાત્રમાં થોડાક અંતરે રહેલા બે સોલેનોઇડ ધાનમાં લો (નીચે આપેલ આકૃતિ જુઓ જેમાં આપણો બંધ્ય પાત્ર દર્શાવ્યું નથી). બે સોલેનોઇડ વચ્ચેના અવકાશમાં વિદ્યુતભારીત કષોનાની ન્યિજ્યા (ના હેલીક્લ માર્ગો)થી ગતિ શરૂ કરશે. જેમ ચુંબકીયક્ષેત્ર ઘટે તેમ આ ન્યિજ્યા વધશે અને બીજા સોલેનોઇડ પાસે પહોંચતા (ચુંબકીયક્ષેત્ર વધવાથી) ન્યિજ્યા ફરીથી ઘટશે. સોલેનોઇડ જાણે કે અરિસા (પરાવર્તક) તરીકે વર્તે છે. [આકૃતિમાં દર્શાવ્યા મુજબ જ્યારે (વિદ્યુતભારીત) કષા ગુંચળા 2 પાસે પહોંચે ત્યારે Fની દિશા જુઓ. આગળ તરફની (Forward) ગતિની વિરુદ્ધ દિશામાં તેને (Fને) સમક્ષિતિજ ઘટક છે]. આ કારણે જ્યારે આ કષોનો સોલેનોઇડ પાસે પહોંચે ત્યારે પાછા ફરે છે. આવી રચના ચુંબકીય શીશી (Bottle) કે ચુંબકીય પાત્ર તરીકે વર્તે છે. આ કષો ક્યારેય (બે સોલેનોઇડને સમાવતા) પાત્રની દિવાલોને સ્પર્શશે નહીં. ફ્યુઝનના પ્રયોગો દરમાન ઊંચી ઊર્જા ધરાવતા ખાજમાને જકડી રાખવા (To Confinement, ઘેરી રાખવા) આવી ચુંબકીય બોટલ્સ ખૂબ ઉપયોગી છે. ખૂબ ઊંચા તાપમાનને કારણે આ ખાજમાં બીજા કોઈ પણ પ્રકારના પદાર્થ (દ્રવ્ય)ના પાત્રનો નાશ કરી દેશે. બીજું મહત્વનું (ઉપયોગી) પાત્ર ટોરોઇડ છે. ટોકામેક (Tokamak) કે જે ફ્યુઝન પાવર રીએકર્ટ્સ માટે ખાજમાને જકડી (ઘેરી) રાખતું ઉપકરણ છે, તેમાં ટોરોઇડ મહત્વનો ભાગ ભજવે તેવું અપેક્ષિત છે. ફાન્સમાં નિયંત્રિત સંલયન (Controlled Fusion) સિદ્ધ કરવા માટે ઈન્ટરનેશનલ થર્મોન્યુક્લિકાર એક્સપરીમેન્ટલ રિએક્ટર (ITER)ની રચના આંતર રાખ્યી સહયોગથી કરવામાં આવી છે, જેમાં ભારત પણ એક સહયોગી દેશ છે. ITER સહયોગી સંસ્થા અને તેના કાર્ય (Project) વિશે વધુ માહિતી તમે <http://www.iter.org>ની મુલાકાત લઈ મેળવી શકો.



ઉદાહરણ 4.9

ઉદાહરણ 4.9 1 cm ન્યિજયા અને 0.5 m લંબાઈનો સોલેનોઇડ 500 આંટા ધરાવે છે. તેમાંથી 5 A વિદ્યુતપ્રવાહ પ્રસાર થાય છે. સોલેનોઇડની અંદર ચુંબકીયક્ષેત્રનું મૂલ્ય કેટલું હશે?

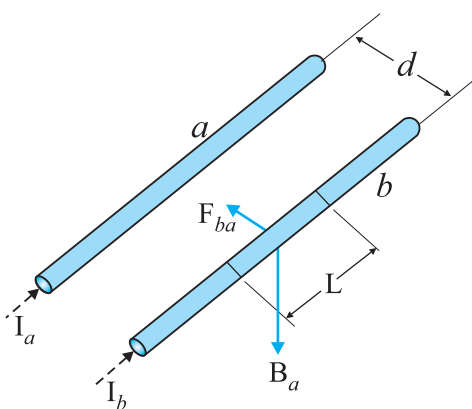
ઉકેલ એકમ લંબાઈ દીઠ આંટાઓની સંખ્યા

$$n = \frac{500}{0.5} = 1000 \text{ turns/m}$$

લંબાઈ $l = 0.5 \text{ m}$ અને ન્યિજયા $r = 0.01 \text{ m}$. આથી $l/a = 50$ એટલે કે $l \gg a$. આથી, આપણે લાંબા સોલેનોઇડના સમીકરણ (4.20)નો ઉપયોગ કરી શકીએ,

$$\begin{aligned} B &= \mu_0 n I \\ &= 4\pi \times 10^{-7} \times 10^3 \times 5 \\ &= 6.28 \times 10^{-3} \text{ T} \end{aligned}$$

4.9 બે સમાંતર વિદ્યુતપ્રવાહ વચ્ચે લાગતું બળ, ઓમ્પિયર (FORCE BETWEEN TWO PARALLEL CURRENTS, THE AMPERE)



આકૃતિ 4.20 સ્થિર વિદ્યુતપ્રવાહ I_a અને I_b ધરાવતા અને એકબીજાથી d અંતરે રહેલા બે સીધા વાહકો (તાર). વાહક 'a' વડે વાહક 'b' પાસે ઉદ્ભવતું ચુંબકીયક્ષેત્ર B_a છે.

આપણે શીઝ્યા છીએ કે વિદ્યુતપ્રવાહ ધારિત વાહકના કારણે ચુંબકીયક્ષેત્ર ઉદ્ભવે છે જે બાયોસાવરના નિયમને અનુસરે છે. ઉપરાંત, આપણે એ પણ શીઝ્યા છીએ કે બાબ્ય ચુંબકીયક્ષેત્ર, વિદ્યુતપ્રવાહ ધારિત વાહક પર બળ લગાડશે. તે લોરેન્ઝના સમીકરણ પરથી મળે છે. આમ, પાસપાસે મુકેલા બે વિદ્યુતપ્રવાહ ધારિત વાહકો એકબીજા પર (ચુંબકીય) બળ લગાડશે, એવી અપેક્ષા રાખવી તર્કસંગત છે. 1820–25ના ગાળામાં, ઓમ્પિયરે આ ચુંબકીય બળનો પ્રકાર અને વિદ્યુતપ્રવાહના મૂલ્ય પર, વાહકોના આકાર અને કદ પર તથા બે વાહકો વચ્ચેના અંતર પર તેના આધાર વિશે અભ્યાસ કર્યો. આ પરિચ્છેદમાં આપણે બે સમાંતર વિદ્યુતપ્રવાહ ધારિત વાહકોનું ઉદાહરણ જોઈશું, જે આપણને ઓમ્પિયરે કરેલા કષ્ટમય કાર્ય વિશે ઘ્યાલ આપશે.

આકૃતિ 4.20માં એકબીજાથી d અંતરે રહેલા બે લાંબા, સમાંતર વાહકો a અને b દર્શાવ્યા છે જેમાંથી અનુક્રમે (સમાંતર) વિદ્યુતપ્રવાહો I_a અને I_b પસાર થાય છે. વાહક 'a' દ્વારા વાહક 'b' પર દરેક બિંદુએ સમાન ચુંબકીયક્ષેત્ર B_a ઉત્પન્ન થાય છે. જમણા હાથનો નિયમ દર્શાવે છે કે આ ક્ષેત્રની દિશા (જ્યારે બંને વાહકો સમક્ષિતજ મુક્યા હોય ત્યારે) નીચે તરફ (અધોદિશામાં) હોય છે. તેનું મૂલ્ય સમીકરણ [4.19(a)] પરથી અથવા ઓમ્પિયરના સર્કિટલ નિયમ પરથી મળે છે,

$$B_a = \frac{\mu_0 I_a}{2\pi d}$$

ચુંબકીયક્ષેત્ર B_a ના કારણે વિદ્યુતપ્રવાહ I_b ધરાવતો સુવાહક, બાજુની તરફ (ચુંબકીય) બળ અનુભવશે. B_a ના કારણે લાગતું આ બળ સુવાહક 'a'ની દિશામાં હશે (ચકાસો). આ બળને આપણે F_{ba} વડે દર્શાવીશું, જે 'b'ના વિભાગ (ખંડ) L પર 'a'ના કારણે લાગતું બળ છે. આ બળનું મૂલ્ય સમીકરણ (4.4) પરથી,

$$\begin{aligned}
 F_{ba} &= I_b L B_a \\
 &= \frac{\mu_0 I_a I_b}{2\pi d} L
 \end{aligned} \tag{4.23}$$

‘*b*’ના કારણે ‘*a*’ પર લાગતું બળ શોધવું પણ શક્ય છે. ઉપર કરેલી ધારણાઓ મુજબ આપણે ‘*a*’ના વિભાગ (ખંડ) L પર ‘*b*’ વડે લાગતું બળ F_{ab} શોધી શકીએ. તે F_{ab} ના મૂલ્ય જેટલું અને b ની તરફ હોય છે. આથી,

$$F_{ba} = -F_{ab} \tag{4.24}$$

નોંધો કે આ ન્યૂટનના ગ્રીજા નિયમ સાથે સુસંગત છે.* આમ, ઓછામાં ઓછું સમાંતર વાહકો અને સ્થિર વિદ્યુતપ્રવાહો માટે આપણે દર્શાવ્યું કે બાયોસાવરનો નિયમ અને લોરેન્ઝ બળનું પરિણામ ન્યૂટનના ગ્રીજા નિયમ મુજબ મળે છે.

ઉપર આપણે જોયું કે, એક જ દિશામાં વહેતા વિદ્યુતપ્રવાહો એક બીજાને આકર્ષ છે. કોઈ એ પણ દર્શાવી શકે કે વિરુદ્ધ દિશામાં વહેતા વિદ્યુતપ્રવાહો એકબીજાને અપાકર્ષ છે. આમ,

સમાંતર વિદ્યુતપ્રવાહો આકર્ષાને પ્રતિસમાંતર પ્રવાહો અપાકર્ષ હોય છે.

સ્થિત વિદ્યુતના નિયમ કરતાં આ નિયમ ઉલટો છે. સમાન (સાંજાતિક) વિદ્યુતભારો એકબીજાને અપાકર્ષ છે, જ્યારે સમાન (સમાંતર) વિદ્યુતપ્રવાહો એકબીજાને આકર્ષ છે.

ધારો કે, બળ F_{ba} નું એકમ લંબાઈ દીઠ મૂલ્ય f_{ba} વડે દર્શાવીએ તો સમીકરણ (4.23) પરથી,

$$f_{ba} = \frac{\mu_0 I_a I_b}{2\pi d} \tag{4.25}$$

આ સમીકરણનો ઉપયોગ એમ્પિયર (A)ને વ્યાખ્યાયિત કરવા માટે થાય છે, જે સાત મૂળભૂત SI એકમોમાંનો એક છે.

એમ્પિયર એ સ્થિર વિદ્યુતપ્રવાહનું અનું મૂલ્ય છે, જે બે ખૂબ લાંબા, સીધા અને નહીંવત (અવગાય) આડહેદ ધરાવતા તથા શૂન્યાવકાશમાં એકબીજાથી એક મીટર અંતરે સમાંતર મુકેલા, વાહકોમાંથી પસાર થતો હોય, ત્યારે બંને વાહકો પર એક મીટર લંબાઈ દીઠ 2×10^{-7} ન્યૂટન બળ લગાડે (ઉત્પન્ન કરે).

એમ્પિયરની આ વ્યાખ્યા 1946માં સ્વીકારવામાં આવી. આ સૈદ્ધાંતિક વ્યાખ્યા છે. વ્યવહારમાં આપણે પૃથ્વીના ચુંબકીયક્ષેત્રની અસર નાખું કરવી જોઈએ તથા ખૂબ લાંબા તારની જગ્યાએ યોગ્ય ભૌમિકિક આકારના ઘણા આંટા ધરાવતા ગુંચળાઓનો ઉપયોગ કરવો પડે. વિદ્યુતપ્રવાહ તુલા (ંાંટા, Balance) નામના સાધનનો ઉપયોગ આ યાંત્રિક બળ માપવા માટે થાય છે.

વિદ્યુતભારનો SI એકમ, જે કુલંબ કહેવાય છે, તેને હવે એમ્પિયરના સંદર્ભમાં વ્યાખ્યાયિત કરી શકાય.

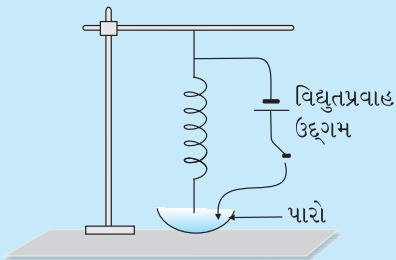
જ્યારે સુવાહકમાંથી 1 A જેટલો સ્થિર વિદ્યુતપ્રવાહ પસાર કરવામાં આવે, ત્યારે તેના આડહેદમાંથી 1 ડમાં પસાર થતો વિદ્યુતભાર એક કુલંબ (1 C) જેટલો હોય છે.

* એ જણાયું છે કે જ્યારે વિદ્યુતપ્રવાહો અને/અથવા ગતિમાન વિદ્યુતભારો સમય પર આધારિત હોય, ત્યારે વિદ્યુતભારો અને/અથવા (વિદ્યુતપ્રવાહ ધારિત) સુવાહકો વચ્ચે લાગતા બળો માટે ન્યૂટનના ગ્રીજાને નિયમ લાગુ પડતો નથી. યંત્રશાખામાં ન્યૂટનના ગ્રીજા નિયમ પરથી, અલગ કરેલા તંત્ર માટે વેગમાનના સંરક્ષણનો નિયમ, સીધો તરી આવે છે. જો (વિદ્યુત કે ચુંબકીય) ક્ષેત્ર વડે ધારણ કરાતું વેગમાન ધ્યાનમાં લેવામાં આવે તો આ બાબત વિદ્યુતચુંબકીયક્ષેત્રોની સમય-આધારિત પરિસ્થિતિઓમાં પડા લાગુ પડે છે.

સમांતર વિદ્યુતપ્રવાહો વચ્ચેના આકર્ષણ માટે રોગેટનું સર્પિલ ગુંચળું (ROGET'S SPIRAL FOR ATTRACTION BETWEEN PARALLEL CURRENTS)

સામાન્ય રીતે ચુંબકીય અસરો, વિદ્યુતીય અસરો કરતાં નાની હોય છે. પરિણામે, વિદ્યુતિ પ્રવાહો વચ્ચેનું બળ સામાન્યતઃ ઓછું હોય છે, કારણ કે ગુણાંક μ નાનો હોય છે. આથી વિદ્યુતપ્રવાહો વચ્ચેનું આકર્ષણ કે અપાકર્ષણ દર્શાવવું અધરું પડે છે. આમ, 1 cm અંતરે રહેલા 5 A વિદ્યુતપ્રવાહ ધારિત તાર માટે, એક મીટર લંબાઈ દીઠ બળ 5×10^{-4} N જેટલું હોય, જે લગભગ 50 mg વજન જેટલું છે. તે ગરગડી પરથી પસાર થતી દોરી પર 50 mg વજન લટકાવને તારને ઉપર ખેંચવા જેટલું છે. તારનું સ્થાનાંતર નોંધપાત્ર ન હોય તેવું હોય છે.

નરમ સ્પ્રિંગનો ઉપયોગ કરીને, આપણે સમાંતર વિદ્યુતપ્રવાહની અસરકારક લંબાઈ વધારી શકીએ અને પારાનો ઉપયોગ કરીને આપણે થોડા મિમી (mm) જેટલું સ્થાનાંતર દર્શયમાન બનાવી શકીએ. આ માટે આપણને અચળ 5 A વિદ્યુતપ્રવાહ આપી શકે તેવા વિદ્યુતપ્રવાહ ઉદ્ગમની જરૂર પડશે.



જેનો પ્રાકૃતિક દોલન આવર્તકણ 0.5 – 1 s હોય તેવું નરમ સર્પિલ ગુંચળું (સ્પ્રિંગ) લો. તેને લંબરૂપે લટકાવો. તથા આકૃતિમાં દર્શાવ્યા મુજબ તેનો નીચેનો છેડો અણીદાર રાખો. એક પાત્રમાં પારો લો અને સ્પ્રિંગને એવી રીતે ગોઈવો કે જેથી તેનો અણીદાર છેડો પારાની સપાટીને (ફક્ત) સ્લેજ અડકે. DC વિદ્યુતપ્રવાહ ઉદ્ગમ લો, તેના એક છેડાને સ્પ્રિંગના ઉપરના છેડા સાથે જોડો તથા બીજા છેડાને પારામાં ઢૂબે તે રીતે રાખો. જ્યારે સ્પ્રિંગનો અણીદાર છેડો પારાના સંપર્કમાં આવે ત્યારે પારા દ્વારા પરિપથ પૂર્ણ થાય છે.

શરૂઆતમાં ધારોકે DC ઉદ્ગમને બંધ રાખવામાં આવે છે. સ્પ્રિંગની અણી એ રીતે ગોઈવેલી છે કે જેથી તે પારાને ફક્ત સ્લેજ અડકે. અચળ વિદ્યુતપ્રવાહના ઉદ્ગમને ચાલુ કરો અને અદ્ભુત નજારો જુઓ. સ્પ્રિંગ જાટક સાથે સંકોચાશે, અણીદાર છેડો પારામાંથી બહાર આવશે (ફક્ત એકાદ મીમી જેટલો), પરિપથ તૂટશે જેથી વિદ્યુતપ્રવાહ અટકી જશે. સ્પ્રિંગ પાછી તેના મૂળ સ્થાને આવવા પ્રયત્ન કરશે, તેનો અણીદાર છેડો ફરીથી પારાને અડકે જેથી પરિપથમાં વિદ્યુતપ્રવાહ વહેવા લાગશે અને આ રીતે આવર્તનો ટીક, ટીક, ટીક... કરતાં ચાલુ રહેશે. શરૂઆતમાં, સારી અસર ઉત્પન્ન કરવા માટે તમારે થોડીક નાની ફરગોઈવણી કરવી પડે.

પારાની વરાળ જેરી હોય છે આથી તમારો ચહેરો તેનાથી દુર રાખો. પારાની વરાળને લાંબા સમય સુધી શ્વાસમાં ન લો.

ઉદાહરણ 4.10 કોઈ સ્થળે પૃથ્વીના ચુંબકીયક્ષેત્રનો સમક્ષિતિજ ઘટક 3.0×10^{-5} T છે અને આ ક્ષેત્રની દિશા ભૌગોલિક દક્ષિણથી ભૌગોલિક (ઉત્તર તરફ છે. એક લાંબો સીધો વાહક 1 A જેટલો સ્થાયી વિદ્યુતપ્રવાહ ધરાવે છે. તેને સમક્ષિતિજ ટેબલ પર મુકવામાં આવે અને તેમાંથી પસાર થતા વિદ્યુતપ્રવાહની દિશા (a) પૂર્વથી પશ્ચિમ તરફ, (b) દક્ષિણથી (ઉત્તર તરફ હોય, ત્યારે તેની એકમ લંબાઈ દીઠ તેના પર લાગતું બળ કેટલું હશે?

$$\text{ઉકેલ } \mathbf{F} = I\mathbf{l} \times \mathbf{B}$$

$$F = I/B \sin\theta$$

એકમ લંબાઈ દીઠ બળ

$$f = F/l = IB \sin\theta$$

(a) જ્યારે વિદ્યુતપ્રવાહ પૂર્વથી પશ્ચિમ તરફ વહેતો હોય ત્યારે $\theta = 90^\circ$

આથી, $f = IB$

$$= 1 \times 3 \times 10^{-5} = 3 \times 10^{-5} \text{ N m}^{-1}$$

જે એમ્પિયરની વ્યાખ્યામાં દર્શાવેલ મૂલ્ય $2 \times 10^{-7} \text{ N m}^{-1}$ કરતાં વધુ છે. આથી અહીંથી એમ્પિયરને પ્રમાણભૂત કરવા માટે પૃથ્વીના ચુંબકીયક્ષેત્ર અને બીજા ક્ષેત્રોની અસર નાભૂદ કરવી જોઈએ.

બળની દિશા નીચે તરફ છે. સદિશ ગુણાકારના દિશા ગુણધર્મ મુજબ આ દિશા મેળવી શકાય.

(b) જ્યારે વિદ્યુતપ્રવાહ ઉત્તરથી દક્ષિણ તરફ વહેતો હોય તારે

$$\theta = 0^\circ$$

$$f = 0$$

આથી વાહક પર કોઈ બળ લાગતું નથી.

ઉદ્દેશ્ય 4.10

4.10 વિદ્યુતપ્રવાહ ધારિત ગૂંઘળા (પ્રવાહગાળા) પર લાગતું ટોક, ચુંબકીય ડાઈપોલ (TORQUE ON CURRENT LOOP, MAGNETIC DIPOLE)

4.10.1 નિયમિત ચુંબકીયક્ષેત્રમાં રાખેલ વિદ્યુતપ્રવાહ ધારિત લંબચોરસ ગૂંઘળા (પ્રવાહગાળા) પર લાગતું ટોક (Torque on a Rectangular Current Loop in a Uniform Magnetic Field)

હવે આપણે દર્શાવીએ કે સ્થિર વિદ્યુતપ્રવાહ I ધારિત લંબચોરસ ગૂંઘળાને નિયમિત ચુંબકીયક્ષેત્રમાં મુકતાં તે ટોક અનુભવે છે. તે કોઈ પરિણામી (ચોખ્યું) બળ અનુભવવતું નથી. જે વિદ્યુત ડાઈપોલને નિયમિત વિદ્યુતક્ષેત્રમાં મુકતાં (વિભાગ 1.10) થતી વર્તાણું સાથે મળતું આવે છે.

પહેલાં આપણે સાદો કિસ્સો ધ્યાનમાં લઈશું કે જ્યારે લંબચોરસ ગૂંઘળાનું એ રીતે મુકવામાં આવેલ હોય કે જેથી નિયમિત ચુંબકીયક્ષેત્ર **B** આ ગૂંઘળાના સમતલમાં હોય. જે આફૂતિ 4.21(a)માં દર્શાવિલ છે.

આ ચુંબકીયક્ષેત્ર ગૂંઘળાની AD અને BC બાજુઓ પર કોઈ બળ લગાડતું નથી. તે ગૂંઘળાની AB બાજુને લંબરૂપે છે અને તેના પર \mathbf{F}_1 જેટલું બળ લગાડે છે, જે ગૂંઘળાના સમતલ (પૃષ્ઠ)માં અંદર તરફ હોય છે. તેનું મૂલ્ય

$$F_1 = IbB$$

આ જ રીતે તે CD બાજુ પર બળ \mathbf{F}_2 લગાડે છે અને \mathbf{F}_2 પૃષ્ઠના સમતલમાંથી બદાર તરફની દિશામાં હોય છે.

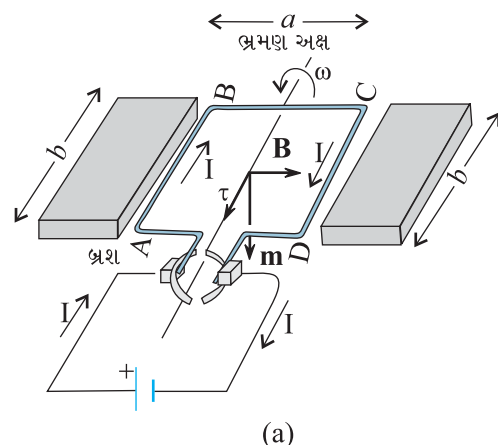
$$F_2 = IbB = F_1$$

આમ, ગૂંઘળા પરનું પરિણામી (ચોખ્યું) બળ શૂન્ય છે. \mathbf{F}_1 અને \mathbf{F}_2 બળોની જોડને કારણે ગૂંઘળા પર ટોક લાગે છે. આફૂતિ 4.21(b)માં AD બાજુના છેડા તરફથી દેખાતું દર્શાવ્યું છે. તે દર્શાવે છે કે ગૂંઘળા પર લાગતું ટોક તેને વિષમદી રીતે ઘૂમાવવાનો પ્રયત્ન કરે છે. આ ટોક (નું મૂલ્ય),

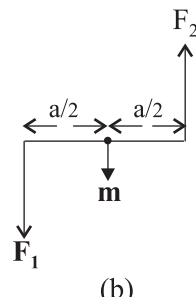
$$\begin{aligned} \tau &= F_1 \frac{a}{2} + F_2 \frac{a}{2} \\ &= IbB \frac{a}{2} + IbB \frac{a}{2} = I(ab)B \\ &= IAB \end{aligned} \quad (4.26)$$

જ્યાં $A = ab$ એ લંબચોરસનું ક્ષેત્રફળ છે.

હવે આપણે એવો કિસ્સો ધ્યાનમાં લઈએ કે જેમાં ગૂંઘળાનું સમતલ, ચુંબકીયક્ષેત્રની દિશામાં ન હોય, પરંતુ તેની સાથે કોઈ ખૂલ્લો બનાવે. આપણે



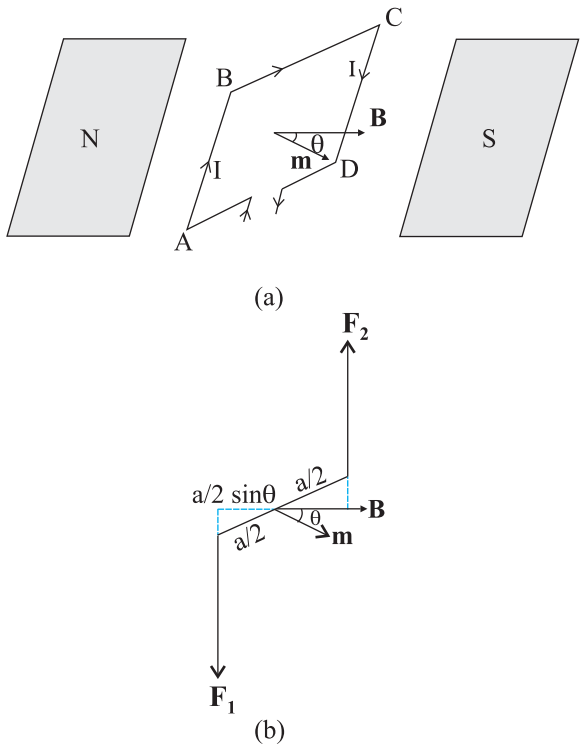
(a)



(b)

આફૂતિ 4.21 (a) નિયમિત ચુંબકીયક્ષેત્રમાં રહેલું વિદ્યુતપ્રવાહ ધારિત લંબચોરસ ગૂંઘળા. ચુંબકીય મોમેન્ટ (ચાકમાત્રા) \mathbf{m} નીચે તરફની દિશામાં છે. ટોક τ અક્ષ પર છે અને તે ગૂંઘળાને વિષમદી દિશામાં ઘૂમાવવાનો પ્રયત્ન કરે છે.

(b) ગૂંઘળા પર લાગતું બળ યુંમ



આકૃતિ 4.22 (a) ગૂંચળાનો ક્ષેત્રફળ સદિશ ચુંબકીયક્ષેત્ર સાથે θ ખૂણો બનાવે છે. (b) ઉપરથી જોતાં ગૂંચળાનો દેખાવ. AB અને CD બાજુઓ પર લાગતાં બળ F_1 અને F_2 દર્શાવ્યા છે.

(ચુંબકીય) ક્ષેત્ર અને ગૂંચળાને દોરેલ લંબ સાથેનો ખૂણો θ લઈએ(આગળના કિસ્સા માટે $\theta = \pi/2$ હતું). આકૃતિ 4.22માં આ વાપક કિસ્સો દર્શાવ્યો છે.

BC અને DA બાજુઓ પર લાગતાં બળો સમાન (મૂલ્યના), વિરુદ્ધ દિશામાં, તથા BC અને DAના દ્રવ્યમાન કેન્દ્રોને જોડતી અક્ષ પર લાગે છે. આ બળો અક્ષ પર એક રેખસ્થ હોવાથી આ બળો એકબીજાને નાબુદ કરે છે જેથી પરિણામી બળ કે ટોક લાગતું નથી. AB અને CD બાજુઓ પરના બળ F_1 અને F_2 છે. તે પણ સમાન અને વિરુદ્ધ દિશામાં છે, જેમનું મૂલ્ય

$$F_1 = F_2 = IbB$$

પરંતુ તેઓ (આ બળો) એક રેખા પર (એક રેખસ્થ) નથી ! આથી અગાઉની જેમ બળ યુગ્મ ઉદ્ભવે છે. આમ છતાં, આ ટોક અગાઉના કિસ્સા, જેમાં ગૂંચળાનું સમતલ ચુંબકીયક્ષેત્રની દિશામાં હતું તે કરતાં ઓછું છે. આનું કારણ એ છે કે, આ બળોની જોડ (યુગ્મ) વચ્ચેનું લંબ અંતર ઘટ્યું છે. આકૃતિ 4.22(b)માં AD છેડા તરફથી જોતાં દેખાતું દર્શાવ્યું છે અને તે જોડ (યુગ્મ) રચતાં બે બળો દર્શાવે છે. ગૂંચળા પર લાગતાં ટોકનું મૂલ્ય,

$$\begin{aligned} \tau &= F_1 \frac{a}{2} \sin\theta + F_2 \frac{a}{2} \sin\theta \\ &= IabB \sin\theta \\ &= IAB \sin\theta \end{aligned} \quad (4.27)$$

જેમ $\theta \rightarrow 0$, તેમ બળોની જોડ (યુગ્મ) વચ્ચેનું લંબ અંતર પણ શૂન્ય થતું જાય છે. તે બળોને એક રેખસ્થ કરે છે અને પરિણામી બળ તથા ટોક શૂન્ય થાય છે. સમીકરણો (4.26) અને (4.27)માં દર્શાવેલા ટોકને ગૂંચળાની ચુંબકીય મોમેન્ટ (ચાકમાત્રા) અને ચુંબકીયક્ષેત્રના સદિશ ગુણાકાર વડે દર્શાવી શકાય. આપણે વિદ્યુતપ્રવાહ ધારિત ગૂંચળાની ચુંબકીય મોમેન્ટ આ રીતે વ્યાખ્યાયોગીત કરીએ છીએ,

$$m = IA \quad (4.28)$$

જ્યાં (ગૂંચળાના) ક્ષેત્રફળ સદિશની દિશા જમણા હાથના અંગુઠાના નિયમ પરથી મળે છે. જે આકૃતિ 4.21માં પૃષ્ઠના સમતલમાં અંદરની તરફ જતી દર્શાવી છે. m અને B વચ્ચેનો ખૂણો પણ θ હોવાથી, સમીકરણો (4.26) અને (4.27)ને એક સમીકરણ વડે આ મુજબ દર્શાવી શકાય.

$$\tau = m \times B \quad (4.29)$$

જે સ્થિત વિદ્યુતના કિસ્સા (વિદ્યુતક્ષેત્ર E માં રહેલા ડાઇપોલ મોમેન્ટ p_e ધરાવતા ડાઇપોલ) જેવું છે.

$$\tau = p_e \times E$$

સમીકરણ (4.28) પરથી જોઈ શકાય કે ચુંબકીય મોમેન્ટના પરિમાણ $[A][L^2]$ અને તેનો એકમ Am^2 છે.

સમીકરણ (4.29) પરથી આપણે જોઈ શકીએ કે જ્યારે m , ચુંબકીયક્ષેત્ર B ને સમાંતર કે પ્રતિસમાંતર દિશામાં હોય ત્યારે ટોક τ નાબુદ (શૂન્ય) થાય છે. આ સંતુલન સ્થિતિ દર્શાવે છે, કારણ કે ગૂંચળા પર કોઈ ટોક લાગતું નથી (આ હકીકત ચુંબકીય મોમેન્ટ (ચાકમાત્રા) m ધરાવતા કોઈ પણ પદાર્થ માટે લાગુ પડે છે). જ્યારે m અને B સમાંતર હોય ત્યારે સંતુલન સ્થિર હોય છે. ગૂંચળાનું થોડુંક પણ

બ્રમણ ટોર્ક ઉત્પન્ન કરે છે, જે તેને મૂળ સ્થિતિમાં લાવે છે. જ્યારે તેઓ પ્રતિસમાંતર હોય, ત્યારે સંતુલન અસ્થિર હોય છે કારણ કે કોઈ પણ કોણાવર્તન (બ્રમણ) ટોર્ક ઉત્પન્ન કરે છે અને તે, કોણાવર્તનનું મૂલ્ય વધે તેમ વધે છે. આ ટોર્કના કારણે જ કોઈ નાના ચુંબક કે કોઈ ચુંબકીય ડાઈપોલને બાખ ચુંબકીયક્ષેત્રમાં મુક્તાં તેની (આ ક્ષેત્રની) દિશામાં ગોડવાઈ જાય છે.

જો ગૂંચળાને પાસપાસે વિંટાળેલા N આંટા હોય, તો પણ ટોર્ક માટેનું સમીકરણ (4.29) સાચું રહે છે, કે જેથી

$$m = NIA \quad (4.30)$$

ઉદાહરણ 4.11 પાસપાસે વિંટાળેલા 100 આંટાવાળું, 10 cm ત્રિજ્યાનું એક વર્તુળાકાર ગૂંચળું 3.2 A વિદ્યુતપ્રવાહ ધરાવે છે. (a) આ ગૂંચળાના કેન્દ્રમાં કેટલું (ચુંબકીય) ક્ષેત્ર હશે? (b) ગૂંચળાની ચુંબકીય મોમેન્ટ (ચાકમાત્રા) કેટલી હશે?

ગૂંચળાને શિરોલંબ સમતલમાં એવી રીતે રાખેલું છે કે જેથી તે તેના વ્યાસ સાથે એક રેખસ્થ એવી સમક્ષિતિજ અક્ષ પર મુક્ત રીતે બ્રમણ કરી શકે. 2 T જેટલું નિયમિત સમક્ષિતિજ ચુંબકીયક્ષેત્ર એવી રીતે પ્રવર્ત્ત (રહેલું) છે કે જેથી શરૂઆતમાં ગૂંચળાની અક્ષ આ ક્ષેત્રની દિશામાં (એક રેખસ્થ) હોય. ચુંબકીયક્ષેત્રની અસર હેઠળ આ ગૂંચળું 90° કોણ જેટલું બ્રમણ કરે છે. (c) ગૂંચળાની પ્રારંભિક અને અંતિમ સ્થિતિઓમાં તેના પર લાગતા ટોર્કના મૂલ્યો કેટલા હશે? (d) જ્યારે ગૂંચળું 90° કોણ પાસે પહોંચે ત્યારે તેણે કેટલી કોણીય ઝડપ પ્રાપ્ત કરી હશે? ગૂંચળાની જડત્વની ચાકમાત્રા 0.1 kg m² છે.

ઉકેલ

(a) સમીકરણ (4.16) પરથી

$$B = \frac{\mu_0 NI}{2R}$$

અહીંથાં, N = 100; I = 3.2 A અને R = 0.1 m. આથી,

$$B = \frac{4\pi \times 10^{-7} \times 10^2 \times 3.2}{2 \times 10^{-1}} = \frac{4 \times 10^{-5} \times 10}{2 \times 10^{-1}}, (\pi \times 3.2 = 10 \text{ લેતા}) \\ = 2 \times 10^{-3} \text{ T}$$

બ્રમણ હાથના અંગૂઠાના નિયમ પરથી દિશા મેળવી શકાય.

(b) સમીકરણ (4.30) પરથી ચુંબકીય મોમેન્ટ,

$$m = NIA = NI\pi r^2 = 100 \times 3.2 \times 3.14 \times 10^{-2} = 10 \text{ Am}^2$$

અહીંથાં પણ દિશા, જ મણા-હાથના અંગૂઠાના નિયમ પરથી મેળવી શકાય.

(c) $\tau = |m \times B|$ [સમીકરણ (4.29) પરથી]

$$= m B \sin\theta$$

શરૂઆતમાં $\theta = 0$. આથી, શરૂઆતનું ટોર્ક $\tau_i = 0$

અંતમાં, $\theta = \pi/2$ (અથવા 90°)

આથી, અંતિમ ટોર્ક $\tau_f = m B = 10 \times 2 = 20 \text{ N m}$

(d) ન્યૂટનના બીજા નિયમ પરથી,

$$\oint \frac{d\omega}{dt} = mB \sin\theta$$

જ્યાં, \oint એ ગૂંચળાની જડત્વની ચાકમાત્રા છે. શૂંખલા (Chain)ના નિયમ મુજબ

$$\frac{d\omega}{dt} = \frac{d\omega}{d\theta} \frac{d\theta}{dt} = \frac{d\omega}{d\theta} \omega$$

જેનો ઉપયોગ કરીને,

$$\oint \omega d\omega = mB \sin\theta d\theta$$

$\theta = 0$ થી $\theta = \pi/2$ સુધી સંકલન કરતાં,

$$J \int_0^{\omega_f} \omega d\omega = mB \int_0^{\pi/2} \sin \theta d\theta$$

$$J \frac{\omega_f^2}{2} = -mB \cos \theta \Big|_0^{\pi/2} = mB$$

$$\omega_f = \left(\frac{2mB}{J} \right)^{1/2} = \left(\frac{2 \times 20}{10^{-1}} \right)^{1/2} = 20 \text{ s}^{-1}$$

ઉદાહરણ 4.12

- (a) વિદ્યુતપ્રવાહ ધારિત એક વર્તુળાકાર ગૂંચળું, લીસા સમક્ષિતિજ સમતલ પર રહેલું છે. એવું કોઈ નિયમિત ચુંબકીયક્ષેત્ર ઉત્પન્ન કરી શકાય કે જેથી ગૂંચળું જાતે (શિરોલંબ અક્ષને અનુલખીને) બ્રમણ કરવા લાગે ?
- (b) વિદ્યુતપ્રવાહ ધારિત એક વર્તુળાકાર ગૂંચળું બાબ્ય નિયમિત ચુંબકીયક્ષેત્રમાં રહેલું છે. જો ગૂંચળું મુક્ત બ્રમણ કરી શકે એવું હોય, તો સ્થિર (સ્થાયી) સંતુલનમાં તે કઈ દિશામાં ગોઠવાયું હશે ? દર્શાવો કે આ ગોઠવાયીમાં કુલ ક્ષેત્ર (બાબ્યક્ષેત્ર + ગૂંચળા વડે ઉદ્ભબેલું ક્ષેત્ર) નાનું ફૂલક્સ મહત્તમ હશે.
- (c) અનિયમિત આકાર ધરાવતું વિદ્યુતપ્રવાહ ધારિત ગૂંચળું બાબ્ય નિયમિત ચુંબકીયક્ષેત્રમાં રહેલું છે. જો તાર નરમ (વળી શકે તેવો ઢીલો, લચીલો) હોય, તો શા માટે તે વર્તુળ આકાર ધારણ કરે છે ?

ઉકેલ

- (a) ના, કારણ કે તે માટે τ શિરોલંબ દિશામાં હોવું જોઈએ. પરંતુ $\tau = I \mathbf{A} \times \mathbf{B}$, અને સમક્ષિતિજ ગૂંચળા માટે A શિરોલંબ દિશામાં હોવાથી, કોઈપણ \mathbf{B} માટે τ ગૂંચળાના સમતલમાં હશે.
- (b) સ્થિર સંતુલનમાં ગોઠવાવાનો અર્થ એ કે ગૂંચળાનો ક્ષેત્રફળ સદિશ \mathbf{A} બાબ્ય ચુંબકીયક્ષેત્રની દિશામાં ગોઠવાયેલ હોય. આ સ્થિતિમાં, ગૂંચળા વડે ઉદ્ભબેલું ચુંબકીયક્ષેત્ર, બાબ્ય ચુંબકીયક્ષેત્રની દિશામાં હોય અને બંને ગૂંચળાના સમતલને લંબ રૂપે હોય, જેથી કુલ (ચુંબકીય) ક્ષેત્રનાનું ફૂલક્સ મહત્તમ થાય.
- (c) આપેલ પરિસ્થિતિ માટે, બીજા આકાર કરતાં વર્તુળ આકાર મહત્તમ ક્ષેત્રફળ ધરાવતો હોવાથી, જ્યારે તે (ગૂંચળું) ચુંબકીયક્ષેત્રને લંબરૂપે હોય ત્યારે મહત્તમ ફૂલક્સ આવરી લેવા તે વર્તુળ આકાર ધારણ કરે છે.

4.10.2 ચુંબકીય ડાયપોલ તરીકે વિદ્યુતપ્રવાહ ધારિત વર્તુળાકાર ગૂંચળું (Circular Current Loop as a Magnetic Dipole)

આ પરિચ્છેદમાં આપણે સાદો ચુંબકીય ઘટક : એટલે કે વિદ્યુતપ્રવાહ ધારિત ગૂંચળું, ધ્યાનમાં લઈશું. આપણે દર્શાવીશું કે વિદ્યુતપ્રવાહ ધારિત વર્તુળાકાર ગૂંચળાના કારણે (લાંબા અંતરે) ઉદ્ભબવતું ચુંબકીયક્ષેત્ર, વિદ્યુત ડાયપોલના વિદ્યુતક્ષેત્ર જેવું જ છે. પરિચ્છેદ 4.6માં આપણે વિદ્યુતપ્રવાહ I ધારિત, R ત્રિજ્યાના, વર્તુળાકાર ગૂંચળા વડે તેની અક્ષ પર ઉદ્ભબવતા ચુંબકીયક્ષેત્રની ગણતરી કરી હતી. આ (ચુંબકીય) ક્ષેત્રનાનું મૂલ્ય [સમીક્ષણ (4.15)],

$$B = \frac{\mu_0 I R^2}{2(x^2 + R^2)^{3/2}}$$

એ અને તેની દિશા જમણા-હાથના અંગુઠાના નિયમ [આકૃતિ 4.12] મુજબ અક્ષ પર હોય છે. અહીં, x એ ગૂંચળાના કેન્દ્રથી તેની અક્ષ પર (આપેલ બિંદુનું) અંતર છે. $x >> R$ માટે આપણે છેદમાં આવેલ R^2 પદ અવગાળી શકીએ. આથી,

$$B = \frac{\mu_0 I R^2}{2x^3}$$

નોંધો કે ગૂંચળાનું ક્ષેત્રફળ $A = \pi R^2$. આથી,

$$B = \frac{\mu_0 I A}{2\pi x^3}$$

અગાઉની જેમ, આપણે $I A$ મૂલ્ય ધરાવતી ચુંબકીય મોમેન્ટ (ચાકમાગ્રા)ને $\mathbf{m} = I \mathbf{A}$ વડે વ્યાખ્યાયિત કરી શકીએ. આથી,

$$\begin{aligned} \mathbf{B} &= \frac{\mu_0 \mathbf{m}}{2\pi x^3} \\ &= \frac{\mu_0}{4\pi} \frac{2\mathbf{m}}{x^3} \end{aligned} \quad [4.31(a)]$$

સમીકરણ [4.31(a)] વડે દર્શાવેલું સૂત્ર, અગાઉ ડાયપોલના વિદ્યુતક્ષેત્ર માટે મેળવેલ સૂત્ર જેવું જ છે. જો આપણે

$$\mu_0 \rightarrow 1/\epsilon_0$$

$$\mathbf{m} \rightarrow \mathbf{p}_e \text{ (સ્થિત વિદ્યુત ડાયપોલ)}$$

$$\mathbf{B} \rightarrow \mathbf{E} \text{ (સ્થિત વિદ્યુતક્ષેત્ર)}$$

મુક્કીએ તો આપણને આ સમાનતા જોવા મળે છે. આ પરથી આપણને,

$$\mathbf{E} = \frac{2\mathbf{p}_e}{4\pi \epsilon_0 x^3}$$

જે પ્રકરણ-1 વિભાગ 1.10 [સમીકરણ (1.20)]માં વિદ્યુતડાયપોલ વડે તેની અક્ષ પરના કોઈ બિંદુએ મળતા વિદ્યુતક્ષેત્ર જેવું જ છે.

ઉપરની સાચ્યતા હજુ આગળ વધારી શકાય. પ્રકરણ-1માં આપણે જોયું હતું કે ડાયપોલના લંબ દ્વિભાજક પર વિદ્યુતક્ષેત્ર

$$\mathbf{E} = \frac{\mathbf{p}_e}{4\pi \epsilon_0 x^3}$$

વડે આપી શકાય [જુઓ સમીકરણ (1.21)], જ્યાં x એ ડાયપોલથી અંતર છે. ઉપરના સમીકરણમાં જો આપણે $\mathbf{p} \rightarrow \mathbf{m}$ અને $\mu_0 \rightarrow 1/\epsilon_0$ બદલીએ, તો આપણને ગૂંચળાના સમતલમાં તેના કેન્દ્રથી x અંતરે આવેલા બિંદુ પાસે \mathbf{B} નું મૂલ્ય મળે. $x \gg R$ માટે,

$$\mathbf{B} = \frac{\mu_0 \mathbf{m}}{4\pi x^3} \quad x \gg R \quad [4.31(b)]$$

સમીકરણો [(4.31(a)) અને [4.31(b)]] વડે મળતા પરિણામો બિંદુવત ચુંબકીય ડાઇપોલ માટે એકદમ ચોક્કસ મળે.

ઉપર મેળવેલા સમીકરણો કોઈ પણ સમતલ ગૂંચળા પર લાગુ પારી શકાય. વિદ્યુતપ્રવાહ ધારિત સમતલ ગૂંચળું એ $\mathbf{m} = I \mathbf{A}$ જેટલી ડાયપોલ મોમેન્ટ (ચાકમાગ્રા) ધરાવતા ચુંબકીય ડાયપોલને સમતુલ્ય છે, જ્યાં \mathbf{m} વિદ્યુત ડાયપોલ મોમેન્ટ \mathbf{p} સાથે સાચ્યતા ધરાવે છે. આમ છતાં, એક પાયાનો તફાવત નોંધવો જોઈએ કે વિદ્યુત ડાયપોલ એ બે મૂળભૂત એકમો વિદ્યુતભારો (અથવા વિદ્યુત એક્ષ્યુપ્લોનો-Monopoles)નો બનેલો છે. ચુંબકત્વમાં, ચુંબકીય ડાયપોલ (અથવા વિદ્યુતપ્રવાહ ધારિત ગૂંચળું) એ સૌથી મૂળભૂત (પ્રાથમિક) ઘટક છે. વિદ્યુતભારોને સમતુલ્ય એટલે કે ચુંબકીય એક ધ્રુવીઓ, અસ્તિત્વમાં હોવાનું માલુમ પડ્યું નથી.

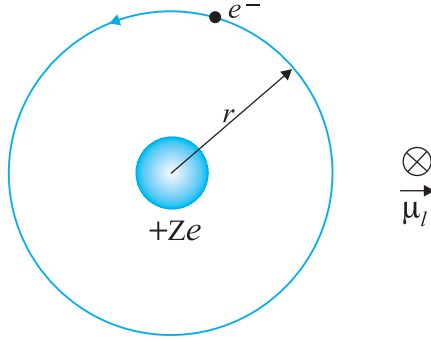
આપણે દર્શાવ્યું છે કે, વિદ્યુતપ્રવાહ ધારિત ગૂંચળું (i) ચુંબકીયક્ષેત્ર ઉત્પન્ન કરે છે (જુઓ આકૃતિ 4.12) અને મોટા અંતરો માટે ચુંબકીય ડાયપોલ તરીકે વર્તે છે, અને (ii) ચુંબકીય સોયની માફક ટોક અનુભવે છે.

આ હકीકતને લીધે એમ્પિયરે એવું સૂચન કર્યું કે, બધું જ ચુંબકત્વ ભ્રમણ કરતા (વર્તુળમાળી) વિદ્યુતપ્રવાહોને આભારી છે. આ થોડા અંશે સાચું પણ લાગે છે અને હજુ સુધી કોઈ પણ ચુંબકીય એક પ્રુવીઓ જોવામાં આવી નથી. આમ છતાં, ઈલેક્ટ્રોન કે પ્રોટોન જેવા પ્રાથમિક કણો જે આંતરિક (આગવી) ચુંબકીય મોમેન્ટ ધરાવે છે, જે ભ્રમણ કરતા (વર્તુળમાળી) વિદ્યુતપ્રવાહ પર આપારિત નથી.

4.10.3 પરિભ્રમણ કરતા ઈલેક્ટ્રોનની ચુંબકીય ડાયપોલ મોમેન્ટ (ચાકમાત્રા)

(The Magnetic Dipole Moment of a Revolving Electron)

પ્રકરણ-12માં આપણે હાઇડ્રોજન પરમાણુના બોહર મોડેલ વિશે ભણીશું, તમે કદાચ આ મોડેલ વિશે સાંભળ્યુ હશે કે જે ડાનિશ (Danish) ભौતિકવિજ્ઞાની નિલ્સ બોહરે (Niels Bohr) 1911માં રજુ કર્યું



આફ્ટિ 4.23 હાઇડ્રોજન જેવા પરમાણુઓ માટે બોહર મોડેલમાં જ્ઞાન વિદ્યુતભાર ધારિત ઈલેક્ટ્રોન નિયમિત ઝડપથી કેન્દ્રમાં રહેલા ધન વિદ્યુતભાર (+Z e) ધારિત ન્યુક્લિઅસની આસપાસ ભ્રમણ કરે છે. ઈલેક્ટ્રોનની વર્તુળકાર માર્ગ નિયમિત ગતિ વિદ્યુતપ્રવાહ રચે છે. ચુંબકીય મોમેન્ટની દિશા પૃષ્ઠના સમતલમાં અંદરની તરફ છે જે બાજુમાં અલગથી છે. દર્શાવી છે.

હતું અને તે નવા પ્રકારના યંત્રશાસ્ત્ર, એટલે કે ક્વોન્ટમ યંત્રશાસ્ત્રની દિશામાં પહેલું પગથિયું હતું. બોહર મોડેલમાં, ઈલેક્ટ્રોન (જ્ઞાન વિદ્યુતભારિત કણ) ધન વિદ્યુતભારિત ન્યુક્લિઅસની આજુ બાજુ ભ્રમણ કરે છે, જે રીતે સૂર્યની આસપાસ ગ્રહ ભ્રમણ કરે છે. પ્રથમ કિસ્સામાં આ બળ સ્થિત વિદ્યુતીય (કુલંબ બળ) છે જ્યારે ગ્રહ-સૂર્યના કિસ્સામાં તે ગુરુત્વાકર્ષણ છે. ઈલેક્ટ્રોનનું બોહર નિરૂપણ આફ્ટિ 4.23માં દર્શાવ્યું છે.

વિદ્યુતભાર (-e) ($e = +1.6 \times 10^{-19}$ C) ધરાવતો ઈલેક્ટ્રોન, +Ze વિદ્યુતભાર ધરાવતા સ્થિર અને ભારે ન્યુક્લિઅસની આસપાસ નિયમિત વર્તુળકાર ગતિ કરે છે. તે વિદ્યુતપ્રવાહ I રચે છે, જ્યાં

$$I = \frac{e}{T} \quad (4.32)$$

અને T એ એક પરિભ્રમણ માટેનો સમય (આવર્તકાળ) છે. ધારોકે r એ ઈલેક્ટ્રોનની કક્ષાની ત્રિજ્યા, તથા v એ તેની કક્ષીય ઝડપ છે. આથી,

$$T = \frac{2\pi r}{v} \quad (4.33)$$

સમીકરણ (4.32)માં મુક્તાં, આપણને I = ev/2\pi r મળે.

આ પરિભ્રમણ કરતા વિદ્યુતપ્રવાહ સાથે સંકળાયેલ ચુંબકીય મોમેન્ટ (ચાકમાત્રા) પણ મળે જેને સામાન્ય રીતે μ_l વડે દર્શાવાય છે. સમીકરણ (4.28) પરથી તેનું મૂલ્ય, $\mu_l = I\pi r^2 = evr/2$.

આ ચુંબકીય મોમેન્ટ (ચાકમાત્રા)ની દિશા આફ્ટિ 4.23 મુજબ પૃષ્ઠના સમતલમાં અંદરની તરફ છે. [જ્ઞાન વિદ્યુતભાર ધારિત ઈલેક્ટ્રોન વિખમ ઘડી ગતિ કરતો હોય તો તે સમધારી વિદ્યુતપ્રવાહ દર્શાવે છે અને તેથી અગાઉ દર્શાવ્યું હતું તે મુજબ જમણા હાથના નિયમ મુજબ આ દિશા મળે છે]. ઉપરના સમીકરણની જમણી બાજુને ઈલેક્ટ્રોનના દળ m_e સાથે ગુણી અને ભાગતાં

$$\begin{aligned} \mu_l &= \frac{e}{2m_e} (m_e vr) \\ &= \frac{e}{2m_e} l \end{aligned} \quad [4.34(a)]$$

અહીં, l એ કેન્દ્રમાં રહેલા ન્યુક્લિઅસની સાપેક્ષે ઈલેક્ટ્રોનના કોણીય વેગમાન ("ક્ષીય" કોણીય વેગમાન) નું મૂલ્ય છે. સદિશની રીતે,

$$\mu_l = -\frac{e}{2m_e} l \quad [4.34(b)]$$

જ્ઞાન ચિહ્ન દર્શાવે છે કે ઈલેક્ટ્રોનનું કોણીય વેગમાન ચુંબકીય મોમેન્ટ (ચાકમાત્રા)ની વિસ્તૃત દિશામાં હોય છે.

ગતિમાન વિદ્યુતભારો અને ચુંબકત્વ

જો વિદ્યુતભાર ($-e$) ધરાવતા ઈલેક્ટ્રોનની જગ્યાએ આપણો ($+q$) વિદ્યુતભાર ધરાવતો કણ લીધો હોત, તો કોણીય વેગમાન અને ચુંબકીય મોમેન્ટ એક જ દિશામાં હોત. તેમના ગુણોત્તર

$$\frac{\mu_l}{l} = \frac{e}{2m_e} \quad (4.35)$$

ને ગાયરોમેન્ટેટિક (Gyromagnetic) ગુણોત્તર કહે છે અને તે અચળ હોય છે. ઈલેક્ટ્રોન માટે તેનું મૂલ્ય 8.8×10^{10} C/kg છે, જે પ્રયોગો દ્વારા ચકાસવામાં આવ્યું છે.

પરમાણુ કક્ષાએ પણ ચુંબકીય મોમેન્ટ (ચાકમાત્રા) હોય છે. એ હકીકત ઓમ્પિયરના, પરમાણુઓની ચુંબકીય મોમેન્ટ વિશેના સાહસિક અધિત્તકને અનુમોદન આપે છે. ઓમ્પિયરે દર્શાવ્યા મુજબ, આ (પરમાણુની ચુંબકીય મોમેન્ટ) આપણને દ્વયોના ચુંબકીય ગુણધર્મો સમજાવવા માટે ઉપયોગી છે. શું આપણે પરમાણુવક ડાઈપોલ મોમેન્ટ સાથે કોઈ સંઘાર્યા સંકળી શકીએ? એનો જવાબ હા છે. બોહર મોડેલમાં આપણો આવું કરી શકીએ. બોહરે અધિત્તક આપ્યો કે કોણીય વેગમાન અમુક વિભિન્ન (પૃથક) મૂલ્યોનો સમૂહ (Set) ધરાવે છે, જે

$$l = \frac{n h}{2\pi} \quad (4.36)$$

છે, જ્યાં, n એ પ્રાકૃતિક સંખ્યા છે. $n = 1, 2, 3, \dots$ અને h એ અચળાંક છે જેને મેક્સ પ્લાન્કના માનમાં (પ્લાન્કનો અચળાંક) નામ અપાયું છે. તેનું મૂલ્ય $h = 6.626 \times 10^{-34}$ Js છે. આ પૃથકતાના નિયમને બોહરની કવોન્ટમીકરણની શરત કહે છે. તેને વિસ્તૃત રૂપમાં આપણે પ્રકરણ-12માં સમજીશું. અહીં, આપણો હેતુ ફક્ત પ્રાથમિક ડાઈપોલ મોમેન્ટ (ચાકમાત્રા) શોધવાનો જ છે. $n = 1$ લઈએ તો, સમીકરણ (4.34) પરથી,

$$\begin{aligned} (\mu_l)_{\min} &= \frac{e}{4\pi m_e} h \\ &= \frac{1.60 \times 10^{-19} \times 6.63 \times 10^{-34}}{4 \times 3.14 \times 9.11 \times 10^{-31}} \\ &= 9.27 \times 10^{-24} \text{ Am}^2 \end{aligned} \quad (4.37)$$

જ્યાં, ‘min’ એ લઘુતમ મૂલ્ય દર્શાવે છે. આ મૂલ્યને બોહર મેગનેટોન (Bohr Magneton) કહે છે.

નિયમિત વર્તુળમય ગતિ કરતા કોઈપણ વિદ્યુતભાર સાથે ચુંબકીય મોમેન્ટ સંકળાયેલી હોય છે, જે સમીકરણ (4.34) જેવા સૂત્ર વડે આપી શકાય છે. આ ડાયપોલ ચાકમાત્રાને કશીય ચુંબકીય ચાકમાત્રા કહે છે આથી, μ_l માં ‘l’ આવે છે. કશીય મોમેન્ટ (ચાકમાત્રા) ઉપરંત, ઈલેક્ટ્રોનને આંતરિક (પ્રાકૃતિક) ચુંબકીય મોમેન્ટ પણ હોય છે, જેનું મૂલ્ય સમીકરણ (4.37) વડે મળતા મૂલ્ય જેટલું જ હોય છે. તેને સ્પિન ચુંબકીય મોમેન્ટ (ચાકમાત્રા) કહે છે. પરંતુ આપણે એ ત્વરિત (ઉમેરોએ છીએ કે ઈલેક્ટ્રોન પોતાનામાંથી પસાર થતી ધરી આસપાસ ભ્રમણ કરે છે એવું નથી. ઈલેક્ટ્રોન પ્રાથમિક કણ છે અને તેને ભ્રમરડા કે પૃથ્વીની જેમ ફરવા માટે કોઈ અંતર્ભૂત અનુભૂતિ નથી. આમ છતાં તે આંતરિક ચુંબકીય મોમેન્ટ (ચાકમાત્રા) ધરાવે છે. લોખંડ અને બીજી (તેવી) ધાતુઓમાં અતિસ્ક્રષ કક્ષાએ ચુંબકીય ગુણધર્મના મૂળ આ આંતરિક સ્પિન ચુંબકીય મોમેન્ટ સુધી દોરી જાય છે.

4.11 ચલિત ગૂંચળાવાળું ગોલ્વેનોમીટર

(THE MOVING COIL GALVANOMETER)

પરિપથોમાં વિદ્યુતપ્રવાહો અને વીજદાખાણી વિસ્તૃત ચર્ચા પ્રકરણ-3માં કરેલ હતી. પરંતુ આપણે તેમનું માપન કેવી રીતે કરી શકીએ? આપણો કેવી રીતે દાવો કરી શકીએ કે કોઈ પરિપથમાં વિદ્યુતપ્રવાહ 1.5 A અથવા કોઈ અવરોધના બે છેડા વચ્ચે વીજદાખાણ તફાવત 1.2 V છે? આકૃતિ 4.24માં આ હેતુ

PHYSICS

Conversion of galvanometer into ammeter and voltmeter :
http://www.citycollegiate.com/galvanometer_XIIa.htm

માટે ખૂબ જ ઉપયોગી સાધનની રૂપરેખા દર્શાવી છે : જે ચલિત ગુંચળાવાળું ગોલ્વેનોમીટર (MCG) છે.

વિભાગ 4.10માં આપેલ સમજૂતીના આધારે આ સાધનનો સિક્ષાંત સમજ શકાય.

ગોલ્વેનોમીટર ઘણા આંટાવાળા ગુંચળાનું બનેલું છે, જે નિયમિત ત્રિજ્યાવર્તી ચુંબકીયક્ષેત્રમાં, તેની સ્થિર અક્ષની સાપેક્ષ મુક્ત ભ્રમણ કરી શકે છે. તેમાં એક નરમ લોખંડનો નળાકાર કેન્દ્રમાં હોય છે, જે આ ચુંબકીયક્ષેત્રને ત્રિજ્યાવર્તી તો કરે જ છે પણ સાથે ક્ષેત્રની તિપ્રતા પણ વધારે છે. જ્યારે ગુંચળામાંથી વિદ્યુતપ્રવાહ વહન થાય, ત્યારે તેના પર ટોર્ક લાગે છે. સમીકરણ (4.26) પરથી આ ટોર્કનું મૂલ્ય

$$\tau = NIAB$$

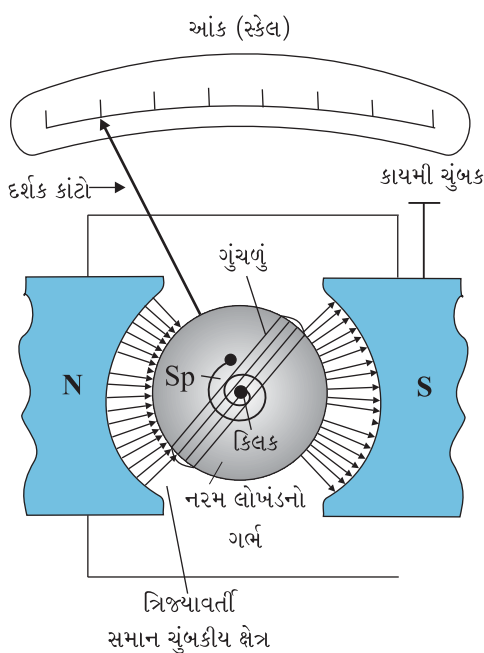
જ્યાં, સંજ્ઞાઓને તેમના પ્રચલિત અર્થ છે. અહીં (ચુંબકીય) ક્ષેત્ર ત્રિજ્યાવર્તી હોવાથી આપણે ઉપર દર્શાવેલ ટોર્કના સમીકરણમાં $\sin\theta = 1$ લીધું છે. ચુંબકીય ટોર્ક NIABના કારણે ગુંચળું કોણાવર્તન અનુભવે છે. સ્પ્રિંગ S_p વડે વિરુદ્ધ ટોર્ક $k\phi$ લાગે છે જે ચુંબકીય ટોર્ક NIABને સમતોલે છે; જેથી સ્થિર કોણાવર્તન ફલને સંતુલન સ્થિતિમાં

$$k\phi = NIAB$$

જ્યાં k એ સ્પ્રિંગનો બળ અચળાંક છે, એટલે કે, એકમ વળ દીઠ લાગતું પુનઃસ્થાપક ટોર્ક. સ્પ્રિંગ સાથે જોડાયેલ દર્શક (પોઇન્ટર) કોણાવર્તન ફલ દર્શાવે છે. આમ,

$$\phi = \left(\frac{NAB}{k} \right) I \quad (4.38)$$

આપેલ ગોલ્વેનોમીટર માટે કૌંસમાંનું પદ અચળ હોય છે.



આફ્ટુની 4.24 ચલિત ગુંચળાવાળું ગોલ્વેનોમીટર. તેના ઘટકોનું વર્ણન લખાણમાં/પુસ્તકમાં કર્યું છે. જરૂરીયાત મુજબ, આ સાધનનો ઉપયોગ વિદ્યુતપ્રવાહની હાજરીની નોંધ લેવા માટે અથવા વિદ્યુતપ્રવાહ નું મૂલ્ય માપવા (એમીટર) કે વીજદાર માપવા માટે (વોલ્ટમીટર) તરીકે થઈ શકે છે.

ગોલ્વેનોમીટરનો ઉપયોગ ઘડી રીતે થઈ શકે છે. તેનો ઉપયોગ કોઈ પરિપથમાંથી વિદ્યુતપ્રવાહ પસાર થતો હોય તો તેની હાજરીની નોંધ લેવા માટે થઈ શકે છે. લિસ્ટન બ્રીજની ગોઠવણીમાં તટસ્થ સ્થાન (Neutral Position) પાસે (જ્યારે ગોલ્વેનોમીટરમાંથી વિદ્યુતપ્રવાહ ન વહેતો હોય ત્યારે) દર્શક (ગોલ્વેનોમીટરનું પોઇન્ટર) માપન આંક સ્કેલ પર મધ્યમાં હોય છે અને આફ્ટુની 4.24માં બતાવ્યા મુજબ ડાબી બાજુના છેડે હોતો નથી. વિદ્યુતપ્રવાહની દિશા મુજબ, દર્શકનું કોણાવર્તન જમણી કે ડાબી બાજુ થાય છે.

ગોલ્વેનોમીટરને વિદ્યુતપ્રવાહ માપવા માટે સીધું જ એમીટર તરીકે પરિપથમાં જોડી ન શકાય. આ માટે બે કારણો છે : (i) ગોલ્વેનોમીટર ખૂબ જ સંવેદનશીલ સાધન છે, MAના કમના વિદ્યુતપ્રવાહ માટે પણ તે પૂર્ણ સ્કેલ આવર્તન દર્શાવે છે. (ii) વિદ્યુતપ્રવાહ માપવા માટે, ગોલ્વેનોમીટરના શ્રેણીમાં જોડવું પડે, પરંતુ તેનો અવરોધ વધુ હોય છે, જેથી તે પરિપથમાં વહેતા વિદ્યુતપ્રવાહનું મૂલ્ય બદલી નાખે છે. આ તકલીફી દૂર કરવા માટે, આપણે નાના અવરોધ r_s , જેને શાંટ અવરોધ કરે છે, તે ગોલ્વેનોમીટરના ગુંચળાને સમાંતર જોડવો પડે જેથી મોટા ભાગનો વિદ્યુતપ્રવાહ આ શાન્ટમાંથી પસાર થઈ જાય. આ વ્યવસ્થાની રૂપરેખા આફ્ટુની 4.25માં દર્શાવી છે. આ એમીટરનો

$$R_G r_s / (R_G + r_s) = r_s \text{ થાય, જે } R_G \gg r_s$$

જો r_s નું મૂલ્ય બાકીના પરિપથના અવરોધ R_G કરતાં પ્રમાણમાં નાનું હોય, તો માપન માટે જોડેલા આ સાધનની અસર ઓછી થાય છે જે અવગણી શકાય. આ વ્યવસ્થાની રૂપરેખા આફ્ટુની 4.25માં દર્શાવી છે. આ એમીટરનો

ગતિમાન વિદ્યુતભારો અને ચુંબકત્વ

સ્કેલ અંકન કરીને દર્શાવેલ છે. જેથી વિદ્યુતપ્રવાહનું મૂલ્ય સહેલાઈથી વાંચી શકાય. આપણે ગેલ્વેનોમીટરની પ્રવાહ સંવેદિતાને એકમ પ્રવાહ દીઠ મળતા આવર્તન વડે વ્યાખ્યાયિત કરીએ છીએ. સમીકરણ (4.38) પરથી આ પ્રવાહ સંવેદિતા,

$$\frac{\phi}{I} = \frac{NAB}{k} \quad (4.39)$$

તેના ઉત્પાદક માટે આ સંવેદિતા વધારવા માટેનો સહેલો ઉપાય એ છે કે આંટાઓની સંખ્યા N વધારવી. આપણે આપણા પ્રયોગમાં જરૂરીયાત મુજબની સંવેદિતાવાળું ગેલ્વેનોમીટર પસંદ કરીએ છીએ.

ગેલ્વેનોમીટરનો ઉપયોગ પરિપથના આપેલ ઘટકના બે છેડાઓ વચ્ચે વીજદબાણ માપવા માટે પણ થઈ શકે છે. આ માટે તેને પરિપથના એ વિભાગને સમાંતર જોડવું પડે. આ ઉપરાંત, તે ખૂબ ઓછો વિદ્યુતપ્રવાહ લેતું હોવું જોઈએ, નહીંતર આ વીજદબાણનું માપન મૂળભૂત ગોઠવણીનું મૂલ્ય મોટા પ્રમાણમાં બદલી નાખશે. સામાન્ય રીતે આપણે ઈંચીએ કે માપનના સાધન વડે થતો ફેરફાર એક ટકાથી ઓછો હોય. આમ થાય તે માટે, ગેલ્વેનોમીટરની શ્રેષ્ઠીમાં એક મોટો અવરોધ R જોડવામાં આવે છે. આ વ્યવસ્થાની રૂપરેખા આંકૃતિ 4.26માં દર્શાવી છે. નોંધો કે હવે વોલ્ટમીટરનો અવરોધ

$$R_G + R \approx R : \text{મોટું મૂલ્ય}$$

વોલ્ટમીટરનો સ્કેલ પ્રમાણિત કરીને અંકિત કરવામાં આવે છે કે જેથી વીજદબાણનું મૂલ્ય સહેલાઈથી વાંચી શકાય. આપણે વોલ્ટમીટરની સંવેદિતાને એકમ વોલ્ટ (વીજદબાણ) દીઠ મળતા આવર્તન વડે વ્યાખ્યાયિત કરીએ છીએ. સમીકરણ (4.38) પરથી,

$$\frac{\phi}{V} = \left(\frac{NAB}{k} \right) \frac{I}{V} = \left(\frac{NAB}{k} \right) \frac{1}{R} \quad (4.40)$$

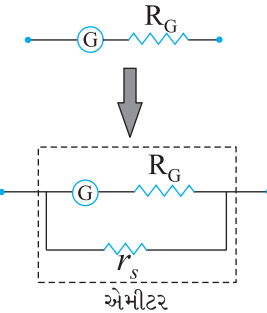
અહીં નોંધવા જેવી રસપ્રદ બાબત એ છે કે પ્રવાહ સંવેદિતા વધારીએ તો વોલ્ટેજ સંવેદિતા વધે એવું જરૂરી નથી. આપણે સમીકરણ (4.39)ને ધ્યાનમાં લઈએ જે પ્રવાહ સંવેદિતા આપે છે. જો $N \rightarrow 2N$, એટલે કે આપણે આંટાઓની સંખ્યા બમજી કરીએ, તો

$$\frac{\phi}{V} \rightarrow 2 \frac{\phi}{V}$$

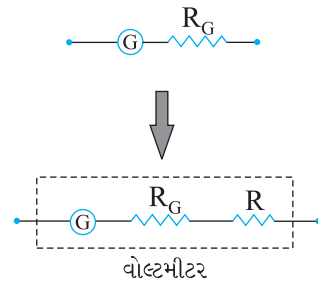
આમ, પ્રવાહ સંવેદિતા વધે છે. પરંતુ, આથી ગેલ્વેનોમીટરનો અવરોધ પણ બમજો થાય છે, કારણ કે તે તારની લંબાઈ પર આધાર રાખે છે. સમીકરણ (4.40)માં $N \rightarrow 2N$ અને $R \rightarrow 2R$, આથી, વોલ્ટેજ સંવેદિતા,

$$\frac{\phi}{V} \rightarrow \frac{\phi}{V}$$

જે બદલાતી નથી (અચળ રહે છે). આમ સામાન્ય રીતે ગેલ્વેનોમીટરના એમીટરમાં રૂપાંતર માટે જરૂરી બદલાવ એ તેના વોલ્ટમીટરમાં રૂપાંતર માટે જરૂરી બદલાવ કરતાં જુદો હોય છે.



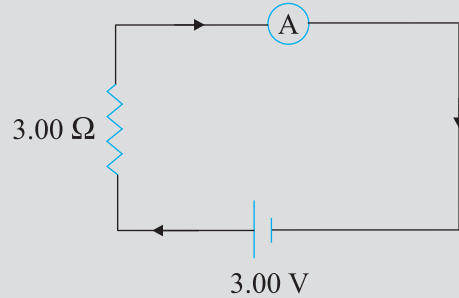
આંકૃતિ 4.25 ખૂબ નાના મૂલ્યના શાંટ અવરોધ r_s ને ગેલ્વેનોમીટર (G)ને સમાંતર જોડીને તેનું એમીટરમાં રૂપાંતર.



આંકૃતિ 4.26 મોટા મૂલ્યના અવરોધ R ને ગેલ્વેનોમીટર (G) સાથે શ્રેષ્ઠીમાં જોડીને તેનું વોલ્ટમીટરમાં રૂપાંતર.

ઉદાહરણ 4.13 આપેલ પરિપથ (આંકૃતિ 4.27)માં વિદ્યુતપ્રવાહ માપવાનો છે. જો દર્શાવેલ એમીટર (a) એ $R_G = 60.00 \Omega$ અવરોધનું ગેલ્વેનોમીટર હોય; (b) તે (a)માં દર્શાવ્યા મુજબનું ગેલ્વેનોમીટર હોય પરંતુ શાંટ અવરોધ $r_s = 0.02 \Omega$ વડે એમીટરમાં રૂપાંતર કરેલું હોય, (c) શૂન્ય અવરોધવાળું આર્દ્ધ એમીટર હોય, તો વિદ્યુતપ્રવાહનું મૂલ્ય કેટલું મળશે?

ઉદાહરણ 4.13



આહुતि 4.27

ઉકेल

- (a) પરિપथનો કુલ અવરોધ
 $R_G + 3 = 63 \Omega$, આથી $I = 3/63 = 0.048 A$
- (b) ઓમીટરમાં રૂપાંતર પામેલ ગોલ્વેનોમીટરનો અવરોધ

$$\frac{R_G r_s}{R_G + r_s} = \frac{60\Omega \times 0.02\Omega}{(60 + 0.02)\Omega} \approx 0.02\Omega$$

પરિપથમાં કુલ અવરોધ

$$0.02\Omega + 3\Omega = 3.02\Omega \text{ આથી, } I = 3/3.02 = 0.99 A$$

- (c) શૂન્ય અવરોધ વાળા આદર્શ ઓમીટર માટે,
 $I = 3/3 = 1.00 A$.

સારાંશ

1. વિદ્યુત અને ચુંબકીયક્ષેત્રો E અને B માં v વેગથી ગતિ કરતા વિદ્યુતભાર q પર લાગતું કુલ બળ, લોરેન્જ બળ કહેવાય છે. તે નીચેના સૂત્ર મુજબ દર્શાવાય છે:
 $F = q(v \times B + E)$
2. બાધ્ય ચુંબકીયક્ષેત્ર B માં રહેલો વિદ્યુતપ્રવાહ I ધારિત, I લંબાઈનો સીધો તાર F જેટલું બળ અનુભવે છે.
 $F = I l \times B$
જ્યાં $|I| = I$ અને $|l|$ ની દિશા વિદ્યુતપ્રવાહની દિશામાં હોય છે.
3. નિયમિત ચુંબકીયક્ષેત્ર B માં, વિદ્યુતભાર q વર્તુળાકાર કક્ષામાં ફરે છે, જે ચુંબકીયક્ષેત્ર B ને લંબ હોય છે. તેની નિયમિત વર્તુળાકાર ગતિની આવૃત્તિને સાઈકલોટ્રોન આવૃત્તિ કહે છે, જે

$$v_c = \frac{qB}{2\pi m}$$

વરે દર્શાવાય છે. આ આવૃત્તિ કણની ઝડપ અને તેની (વર્તુળાકાર માર્ગની) ત્રિજ્યા પર આધાર રાખતી નથી. આ હકીકતનો ઉપયોગ સાઈકલોટ્રોનમાં થાય છે, જે વિદ્યુતભારોને પ્રવેણિત કરવાનું કાર્ય કરે છે.

4. બાયોસાવરનો નિયમ દર્શાવે છે કે સ્થિર વિદ્યુતપ્રવાહ I ધારિત dI લંબાઈના ખંડને કારણે તેનાથી r અંતરે આવેલા બિંદુ P પાસે ઉદ્ભવતું ચુંબકીયક્ષેત્ર $d\mathbf{B}$ આ મુજબ મળે છે.

$$d\mathbf{B} = \frac{\mu_0}{4\pi} \frac{Idl \times \mathbf{r}}{r^3}$$

P બિંદુએ કુલ (ચુંબકીય) ક્ષેત્ર મેળવવા માટે, આપણે આ સર્વિશ સૂત્રનું સમગ્ર તારની લંબાઈ પર સંકલન કરવું પડે.

5. વિદ્યુતપ્રવાહ I ધારિત, R નિજ્યાના વર્તુળાકાર ગૂંચળા વડે તેની અક્ષ પર તેના કેન્દ્રથી R અંતરે ઉદ્ભવતા ચુંબકીયક્ષેત્રનું મૂલ્ય

$$B = \frac{\mu_0 IR^2}{2(x^2 + R^2)^{3/2}}$$

(ગૂંચળાના) કેન્દ્ર પર તેનું મૂલ્ય

$$B = \frac{\mu_0 I}{2R} \quad \text{વડે અપાય છે.}$$

6. એમ્પિયરનો સર્કિટલ નિયમ : ધારોકે એક બંધ ગાળા C વડે એક ખુલ્લી સપાઠી S ઘેરાયેલી છે, તો એમ્પિયરનો નિયમ દર્શાવે છે કે $\oint \mathbf{B} \cdot d\mathbf{l} = \mu_0 I$, જ્યાં I એ

Sમાંથી પસાર થતો વિદ્યુતપ્રવાહ છે. Iનું ચિહ્ન જમણા હાથના નિયમ પરથી મેળવી શકાય છે. આપણે આ નિયમના સરળ સ્વરૂપની ચર્ચા કરી છે. જો \mathbf{B} બંધ વક્ની પરિમિતિ L પરના દરેક બિંદુએ સ્પર્શકની દિશામાં હોય, અને પરિમિતિ પર દરેક જગ્યાએ તેનું મૂલ્ય એક જ હોય, તો

$$BL = \mu_0 I_e$$

જ્યાં I_e એ બંધ વક્ન વડે ઘેરાયેલો પરિણામી (ચોખ્ખો) વિદ્યુતપ્રવાહ છે.

7. વિદ્યુતપ્રવાહ I ધારિત, લાંબા સીધા તારથી R અંતરે ચુંબકીયક્ષેત્રનું મૂલ્ય

$$B = \frac{\mu_0 I}{2\pi R}$$

જેટલું હોય છે. ક્ષેત્રરેખાઓ તારને સમકેન્દ્રીત વર્તુળો હોય છે.

8. વિદ્યુતપ્રવાહ I ધારિત લાંબા સોલેનોઇડની અંદર ચુંબકીયક્ષેત્ર Bનું મૂલ્ય

$$B = \mu_0 nI$$

જ્યાં, n એ એકમ લંબાઈ દીઠ આંટાઓની સંખ્યા છે.

ટોરોઇડ માટે આ મૂલ્ય

$$B = \frac{\mu_0 NI}{2\pi r}$$

જેટલું મળે છે, જ્યાં N એ કુલ આંટાઓની સંખ્યા અને r એ સરેરાશ નિજ્યા છે.

9. સમાંતર વિદ્યુતપ્રવાહો આકર્ષણી અને પ્રતિ-સમાંતર વિદ્યુતપ્રવાહો અપાકર્ષણી હોય છે.

10. પાસપાસે વિંટાળોલા N આંટા ધરાવતું, A ક્ષેત્રફળનું તથા વિદ્યુતપ્રવાહ I ધારિત સમતલ ગૂંચળું, ચુંબકીય મોમેન્ટ (ચાકમાત્રા) m ધરાવે છે, જ્યાં,

$$m = NIA$$

અને m ની દિશા જમણા-હાથના અંગુઠાના નિયમ પરથી મળે છે :

તમારી હૃથેળીને ગૂંચળા પર એ રીતે વાળો કે જેથી તમારી આંગળીઓ વિદ્યુતપ્રવાહની દિશા દર્શાવે. આ સ્થિતિમાં તુભો અંગુઠો m (અને A)ની દિશા દર્શાવશે.

જ્યારે આ ગૂંચળાને નિયમિત ચુંબકીયક્ષેત્ર \mathbf{B} માં મુકવામાં આવે ત્યારે તેના પર લાગતું બળ $F = 0$ અને ગૂંચળા પર લાગતું ટોર્ક,

$$\tau = \mathbf{m} \times \mathbf{B}$$

ચલિત ગૂંચળાવાળા ગોલ્વેનોમીટરમાં, આ ટોર્કને સ્પ્રિંગ વડે લાગતું વિરોધી ટોર્ક સમતોલે છે. આથી,

$$k\phi = NIAB \text{ મળે.}$$

ભौतिकવिज्ञान

- જ્યાં, ϕ એ સંતુલન સ્થિતિમાંનું આવર્તન છે અને k એ સ્પ્રિંગનો બળ અચળાંક છે.
11. કેન્દ્રમાં રહેલા ન્યુક્લિઅસની આસપાસ ફરતા (બ્રમણ કરતા) ઈલેક્ટ્રોનની ચુંબકીય મોમેન્ટ (ચાકમારા) μ_B નું મૂલ્ય

$$\mu_B = \frac{e}{2m} I$$

જ્યાં, I એ કેન્દ્રમાં રહેલા ન્યુક્લિઅસની આસપાસ બ્રમણ કરતા ઈલેક્ટ્રોનના કોણીય વેગમાનનું મૂલ્ય છે. μ_B ના લઘુતમ મૂલ્યને બોહર મેળેટોન μ_B કહે છે જેનું મૂલ્ય $\mu_B = 9.27 \times 10^{-24} \text{ J/T}$.

12. ચલિત ગ્રૂચળાવાળા ગોલ્વેનોમીટર સાથે શંટ અવરોધ r_s જોડીને તેને ઓમીટરમાં રૂપાંતરીત કરી શકાય છે. તેને (ગોલ્વેનોમીટરને) શ્રેણીમાં મોટા મૂલ્યનો અવરોધ જોડીને તેનું વોલ્ટમીટરમાં રૂપાંતર કરી શકાય છે.

ભौતિક રાશિ	સંશા	પ્રકાર	પરિમાણ	એકમ	નોંધ
મુક્ત અવકાશની પરમિએબિલીટી	μ_0	અદિશ	$[\text{MLT}^{-2} \text{A}^{-2}]$	T m A^{-1}	$4\pi \times 10^{-7} \text{ T mA}^{-1}$
ચુંબકીયક્ષેત્ર	B	સદિશ	$[\text{M T}^{-2} \text{A}^{-1}]$	T (ટેસ્લા)	
ચુંબકીય ચાકમત્રા (મોમેન્ટ)	m	સદિશ	$[\text{L}^2 \text{A}]$	A m^2 અથવા J/T	
બળ અચળાંક	k	અદિશ	$[\text{M L}^2 \text{T}^{-2}]$	N m rad^{-1}	(MCG)માં ઉપયોગી છે.

ગણ વિચારણાના મુદ્દાઓ

- સ્થિત વિદ્યુત ક્ષેત્ર રેખાઓ ધન વિદ્યુતભારમાંથી ઉદ્ભબે છે અને ઋણ વિદ્યુતભારમાં સમાઈ જાય છે અથવા અનંત અંતરે લુપ્ત થઈ જાય છે. ચુંબકીય ક્ષેત્રરેખાઓ હંમેશાં બંધ ગાળા રહે છે.
- આ પ્રકરણમાં થયેલ ચર્ચા ફક્ત સ્થિર વિદ્યુતપ્રવાહો, જે સમય સાથે બદલાતા નથી તેમને માટે લાગુ પડે છે.
જ્યારે વિદ્યુતપ્રવાહો બદલાતા હોય ત્યારે ન્યૂટનનો ગ્રીજો નિયમ તો જ લાગુ પડે, જો વિદ્યુત ચુંબકીયક્ષેત્ર વડે મળતું વેગમાનનું વહન ગણતરીમાં લેવામાં આવે.
- લોરેન્જ બળનું સૂત્ર યાદ કરો,

$$\mathbf{F} = q(\mathbf{v} \times \mathbf{B} + \mathbf{E})$$

આ વેગ આધારિત બળે ઘણા બધા મોટા વૈજ્ઞાનિક વિચારકોનું ધ્યાન આકર્ષિત કર્યું છે. જો કોઈ તાત્કષિક ઝડપ v થી ગતિ કરતી ફેમ પર જાય તો બળનો ચુંબકીય ભાગ શરૂંય થાય છે. અહીં વિદ્યુતભારીત કણની ગતિ એ રીતે સમજાવવામાં આવે છે કે નવી ફેમમાં યોગ્ય વિદ્યુતક્ષેત્ર રહેલું છે. આપણે કિયા વિશે વિસ્તારપૂર્વક ચર્ચા નહીં કરીએ. આમ છતાં, આપણે એ ધ્યાનમાં રાખીશું કે આ વિરોધભાસનો (ઉકેલ એ છે કે વિદ્યુત અને ચુંબકત્વ એકબીજા સાથે સંકળાયેલી ઘટનાઓ (વિદ્યુત ચુંબકત્વ) છે અને લોરેન્જ બળનું સૂત્ર ફુદરતમાં કોઈ સાર્વત્રિક પસંદગી પામેલ રેફરન્સ ફેને દર્શાવતું નથી.
- ઓમ્પિયરનો સર્કીટલ નિયમ, બાયોસાવરના નિયમથી સ્વતંત્ર નથી. તેને બાયો સાવરના નિયમ પરથી તારવી શકાય છે. તેનો બાયોસાવરના નિયમ સાથેનો સંબંધ, ગોસના નિયમ અને કુલંબના નિયમ વચ્ચેના સંબંધ જેવો છે.

સ્વાધ્યાય

- 4.1 8.0 cm ત્રિજ્યા વાળા 100 આંટા ધરાવતા, તારના એક વર્તુળાકાર ગૂંચળામાંથી 0.40 A વિદ્યુતપ્રવાહ વહે છે. ગૂંચળાના કેન્દ્ર પાસે ચુંબકીયક્ષેત્ર **B**નું મૂલ્ય કેટલું હશે ?
- 4.2 એક લાંબા સીધા તારમાંથી 35 A વિદ્યુતપ્રવાહ વહે છે. તારથી 20 cm અંતરે રહેલા કોઈ બિંદુ પાસે ચુંબકીયક્ષેત્ર **B**નું મૂલ્ય કેટલું હશે ?
- 4.3 સમક્ષિતિજ સમતલમાં રહેલા એક લાંબા સીધા તારમાંથી 50 A જેટલો વિદ્યુતપ્રવાહ, ઉત્તરથી દક્ષિણ દિશા તરફ વહે છે. તારની પૂર્વમાં 2.5 m અંતરે આવેલા કોઈ બિંદુ પાસે **B**નું મૂલ્ય અને દિશા શોધો.
- 4.4 માથા પરથી પસાર થતા વીજળીના તારમાંથી 90 A વિદ્યુતપ્રવાહ પૂર્વથી પશ્ચિમ દિશા તરફ વહે છે. આ તારથી 1.5 m નીચે ચુંબકીયક્ષેત્રનું મૂલ્ય અને દિશા શું હશે ?
- 4.5 0.15 T ના નિયમિત ચુંબકીયક્ષેત્ર સાથે 30° કોણ બનાવતી દિશામાં રહેલા તારમાંથી 8 A વિદ્યુતપ્રવાહ વહે છે. આ તાર પર લાગતા ચુંબકીય બળનું મૂલ્ય કેટલું હશે ?
- 4.6 3.0 cm લંબાઈના તારમાંથી 10 A વિદ્યુતપ્રવાહ પસાર થાય છે, જેને એક સોલેનોઇડમાં તેની અક્ષને લંબરૂપે મુકેલો છે. સોલેનોઇડની અંદર ચુંબકીયક્ષેત્ર 0.27 T આપેલ છે. તાર પર કેટલું ચુંબકીય બળ લાગતું હશે ?
- 4.7 4 cm અંતરે રહેલા, બે લાંબા સીધા અને સમાંતર તાર **A** અને **B**માંથી 8.0 A અને 5.0 A વિદ્યુતપ્રવાહો એક જ (સમાન) દિશામાં વહે છે. તાર **A**ના 10 cm લંબાઈના વિભાગ પર લાગતું બળ શોધો.
- 4.8 80 cm લંબાઈના એક સોલેનોઇડ પર પાસ-પાસે દરેક 400 આંટા વાળા 5 આવરણ વિંટાળ્યા છે. સોલેનોઇડનો વ્યાસ 1.8 cm છે. જો સોલેનોઇડમાં 8.0 A વિદ્યુતપ્રવાહ વહેતો હોય, તો તેના કેન્દ્ર પાસે **B**નું મૂલ્ય શોધો.
- 4.9 10 cm બાજુઓ વાળા એક ચોરસ ગૂંચળાને 20 આંટા છે અને તેમાંથી 12 A વિદ્યુતપ્રવાહ પસાર થાય છે. આ ગૂંચળું શિરોલંબ લટકવેલું છે અને ગૂંચળાના સમતલનો લંબ 0.80 T મૂલ્યના સમક્ષિતિજ નિયમિત ચુંબકીયક્ષેત્ર સાથે 30° કોણ બનાવે છે. ગૂંચળું કેટલા મૂલ્યનું ટોક અનુભવશે ?
- 4.10 બે ચલિત ગૂંચળાવાળા મીટરો **M**₁ અને **M**₂ની વિગત આ મુજબ છે :
 $R_1 = 10 \Omega, N_1 = 30,$
 $A_1 = 3.6 \times 10^{-3} \text{ m}^2, B_1 = 0.25 \text{ T}$
 $R_2 = 14 \Omega, N_2 = 42,$
 $A_2 = 1.8 \times 10^{-3} \text{ m}^2, B_2 = 0.50 \text{ T}$
(બંને મીટર માટે સ્થિર અચળાંક સરખા છે.)
- 4.11 **M**₁ અને **M**₂ માટે, (a) વિદ્યુતપ્રવાહ સંવેદિતાનો ગુણોત્તર, અને (b) વોલ્ટેજ સંવેદિતાનો ગુણોત્તર શોધો.
- 4.12 એક ઓરડામાં, 6.5 G ($1 \text{ G} = 10^{-4} \text{ T}$) જેટલું નિયમિત ચુંબકીયક્ષેત્ર રાખેલું છે. આ ક્ષેત્રમાં લંબ રૂપે એક ઈલેક્ટ્રોન 4.8 $\times 10^6 \text{ m s}^{-1}$ ઝડપે છોડવામાં આવે છે. ઈલેક્ટ્રોનનો માર્ગ વર્તુળાકાર કેમ હશે તે સમજાવો. વર્તુળાકાર કક્ષાની ત્રિજ્યા શોધો.
($e = 1.6 \times 10^{-19} \text{ C}, m_e = 9.1 \times 10^{-31} \text{ kg}$)
- 4.13 સ્વાધ્યાય 4.11માં વર્તુળાકાર કક્ષામાં ઈલેક્ટ્રોનના અભિયાની આવૃત્તિ શોધો. શું આ જવાબ ઈલેક્ટ્રોનની ઝડપ પર આધાર રાખે છે ? સમજાવો.

- 4.13** (a) 1.0 T જેટલા નિયમિત સમક્ષિતિજ ચુંબકીયક્ષેત્રમાં 8.0 cm ત્રિજ્યા અને 30 આંટા ધરાવતું વર્તુળાકાર ગૂંચળું લટકાવેલ છે, જેમાંથી 6.0 A વિદ્યુતપ્રવાહ પસાર થાય છે. ક્ષેત્રરેખાઓ ગૂંચળાના લંબ સાથે 60° કોડા બનાવે છે. ગૂંચળાનું આવર્તન ન થાય તે માટે તેના પર લગાડવા પડતા જરૂરી વિરુદ્ધ દિશાના ટોર્કનું મૂલ્ય શોધો.
(b) જો (a)માં દર્શાવેલ ગૂંચળાની જગ્યાએ અનિયમિત આકારનું બીજુ કોઈ સમતલ ગૂંચળું રાખવામાં આવે કે જેનું ક્ષેત્રકળ પણ એટલું જ હોય તો તમારો જવાબ બદલાશે? (બાકીની બીજ વિગતોમાં કોઈ ફરફાર કર્યો નથી).

વધારાના સ્વાધ્યાય

- 4.14** બે સમકેન્દ્રિત વર્તુળાકાર ગૂંચળાઓ X અને Yની ત્રિજ્યા અનુક્રમે 16 cm અને 10 cm છે, જે ઉત્તરથી દક્ષિણ દિશામાં રહેલા એક જ શિરોલંબ સમતલમાં રહેલા છે. ગૂંચળા Xને 20 આંટા છે અને તેમાંથી પસાર થતો વિદ્યુતપ્રવાહ 16 A છે; જગ્યારે ગૂંચળા Yને 25 આંટા છે અને તેમાંથી 18 A વિદ્યુતપ્રવાહ પસાર થાય છે. પશ્ચિમ તરફ મોઢું રાખીને ઊભેલા અવલોકનકારની દસ્તિએ Xમાંથી પસાર થતો પ્રવાહ વિષમ ધરી અને Yમાંથી સમઘડી દિશામાં છે. આ ગૂંચળાઓ વડે તેમના કેન્દ્ર પાસે ઉદ્ભવતા પરિણામી (ચોખા) ચુંબકીયક્ષેત્રનું મૂલ્ય અને દિશા શોધો.
4.15 10 cm લંબાઈ અને 10^{-3} m^2 આઇછેદના ક્ષેત્રકળ ધરાવતા વિસ્તારમાં 100 G ($1 \text{ G} = 10^{-4} \text{ T}$) જેટલું નિયમિત ચુંબકીયક્ષેત્ર જરૂરી છે. એક ગૂંચળાના તારની મહત્તમ વિદ્યુતપ્રવાહ ધારણક્ષમતા 15 A છે તથા તેના કેન્દ્ર (Core)ની આસપાસ એકમ લંબાઈ દીઠ વધુમાં વધુ 1000 આંટા / m વીટાળી શકાય છે. આ માટે જરૂરી એવા સોલેનોઇડની યોગ્ય રચના સમજાવો. ધારો કે તેના કેન્દ્રમાં (Core માં) ફેરોમેનેટીક નથી.
- 4.16** R ત્રિજ્યા અને N આંટા ધરાવતા એક વર્તુળાકાર ગૂંચળામાંથી વિદ્યુતપ્રવાહ I પસાર થાય છે; અને તેની અક્ષ પર તેના કેન્દ્રથી x અંતરે ચુંબકીયક્ષેત્રનું મૂલ્ય

$$B = \frac{\mu_0 I R^2 N}{2(x^2 + R^2)^{3/2}} \quad \text{જેટલું છે.}$$

- (a) દર્શાવો કે ગૂંચળાના કેન્દ્ર પાસે આ સમીકરણ જાડીતા સમીકરણ જેવું બને છે.
(b) બે સમાંતર, એક અક્ષ પર આવેલા સમાન ત્રિજ્યા R ના ગૂંચળા વિચારો, જેમના આંટાની સંખ્યા N છે, તથા એક સમાન દિશામાં સમાન વિદ્યુતપ્રવાહ ધરાવે છે, અને તેમની વચ્ચેનું અંતર પણ R છે. દર્શાવો કે બે ગૂંચળાના મધ્યમાં, તેમની અક્ષ પર આવેલા બિંદુની આસપાસ R ની સરખામણીમાં નાના અંતર સુધી ચુંબકીયક્ષેત્ર નિયમિત હશે, જે લગભગ

$$B = 0.72 \frac{\mu_0 NI}{R}, \quad \text{વડે દર્શાવી શકાય.}$$

[અમૃક નાના અંતર સુધી નિયમિત ચુંબકીયક્ષેત્ર ઉત્પન્ન કરી શકતી આ ગોઠવણીને હેલ્પહોલ્પ ગૂંચળા કહે છે.]

- 4.17** 25 cm આંતરિક ત્રિજ્યા અને 26 cm બહારની ત્રિજ્યા ધરાવતા એક ટોરોઇડના Core (ગર્ભ-જે ફેરોમેનેટીક નથી)ની આસપાસ તારના 3500 આંટા વીટાળેલા છે. જો તાર માંથી 11 A વિદ્યુતપ્રવાહ પસાર થતો હોય, તો
- (a) ટોરોઇડની બહાર,
(b) ટોરોઇડના Coreની અંદર, અને
(c) ટોરોઇડ વડે ધેરાયેલી ખાતી જગ્યામાં, ચુંબકીયક્ષેત્ર કેટલું હશે ?

4.18 આપેલા પ્રશ્નોના જવાબ આપો :

- એક ચેમ્બરમાં એવું ચુંબકીયક્ષેત્ર પ્રસ્થાપિત કરેલ છે કે જે જુદા જુદા બિંદુએ જુદુ હોય પરંતુ તેની દિશા એક જ હોય (પૂર્વથી પશ્ચિમ). એક વિદ્યુતભારિત કણ આ ચેમ્બરમાં દાખલ થાય છે અને આવર્તન અનુભવ્યા વગર અચળ ઝડપે સુરેખ માર્ગ પસાર થાય છે. આ કણના પ્રારંભિક વેગ વિશે તમે શું કહેશો ?
- તીવ્ર અને અનિયમિત ચુંબકીયક્ષેત્ર ધરાવતા વાતાવરણમાં ચુંબકીયક્ષેત્રનું મૂલ્ય અને દિશા જુદા જુદા બિંદુએ જુદા જુદા છે, તેમાં એક વિદ્યુતભારિત કણ દાખલ થાય છે અને જટિલ માર્ગ બહાર આવે છે. જો તેણે આ વાતાવરણ સાથે કોઈ પણ અથડામણ ન અનુભવી હોય તો શું તેની અંતિમ ઝડપ, તેની પ્રારંભિક ઝડપ જેટલી હશે ?
- પશ્ચિમથી પૂર્વ તરફ ગતિ કરતો એક ઈલેક્ટ્રોન ઉત્તરથી દક્ષિણ દિશામાં નિયમિત ચુંબકીયક્ષેત્ર ધરાવતી ચેમ્બરમાં દાખલ થાય છે. નિયમિત ચુંબકીયક્ષેત્રને કઈ દિશામાં લગાડવું જોઈએ કે જેથી ઈલેક્ટ્રોન કોઈ પણ કોણાવર્તન અનુભવ્યા વગર સીધી રેખામાં ગતિ કરે ?

4.19 કેથોડ ગરમ થવાથી ઉત્સર્જયેલ એક ઈલેક્ટ્રોન, 2.0 kV વિદ્યુત સ્થિતિમાન તફાવત વડે પ્રવેગિત થઈને, 0.15 T જેટલા નિયમિત ચુંબકીયક્ષેત્રના વિસ્તારમાં દાખલ થાય છે. જો આ ક્ષેત્ર,

- પ્રારંભિક વેગને લંબ રૂપે હોય,
- પ્રારંભિક વેગ સાથે 30° કોણ બનાવતું હોય, તો ઈલેક્ટ્રોનના ગતિ પથની ગણતરી કરો.

4.20 ડેલ્મહોલ્ટ્ઝ ગુંચણાઓ (સ્વાધ્યાય 4.16 માં દર્શાવેલ) ની મદદથી નાના વિસ્તારમાં 0.75 T મૂલ્યનું નિયમિત ચુંબકીયક્ષેત્ર ઉત્પન્ન કરવામાં આવ્યું છે. આ જ વિસ્તારમાં, ગુંચણાઓની સામાન્ય અક્ષને લંબ રૂપે નિયમિત સ્થિર વિદ્યુતક્ષેત્ર જાળવી રાખવામાં આવે છે. 15 kV વડે પ્રવેગિત થયેલ (એક જ પ્રકારના) વિદ્યુતભારિત કણોની એક સાંક્રાન્તિક કિરણાવલી આ વિસ્તારમાં બને ગુંચણાઓની અક્ષ તથા સ્થિર વિદ્યુતક્ષેત્ર બનેને લંબરૂપે દાખલ થાય છે. જો $9.0 \times 10^{-5} \text{ V m}^{-1}$ જેટલા સ્થિર વિદ્યુતક્ષેત્રમાં આ કિરણાવલી આવર્તન ન અનુભવે તો વિચારો કે આ કિરણાવલી શાની બનેલી હશે? શામાટે જવાબ અજોડનથી?

4.21 0.45 m લંબાઈ અને 60 g દળનો એક સીધો વાહક સરીયો તેના છેદે બાંધેલા બે તાર વડે સમક્ષિતિજ લટકાવેલો છે. આ તારોમાં થઈને સરીયામાં 5.0 A જેટલો વિદ્યુતપ્રવાહ વહે છે.

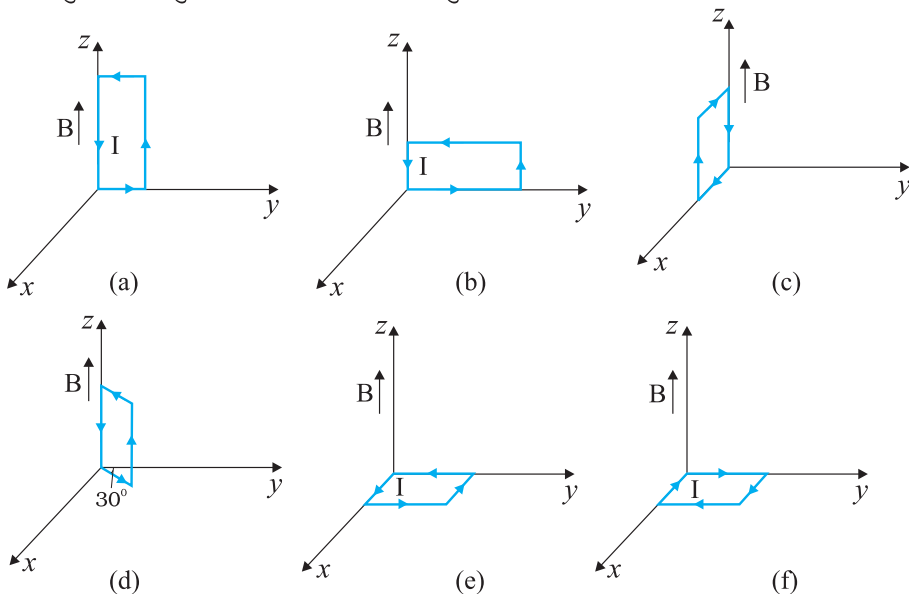
- આ વાહક સરીયાને લંબરૂપે કેટલું ચુંબકીયક્ષેત્ર ઉત્પન્ન કરવું જોઈએ કે જેથી (લટકાવેલ) તારોમાં તણાવ (Tension) શૂન્ય થાય ?
- જો ચુંબકીયક્ષેત્ર એમ જ રહેવા દઈને વિદ્યુતપ્રવાહની દિશા ઉલટાવવામાં આવે તો તારોમાં કુલ ટેન્શન (તણાવ) કેટલું હશે? (તારોનું દળ અવગાણો). $g = 9.8 \text{ m s}^{-2}$.

4.22 કારની બેટરીને તેને ચાલુ કરતી મોટર સાથે જોડતા તાર 300 A વિદ્યુતપ્રવાહ વહન કરે છે (થોડાક સમય માટે). આ તાર 70 cm લાંબા હોય અને તેમની વર્ણનું અંતર 1.5 cm હોય તો એકમ લંબાઈ દીઠ આ તારો વચ્ચે લાગતું બળ કેટલું હશે? આ બળ આકર્ષણીક અપાકર્ષણી હશે?

4.23 10.0 cm ત્રિજ્યાના નળાકાર વિસ્તારમાં 1.5 T જેટલું નિયમિત ચુંબકીયક્ષેત્ર છે જેની દિશા તેની અક્ષને સમાંતર પૂર્વથી પશ્ચિમ તરફ છે. 7.0 A વિદ્યુતપ્રવાહ ધારીત એક તાર આ વિસ્તારમાંથી ઉત્તરથી દક્ષિણ તરફ પસાર થાય છે. જો

- તાર આ અક્ષને છેદે,
- તારને ઉત્તર-દક્ષિણની જગ્યાએ ઉત્તરપૂર્વ-દક્ષિણ પશ્ચિમ દિશા તરફ ફેરવવામાં આવે (લઈ જવામાં આવે),
- ઉત્તર-દક્ષિણ દિશામાં રહેલા તારને અક્ષથી 6.0 cm જેટલો નીચે લેવામાં આવે, તો આ પરિસ્થિતિઓમાં તાર પર લાગતા (ચુંબકીય) બળનું મૂલ્ય અને દિશા શું હશે?

- 4.24 3000 G જેટલું નિયમિત ચુંબકીયક્ષેત્ર ધન z-અક્ષની દિશામાં ઉત્પન્ન કરેલું છે. 10 cm અને 5 cm બાજુઓ વાળા એક લંબચોરસ ગૂંઘળામાંથી 12 A વિદ્યુતપ્રવાહ પસાર થાય છે. આકૃતિ 4.28માં દર્શાવેલ જુદા જુદા કિસ્સાઓમાં ગૂંઘળા પર લાગતું ટોક કેટલું હશે? દરેક કિસ્સામાં કેટલું બળ લાગતું હશે? કયો કિસ્સો સ્થાયી સંતુલન દર્શાવે છે?



આકૃતિ 4.28

- 4.25 20 આંટા અને 10 cm ત્રિજ્યા ધરાવતું એક વર્તુળકાર ગૂંઘળું, તેનું સમતલ 0.10 Tના નિયમિત ચુંબકીયક્ષેત્રને લંબડ્રૂપે રહે તે રીતે મુકેલું છે. જો ગૂંઘળામાં 5.0 A વિદ્યુતપ્રવાહ વહેતો હોય, તો

- (a) ગૂંઘળા પરનું કુલ ટોક,
- (b) ગૂંઘળા પરનું કુલ બળ,
- (c) ચુંબકીયક્ષેત્રના કારણે ગૂંઘળાના તારમાંના દરેક ઈલેક્ટ્રોન પર લાગતું સરેરાશ બળ કેટલું હશે?

(ગૂંઘળું તાંબાના તારમાંથી બનેલું છે, જેના આડહેદનું ક્ષેત્રફળ 10^{-5} m^2 છે, અને તાંબા માટે મુક્ત ઈલેક્ટ્રોન ઘનતા $6 \times 10^{29} \text{ m}^{-3}$ જેટલી આપેલ છે.)

- 4.26 60 cm લંબાઈ અને 4.0 cm ત્રિજ્યા ધરાવતા સોલેનોઇડમાં દરેક 300 આંટાના હોય તેવા 3 સ્તર વિટાયા છે. 2.5 g દળ અને 2.0 cm લંબાઈનો એક તાર સોલેનોઇડમાં (તેના કેન્દ્ર પાસે) અક્ષને લંબડ્રૂપે રહેલો છે; તાર અને સોલેનોઇડની અક્ષ બંને સે સમક્ષિતિજ સમતલમાં છે. આ તારને અક્ષને સમાંતર બે છેડાઓ વડે બાબુ બેટરી સાથે જોડેલો છે, જેથી તારમાં 6.0 A વિદ્યુતપ્રવાહ વહે છે. સોલેનોઇડના આંટાઓમાંથી કેટલા મૂલ્યનો પ્રવાહ (વહનની યોગ્ય દિશા સાથે) વહન થવો જોઈએ કે જે તારના વજનને સમતોલે? $g = 9.8 \text{ m s}^{-2}$.

- 4.27 ગોલ્વેનોમીટરના ગૂંઘળાનો અવરોધ 12 Ω છે અને 3 mA વિદ્યુતપ્રવાહ માટે તે પૂર્ણ સ્કેલનું આવર્તન દર્શાવે છે. આ મીટરને 0થી 18 Vની અવધિના વોલ્ટમીટરમાં તમે કેવી રીતે રૂપાંતરિત કરશો?

- 4.28 ગોલ્વેનોમીટરના ગૂંઘળાનો અવરોધ 15 Ω છે અને 4 mA વિદ્યુતપ્રવાહ માટે તે પૂર્ણ સ્કેલનું આવર્તન દર્શાવે છે. તેને 0 થી 6 A અવધિના એમીટરમાં તમે કેવી રીતે રૂપાંતરિત કરશો?

પ્રકરણ પાંચ

ચુંબકત્વ અને દ્રવ્ય

(MAGNETISM AND MATTER)

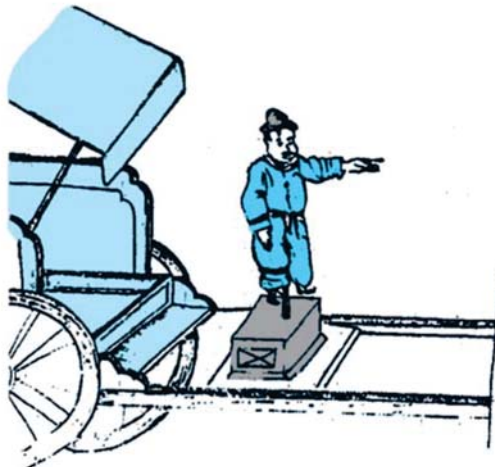


5.1 પ્રસ્તાવના (INTRODUCTION)

ચુંબકીય ઘટનાઓ કુદરતમાં સાર્વત્રિક છે. ખૂબ દૂર રહેલી વિશાળ આકાશગંગાઓ, જોઈ ન શકાય એટલા નાના પરમાણુઓ, માનવો અને અન્ય સજ્જવો (Beasts) બધામાં વિવિધ ઉદ્ગામો દ્વારા ઉત્પન્ન ચુંબકીયક્ષેત્રો વ્યાપ્ત છે. પૃથ્વીનું ચુંબકત્વ મનુષ્યની ઉત્કાંતિ પહેલાંથી અસ્તિત્વ ધરાવે છે. મેનેટ (ચુંબક) શબ્દ ગ્રીસમાં આવેલા મેનેશિયા નામના ટાપુ પરથી આવ્યો છે, જ્યાં છેક ઈ.સ. પૂર્વ 600ના ગાળામાં ચુંબકીય ખનિઓ મળી આવ્યા હતા. આ ટાપુ પર રહેતા ભરવાડો ફરિયાદ કરતા હતા કે તેમના લાકડાના બુટ (જેમાં ખીલીઓ હતી તે) જમીન સાથે ચોંટી જતા હતા. તેમની લોખંડની ઝડપીવાળી લાકડીઓ સાથે પણ આમ જ થતું હતું. ચુંબકોની આકર્ષવાની આ પ્રકૃતિના કારણે તેમને એક જગ્યાએથી બીજે જગ્યામાં પણ મુશ્કેલી પડતી હતી.

ચુંબકોનો દિશા દર્શાવવાનો ગુણધર્મ પણ જુના જમાનાથી જાણીતો હતો. ચુંબકના એક લાંબા પાતળા ટુકડાને મુક્ત રીતે લટકાવવામાં આવે ત્યારે તે ઉત્તર-દક્ષિણ દિશા દર્શાવે છે. જ્યારે તેને બુચના ટુકડા પર મુકીને તેને સ્થિર પાણી પર તરતો મુકવામાં આવે ત્યારે પણ આવી જ અસર જોવા મળતી હતી. કુદરતી રીતે મળી આવતા આયર્ન મેનેટાઈટના ખનિઓને લોહચુંબક એવું નામ આપવામાં આવ્યું. જેનો અર્થ ચુંબકીય પથ્થર થાય છે. આ ગુણધર્મનો પ્રૌદ્યોગિકી ઉપયોગ કરવાનું માન સામાન્યતઃ ચીનના લોકોને મળે છે. ઈ.સ. પૂર્વ 400ના અરસાના ચાઈનીજ લખાણો ચુંબકીય સોયના વહાણવટામાં દિશાસૂચનમાં ઉપયોગ વિશે ઉલ્કેખ ધરાવે છે. ગોબીનું રણ પાર કરનારા વણજારાઓ પણ ચુંબકીય સોયનો ઉપયોગ કરતા હતા.

ચીનની એક દંતકથામાં લગભગ ચાર હજાર વર્ષ પહેલાં હુઅંગ-ટી (Huang-ti) નામના સપ્તાંત્રી મેળવેલ જીત માટે તે તેના કસબીઓનો (જેમને અત્યારે આપણે ઈજનેરો કહીએ છીએ) આભાર માને છે,



આઈટિ 5.1 આ રથની કાલ્યનિક રૂપરેખા દર્શાવી છે. આ પ્રતિમા એવી રીતે ફરી શકતી હતી કે પ્રતિમાની અંગળી હંમેશા દક્ષિણ દિશામાં જ રહે. આ રથની મદદથી, હુઅંગ-ટીના લશકરે ઘણ ધૂમસમાં પણ દુશ્મન પર પાછળથી હુમલો કરીને તેને પરાજ્યત કર્યુ હતું.

તેવી વાર્તા આવે છે. આ ઈજનેરોએ એક રથ બનાવ્યો હતો, જેના પર તેમણે પહોળા, હાથ કરેલ એક ચુંબકીય પ્રતિમા મુક્રી હતી. આઈટિ 5.1માં આ રથની કાલ્યનિક રૂપરેખા દર્શાવી છે. આ પ્રતિમા એવી રીતે ફરી શકતી હતી કે પ્રતિમાની અંગળી હંમેશા દક્ષિણ દિશા જ દર્શાવે. આ રથની મદદથી, હુઅંગ-ટીના લશકરે ગાઢ ધૂમસમાં પણ દુશ્મન પર પાછળથી હુમલો કરીને તેને પરાજ્યત કર્યુ હતું.

અગાઉના પ્રકરણમાં આપણે શીઝ્યા કે, ગતિમાન વિદ્યુતભારો કે વિદ્યુતપ્રવાહો ચુંબકીયક્ષેત્રો ઉત્પન્ન કરે છે. ઓગણીસમી સદીની શરૂઆતમાં આ શોધ કરવા માટેનું માન બીજા બધા સાથે ઓસ્ટેડ, એમ્પ્રિયર, બાયો અને સાવરને પણ જાય છે.

આ પ્રકરણમાં આપણે ચુંબકત્વનો એક સ્વતંત્ર વિષય તરીકે અભ્યાસ કરીશું. ચુંબકત્વ વિશે જાણીતા કેટલાક જ્યાલો આ મુજબ છે :

- (i) પૃથ્વી ચુંબક તરીકે વર્તે છે, જેનું ચુંબકીયક્ષેત્ર લગભગ ભૌગોલિક દક્ષિણથી ઉત્તર તરફ હોય છે.
- (ii) જ્યારે ગાજિયા ચુંબકનો મુક્ત રીતે લટકાવવામાં આવે ત્યારે તે ઉત્તર-દક્ષિણ દિશા દર્શાવે છે. જે છેડો ભૌગોલિક ઉત્તર તરફ રહે તેને ચુંબકનો ઉત્તર ધ્રુવ કહે છે અને જે છેડો ભૌગોલિક દક્ષિણ તરફ રહે તેને ચુંબકનો દક્ષિણ ધ્રુવ કહે છે.
- (iii) જ્યારે બે ચુંબકોના (બંને) ઉત્તર ધ્રુવો (કે દક્ષિણ ધ્રુવો) એકબીજાની નજીક લાવવામાં આવે ત્યારે તેમની વચ્ચે અપાકર્ષી બળ લાગે છે. તેથી ઉલ્લંઘ, જ્યારે એક ચુંબકના ઉત્તર ધ્રુવ પાસે બીજા ચુંબકનો દક્ષિણ ધ્રુવ લાવવામાં આવે ત્યારે તે આકર્ષે છે.
- (iv) આપણે ચુંબકના ઉત્તર કે દક્ષિણ ધ્રુવને જુદા પાડી શકતા નથી. જો આપણે ગાજિયા ચુંબકના બે સમાન ટુકડા કરીએ તો આપણને આવા જ બે ગાજિયા ચુંબક મળે છે. જેમના ચુંબકીય ગુણધર્મો થોડા નબળા હોય છે. વિદ્યુતભારોના કિસ્સાથી વિરુદ્ધ સ્વતંત્ર ઉત્તરધ્રુવ અને દક્ષિણધ્રુવ એટલે કે ચુંબકીય એક ધ્રુવીઓ (Magnetic Monopole) અસ્તિત્વ ધરાવતી નથી.
- (v) લોખંડ અને તેની મિશ્રધાતુઓ (Alloys)માંથી ચુંબકો બનાવી શકાય છે.

આપણે ગાજિયા ચુંબકના વર્ણન અને બાબ્ધ ચુંબકીયક્ષેત્રમાં તેની વર્તણૂક વિશેની સમજથી શરૂઆત કરીશું. આપણે ચુંબકત્વ માટેના ગોસના નિયમની સમજૂતી આપીશું. ત્યાર બાદ આપણે પૃથ્વીના ચુંબકીયક્ષેત્ર વિશે માહિતી આપીશું. બાદમાં દ્વયોને તેમના ચુંબકીય ગુણધર્મોના આધારે કેવી રીતે વર્ગીકૃત કરી શકાય તે જણાવીશું. આપણે પેરા-, ડાયા-, અને ફેરોમેનેટિઝમ વર્જાવીશું. અંતના પરિચ્છેદમાં આપણે વિદ્યુત ચુંબકો (ઇલેક્ટ્રોમેગનેટ્સ) અને કાયમી ચુંબકો પરના પરિચ્છેદથી સમાપન કરીશું.

5.2 ગાજિયો ચુંબક (THE BAR MAGNET)

વિઝ્યાત ભૌતિકશાસ્ત્રી આઈનસ્ટાઈનને બાળપણમાં તેમના કોઈ સંબંધીએ બેટમાં આપેલ એક ચુંબક બાળપણની યાદગીરી હતી. આઈનસ્ટાઈન તેનાથી ખૂબ જ પ્રભાવિત થયા હતા અને તેના વડે સતત રમ્યા કરતા હતા. તેમને એ વાતનું આશ્રય થતું હતું કે કોઈ સ્થિર્યા કે દોરી બાંધા સિવાય આ ચુંબક કેવી રીતે દૂર રહેલી લોખંડની ખીલીઓ કે ટાંકડીઓને આકર્ષે છે.

ચુંબકત્વ અને દ્રવ્ય

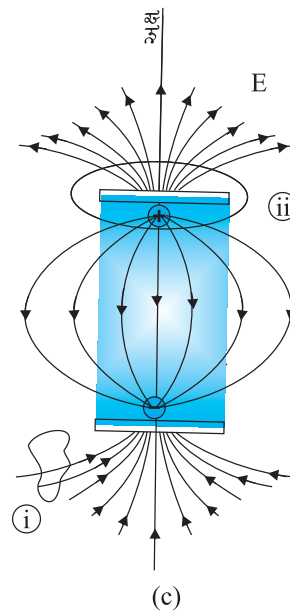
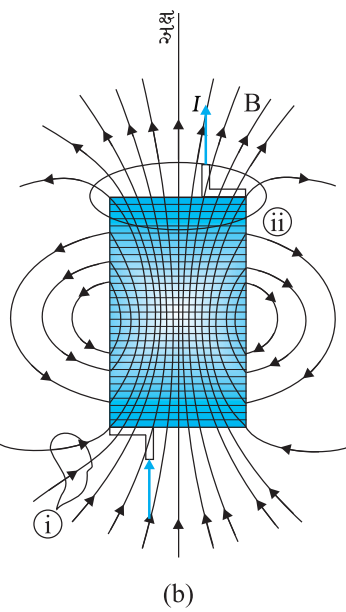
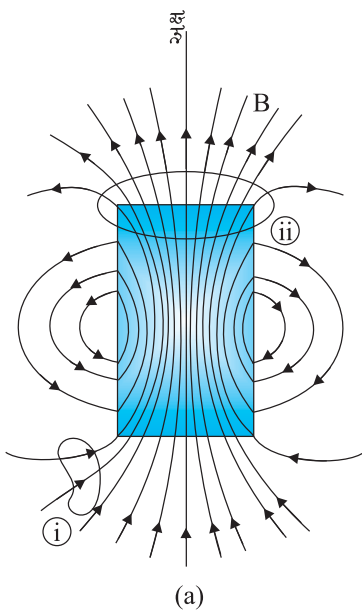
આપણે અભ્યાસની શરૂઆતમાં એ જોઈએ કે, એક નાના ગજિયા ચુંબક પર મુકેલા કાચ પર લોખંડની ભૂકી ભભરાવીએ તો શું થાય છે. લોખંડની ભૂકીની ગોઠવણી (ભાત) આકૃતિ 5.2માં દર્શાવી છે.

લોખંડની ભૂકીની ગોઠવણીની ભાત દર્શાવે છે કે વિદ્યુત ડાયપોલ (દિશ્વુવી)ના ધન અને ઋણ વિદ્યુતભારની જેમ ચુંબકને પણ બે ધૂવો છે. પ્રસ્તાવનામાં જણાવ્યા મુજબ એક ધૂવને ઉત્તરધૂવ વડે દર્શાવાય છે અને બીજાને દક્ષિણધૂવ તરીકે. જ્યારે તેને મુક્ત રીતે લટકાવવામાં આવે, ત્યારે આ ધૂવો અનુક્રમે લગભગ બૌગોલિક ઉત્તર અને દક્ષિણ ધૂવો તરફ ગોઠવાય છે. લોખંડની ભૂકીની આવી જ ગોઠવણીની ભાત વિદ્યુતપ્રવાહ ધારિત સોલોનોઈડની આસપાસ જોવા મળે છે.

5.2.1 ચુંબકીય ક્ષેત્ર રેખાઓ (The Magnetic Field Lines)

લોખંડની ભૂકીની ગોઠવણીની ભાત આપણને ચુંબકીય ક્ષેત્ર રેખાઓ દોરવા પ્રેરે છે*. ગજિયા ચુંબક અને વિદ્યુતપ્રવાહ ધારિત સોલોનોઈડ માટે આ આકૃતિ 5.3માં દર્શાવેલ છે. સરખામણી માટે પ્રકરણ-1ની આકૃતિ 1.17(d) જુઓ. વિદ્યુત ડાયપોલ (દિશ્વુવી)ની વિદ્યુત ક્ષેત્ર રેખાઓ પણ આકૃતિ 5.3(c)માં દર્શાવી છે. ચુંબકીય ક્ષેત્ર રેખાઓ ચુંબકીય ક્ષેત્રની દર્શનીય અને આગાવી રજુઆત છે. તેમના ગુણધર્મો આ મુજબ છે :

- કોઈ એક ચુંબક (કુસોલેનોઈડ)ની ચુંબકીય ક્ષેત્ર રેખાઓ સતત બંધ ગાળા રહે છે. આ બાબત વિદ્યુત ડાયપોલ કે જેમાં ક્ષેત્ર રેખાઓ ધન વિદ્યુતભારમાંથી ઉદ્ભબતી હોય અને ઋણ વિદ્યુતભારમાં અંત પામતી હોય અથવા અનન્ત સુધી ફેલાતી હોય તેના જેવી નથી.
- ક્ષેત્ર રેખાઓ પર કોઈ બિંદુએ દોરેલ સ્પર્શક તે બિંદુએ પરિણામી ચુંબકીયક્ષેત્ર Bની દિશા દર્શાવે છે.



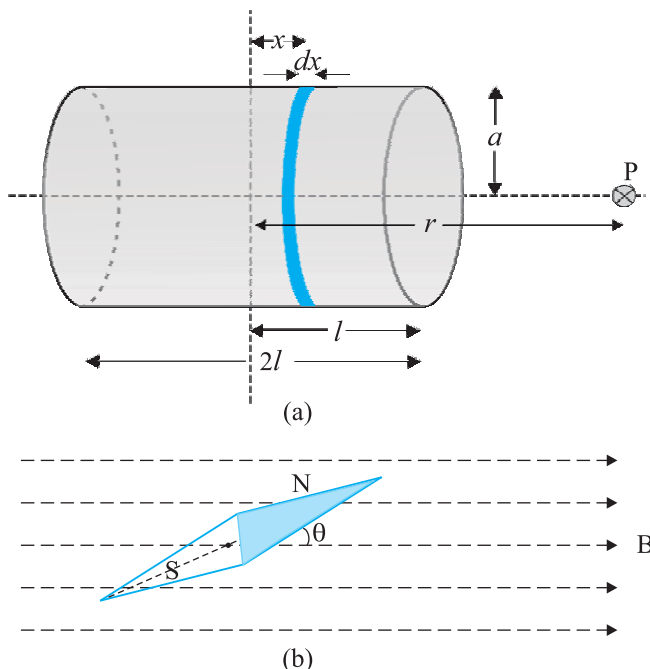
આકૃતિ 5.3 (a) ગજિયા ચુંબક, (b) વિદ્યુત પ્રવાહ ધારિત પરિમિત સોલોનોઈડ, અને (c) વિદ્યુત ડાયપોલની ક્ષેત્ર રેખાઓ. દૂરના અંતરે ક્ષેત્ર રેખાઓ ઘણી સામ્યતા ધરાવે છે. (i) અને (ii) વડે દર્શાવેલ વક્તો બંધ ગોસિયન પૂર્ણ દર્શાવે છે.

* કેટલાક પાઠ્યપુસ્તકોમાં ચુંબકીય ક્ષેત્ર રેખાઓને ચુંબકીય બળ રેખાઓ કહેવામાં આવે છે. આ નામકરણ અહીં અવગાણવામાં આવ્યું છે, કારણ કે તેથી ગુંચવણ ઊભી થઈ શકે. સ્થિત વિદ્યુતથી વિપરિત ચુંબકત્વમાં ક્ષેત્ર રેખાઓ (ગતિ કરતા) વિદ્યુતભાર પર લાગતા બળની દિશા દર્શાવતી નથી.

- (iii) જેમ એકમ ક્ષેત્રફળમાંથી પસાર થતી ક્ષેત્ર રેખાઓની સંખ્યા વધુ તેમ ચુંબકીયક્ષેત્ર \mathbf{B} નું મૂલ્ય મોટું આકૃતિ 5.3(a)માં, વિસ્તાર **i** કરતાં વિસ્તાર **ii** પાસે \mathbf{B} મોટું છે.
- (iv) ચુંબકીય ક્ષેત્ર રેખાઓ એકબીજને છેદતી નથી, કારણ કે જો તે છેદે, તો ચુંબકીયક્ષેત્રની દિશા છેદન બિંદુ પાસે અનન્ય ન હોય. ચુંબકીય ક્ષેત્ર રેખાઓ ઘણી રીતે દોરી શકાય છે. એક રીત એ છે જેમાં નાની ચુંબકીય સોયને જુદા જુદા બિંદુઓએ મુકીને તેના નમન (સ્થિતિ)ને નોંધી શકાય. તેના પરથી અવકાશમાં જુદા જુદા બિંદુઓએ ચુંબકીય ક્ષેત્રની દિશા વિશે માહિતી મળે છે.

5.2.2 સોલેનોઇડને સમતુલ્ય રૂપે ગજિયો ચુંબક (Bar Magnet as an Equivalent Solenoid)

અગાઉના પ્રકરણમાં પરિચ્છેદ 4.10માં આપણે સમજાવું છે કે વિદ્યુતપ્રવાહ ધારિત ગૂચળું કેવી રીતે ચુંબકીય ડાયપોલ (દ્વિ-ધ્રુવી) તરીકે વર્તે છે. આપણે ઓળિયરનો અપિત્ક જણાવ્યો હતો કે દરેક ચુંબકીય ઘટનાઓને વર્તુળમાર્ગ (Circulating, ઘૂમતા) વિદ્યુતપ્રવાહોના રૂપમાં દર્શાવી શકાય છે. યાદ કરો કે વિદ્યુતપ્રવાહ ધારિત ગૂચળા સાથે સંકળાપેલ ચુંબકીય ડાયપોલ ચાકમાત્રા (Magnetic Dipole Moment) \mathbf{m} ને $\mathbf{m} = NIA$ વડે વ્યાખ્યાપિત કરી હતી, જ્યાં N એ ગૂચળામાં આંટાઓની સંખ્યા, I વિદ્યુતપ્રવાહ અને A ક્ષેત્રફળ સંદર્ભ છે. (સમીકરણ 4.30).



આકૃતિ 5.4 (a) ગજિયા ચુંબક સાથે સામ્યતા દર્શાવવા માટે પરિમિત સોલેનોઇડના અક્ષીય (ચુંબકીય) ક્ષેત્રની ગણતરી. (b) નિયમિત ચુંબકીયક્ષેત્ર \mathbf{B} માં ચુંબકીય સોય. આ રચનાનો ઉપયોગ \mathbf{B} અથવા ચુંબકીય સોયની ચુંબકીય ચાકમાત્રા \mathbf{m} ગણવા માટે કરી શકાય.

ગણતરી કરીએ. આપણે દર્શાવીશું કે મોટા અંતરોએ આ (સોલેનોઇડનું) અક્ષીય ક્ષેત્ર, ગજિયા ચુંબક વડે મળતા ક્ષેત્ર સાથે મળતું આવે છે.

ધારોકે આકૃતિ 5.4(a)માં દર્શાવેલ સોલેનોઇડ એકમ લંબાઈ દીઠ n આંટા ધરાવે છે. ધારોકે તેની લંબાઈ $2l$ અને ત્રિજ્યા a છે. આપણે સોલેનોઇડના કેન્દ્ર O થી r અંતરે આવેલા બિંદુ P પાસે અક્ષીય (ચુંબકીય) ક્ષેત્ર શોધી શકીએ. આ માટે સોલેનોઇડના કેન્દ્રથી x અંતરે આવેલ dx લંબાઈનો વર્તુળાકાર ખંડ ધ્યાનમાં લો. તેમાં ndx આંટા આવેલા છે. ધારો કે સોલેનોઇડમાં વિદ્યુતપ્રવાહ I વહે છે.

એક ગજિયા ચુંબક અને એક સોલેનોઇડની ચુંબકીય ક્ષેત્ર રેખાઓની સામ્યતા દર્શાવે છે કે કોઈ ગજિયા ચુંબકને, સોલેનોઇડની જેમ મોટી સંખ્યાના વર્તુળમાર્ગ (Circulating) પ્રવાહો તરીકે ગજાવી શકાય. ગજિયા ચુંબકને અદ્વૈતી કાપવો એ સોલેનોઇડને કાપવા બચાવો ગજાવી શકાય. આપણાને નભળા ચુંબકીય ગુણધર્મો ધરાવતા બે નાના સોલેનોઇડ મળે છે. ક્ષેત્ર રેખાઓ સતત હોય છે અને એક સોલેનોઇડની એક બાજુથી બહાર નીકળીને બીજી બાજુમાં પ્રવેશો છે. આ સામ્યતાની ચકાસણી કરવા, કોઈ (વક્તિ) નાની ચુંબકીય સોયને ગજિયા ચુંબકની પાસે લાવે અને વિદ્યુતપ્રવાહ ધારિત પરિમિત સોલેનોઇડ પાસે લાવે તો બંને કિસ્સામાં આવર્તન સરખા જોવા મળે છે.

આ સામ્યતા વધુ સુદૃઢ કરવા આપણે આકૃતિ 5.4(a)માં દર્શાવેલ પરિમિત સોલેનોઇડના અક્ષીય (ચુંબકીય) ક્ષેત્રની

ચુંબકત્વ અને દ્રવ્ય

આગળના પ્રકરણના પરિચેદ 4.6માં આપણે વિદ્યુતપ્રવાહ ધ્યારિત વર્તુળકાર ગુંઘળાની અક્ષ પર ચુંબકીયક્ષેત્રનું મૂલ્ય શોધ્યું હતું. સમીકરણ (4.13) પરથી, વર્તુળકાર ખંડ વડે P બિંદુએ (ચુંબકીય) ક્ષેત્રનું મૂલ્ય

$$dB = \frac{\mu_0 n I a^2}{2[(r-x)^2 + a^2]^{3/2}}$$

બધા ખંડ પરનો સરવાળો કરતાં, એટલે કે $x = -l$ થી $x = +l$ સુધી સંકલન કરતાં, કુલ (ચુંબકીય) ક્ષેત્રનું મૂલ્ય મળો. આમ,

$$B = \frac{\mu_0 n I a^2}{2} \int_{-l}^l \frac{dx}{[(r-x)^2 + a^2]^{3/2}}$$

આ સંકલન નિકોણામીતિય સૂત્રો મુકવાથી મળી શકે. આમ છતાં, આ સ્વાધ્યાય આપણા હેતુ માટે જરૂરી નથી. નોંધો કે x નો વિસ્તાર $-l$ થી $+l$ સુધી છે. આ સોલેનોઇડથી દૂર અક્ષીય (ચુંબકીય) ક્ષેત્ર ધ્યાનમાં લો, એટલે કે $r >> a$ અને $r >> l$ માટે. આથી, છેઠમાં આવેલ પદ આશરે આ મુજબ મળો,

$$\begin{aligned} [(r-x)^2 + a^2]^{3/2} &\approx r^3 \\ \text{અને } B &= \frac{\mu_0 n I a^2}{2 r^3} \int_{-l}^l dx \\ &= \frac{\mu_0 n I}{2} \frac{2la^2}{r^3} \end{aligned} \quad (5.1)$$

નોંધો કે આ સોલેનોઇડની મેળેટીક મોમેન્ટ (ચુંબકીય ચાકમાત્રા) નું મૂલ્ય $m = n(2l) I(\pi a^2) =$ (કુલ આંટાની સંખ્યા \times વિદ્યુતપ્રવાહ \times આડછેદનું ક્ષેત્રફળ)

$$\text{આથી, } B = \frac{\mu_0}{4\pi} \frac{2m}{r^3} \quad (5.2)$$

આ ગજિયા ચુંબકનું મોટા અંતરે અક્ષીય ચુંબકીયક્ષેત્ર પણ છે, જે આપણે પ્રાયોગિક રીતે શોધી શકીએ. આમ, એક ગજિયો ચુંબક અને એક સોલેનોઇડ સમાન ચુંબકીયક્ષેત્રો ઉત્પન્ન કરે છે. આમ, ગજિયા ચુંબકની મેળેટીક મોમેન્ટ (ચુંબકીય ચાકમાત્રા) એ તેટલું જ ચુંબકીયક્ષેત્ર ઉત્પન્ન કરતા સોલેનોઇડની મેળેટીક મોમેન્ટ (ચુંબકીય ચાકમાત્રા) ને સમતુલ્ય હોય છે.

કેટલાક પુસ્તકો 21 લંબાઈના ગજિયા ચુંબકના ઉત્તર ધ્રુવ સાથે ચુંબકીય ભાર (જેને ધ્રુવની પ્રબળતા પણ કહે છે) $+q_m$ અને દક્ષિણધ્રુવ સાથે $-q_m$ સાંકળે છે, જેથી ચુંબકીય ચાકમાત્રા $q_m(2l)$ મળે. q_m થી r અંતરે ક્ષેત્રની તીવ્રતા $\mu_0 q_m / 4\pi r^2$ વડે દર્શાવાય છે. તે પરથી વિદ્યુત દાયપોલ (પ્રકરણ-1)ની જેમ, આ ગજિયા ચુંબકની અક્ષ પર અને તેની વિષુવરેખા પર ચુંબકીયક્ષેત્ર મેળવી શકાય છે. આ પદ્ધતિ સરળ અને અસરકારક છે. પરંતુ, ચુંબકીય એકધ્રુવી અસ્તિત્વ ધરાવતાં ન હોવાથી આપણે આ પદ્ધતિને આ કારણથી અવગણી છે.

5.2.3 નિયમિત ચુંબકીયક્ષેત્રમાં દ્વિ-ધ્રુવી (ડાયપોલ)

(The Dipole in a Uniform Magnetic Field)

લોખંડની ભૂકીની ગોઠવણીની ભાત, એટલે કે ચુંબકીય ક્ષેત્રરેખાઓ આપણને ચુંબકીયક્ષેત્ર \mathbf{B} વિશે સંનિકટ જ્યાલ આપે છે. અમુક વખતે આપણને \mathbf{B} નું ચોક્કસ મૂલ્ય શોધવાની જરૂર પણ પડશે. આ માટે આપણે જાણીતી (જ્ઞાત) ચુંબકીય ચાકમાત્રા \mathbf{m} અને જડત્વની ચાકમાત્રા \mathbf{M} ધરાવતી ચુંબકીય સોય લઈને તેને ચુંબકીયક્ષેત્રમાં દોલન કરાવવા પડે. આ વ્યવસ્થા આકૃતિ 5.4(b)માં દર્શાવી છે.

આ (ચુંબકીય) સોય પર લાગતું ટોક [સમીકરણ (4.29) જુઓ],

ભૌતિકવિજ્ઞાન

$$\tau = \mathbf{m} \times \mathbf{B} \quad (5.3)$$

$$\text{તેનું મૂલ્ય } \tau = mB \sin\theta$$

અહીંથી, τ એ પુનઃસ્થાપક ટોર્ક છે અને θ એ \mathbf{m} અને \mathbf{B} વાચ્ચેનો કોણ છે.

$$\text{આથી સંતુલન સ્થિતિમાં, } g \frac{d^2\theta}{dt^2} = -mB \sin\theta$$

$mB \sin\theta$ સાથેનું ઝડપ ચિહ્ન દર્શાવે છે કે પુનઃસ્થાપક ટોર્ક, આવર્તન કરતા ટોર્કથી વિરુદ્ધ હોય છે. રેઝિયનમાં થના નાના મૂલ્યો માટે, આપણે $\sin\theta \approx \theta$ લખી શકીએ, અને તેથી

$$g \frac{d^2\theta}{dt^2} = -mB\theta$$

$$\text{અથવા } \frac{d^2\theta}{dt^2} = -\frac{mB}{g} \theta$$

જે સરળ આવર્તન દર્શાવે છે. કોણીય આવૃત્તિનો વર્ગ $\omega^2 = mB/g$ છે, અને આવર્ત કાળ

$$T = 2\pi \sqrt{\frac{g}{mB}} \quad (5.4)$$

અથવા

$$B = \frac{4\pi^2 g}{m T^2} \quad (5.5)$$

સ્થિત વિદ્યુતની સ્થિતિગિર્જાની જેમ, ચુંબકીય સ્થિતિગિર્જા માટેનું સમીકરણ પણ તે જ રીતે મેળવી શકાય.

ચુંબકીય સ્થિતિગિર્જા U_m આ રીતે દર્શાવી શકાય,

$$\begin{aligned} U_m &= \int \tau(\theta) d\theta \\ &= \int mB \sin\theta d\theta = -mB \cos\theta \\ &= -\mathbf{m} \cdot \mathbf{B} \end{aligned} \quad (5.6)$$

પ્રકરણ-2માં આપણે ધ્યાન દોર્યું છે કે સ્થિતિગિર્જાનું શૂન્ય મૂલ્ય આપણી અનુકૂળતા મુજબ નક્કી કરી શકાય. સંકલનના અચળાંકનું મૂલ્ય શૂન્ય ગણીએ તો એનો અર્થ એ કે સ્થિતિગિર્જાનું શૂન્ય મૂલ્ય $\theta = 90^\circ$ એટલે કે જયારે (ચુંબકીય) સોય ક્ષેત્રને લંબરૂપે હોય, ત્યારે લીધું છે. સમીકરણ (5.6) દર્શાવે છે કે $\theta = 0^\circ$ (મહત્તમ સ્થાયી સ્થિતિ) માટે સ્થિતિગિર્જા લઘુતમ ($= -mB$) હોય છે અને $\theta = 180^\circ$ (મહત્તમ અસ્થાયી સ્થિતિ) માટે તે મહત્તમ ($= +mB$) હોય છે.

ઉદાહરણ 5.1 આકૃતિ 5.4(b)માં, ચુંબકીય સોયની ચુંબકીય ચાકમાત્રા $6.7 \times 10^{-2} \text{ A m}^2$ અને જડત્વની ચાકમાત્રા $g = 7.5 \times 10^{-6} \text{ kg m}^2$ છે. તે 6.70 s માં 10 દોલનો પૂરા કરે છે. ચુંબકીયક્ષેત્રનું મૂલ્ય કેટલું હશે?

ઉકેલ દોલનોનો આવર્તકાળ

$$T = \frac{6.70}{10} = 0.67 \text{ s}$$

સમીકરણ (5.5) પરથી,

$$\begin{aligned} B &= \frac{4\pi^2 g}{m T^2} \\ &= \frac{4 \times (3.14)^2 \times 7.5 \times 10^{-6}}{6.7 \times 10^{-2} \times (0.67)^2} \\ &= 0.01 \text{ T} \end{aligned}$$

ચુંબકત્વ અને દ્રવ્ય

ઉદાહરણ 5.2 એક નાના ગજિયા ચુંબકને તેની અક્ષ 800 G (G = ગોસ) જેટલા બાબ્ધ ચુંબકીયક્ષેત્ર સાથે 30° કોણે મુકૃતાં તે 0.016 Nm જેટલું ટૉર્ક અનુભવે છે. (a) ચુંબકની ચુંબકીય ચાકમાત્રા કેટલી હશે? (b) તેને મહત્તમ સ્થાયી સ્થિતિમાંથી મહત્તમ અસ્થાયી સ્થિતિમાં લાવવા માટે કેટલું કાર્ય કરવું પડે? (c) આ ગજિયા ચુંબકની જગ્યાએ તેટલી જ ચુંબકીય ચાકમાત્રા ધરાવતો સોલેનોઇડ મુકવામાં આવે છે, જેના આડછેદનું ક્ષેત્રફળ $2 \times 10^{-4} \text{ m}^2$ છે અને 1000 આંટા છે. આ સોલેનોઇડમાંથી પસાર થતા વિદ્યુતપ્રવાહનું મૂલ્ય શોધો. ($1 \text{ G} = 10^{-4} \text{ T}$)

ઉક્લ

- (a) સમીકરણ (5.3) પરથી, $\tau = m B \sin\theta$, $\theta = 30^\circ$, આથી $\sin\theta = 1/2$
 આમ, $0.016 = m \times (800 \times 10^{-4} \text{ T}) \times (1/2)$
 $m = 160 \times 2/800 = 0.40 \text{ A m}^2$
- (b) સમીકરણ (5.6) પરથી, $\theta = 0^\circ$ એ મહત્તમ સ્થાયી સ્થિતિ હોય છે અને $\theta = 180^\circ$ એ મહત્તમ અસ્થાયી સ્થિતિ હોય છે. આથી થયેલ કાર્યનું મૂલ્ય
 $W = U_m(\theta = 180^\circ) - U_m(\theta = 0^\circ)$
 $= 2 m B = 2 \times 0.40 \times 800 \times 10^{-4} = 0.064 \text{ J}$
- (c) સમીકરણ (4.30) પરથી, $m_s = NIA$. ભાગ (a) પરથી, $m_s = 0.40 \text{ A m}^2$
 $0.40 = 1000 \times I \times 2 \times 10^{-4}$
 $I = 0.40 \times 10^4 / (1000 \times 2) = 2 \text{ A}$

ઉદાહરણ 5.3

- (a) જો ગજિયા ચુંબકના (i) તેની લંબાઈને લંબરૂપે, (ii) તેની લંબાઈને (સમાંતર), એમ બે ભાગ કરવામાં આવે તો શું હશે?
- (b) નિયમિત ચુંબકીયક્ષેત્રમાં રહેલી ચુંબકીય સોય ટૉર્ક અનુભવે છે પરંતુ પરિણામી બળ અનુભવતી નથી. જ્યારે, ગજિયા ચુંબક પાસે મુકેલી ખીલી ટૉર્ક ઉપરાંત આકર્ષી બળ પડ્યું અનુભવે છે. શા માટે?
- (c) શું દરેક ચુંબકીય સંરચના (Configuration)ને ઉત્તરધ્રુવ અને દક્ષિણધ્રુવ હોવા જોઈએ? ટોરોઇડના ચુંબકીયક્ષેત્ર વિશે શું કહેશો?
- (d) બે એક સરખા લોખંડના ટુકડાઓ A અને B આપેલા છે, જેમાંથી કોઈ એક ચોક્કસપણે ચુંબકીત કરેલો હોવાનું જ્ઞાત છે (આપણે જાણતા નથી કે તે કયો છે). બંને ચુંબકીત કરેલા છે કે નહીં તે તમે કેવી રીતે નક્કી કરી શકશો? જો એક જ ચુંબકીત (Magnetised) કરેલ હોય, તો કેવી રીતે કહી શકાય કે તે કયો છે? [ફક્ત આ ટુકડાઓ A અને B સિવાય બીજા કશાયનો ઉપયોગ કરવાનો નથી.]

ઉક્લ

- (a) બંને કિસ્સામાં, આપણાને બે ચુંબકો મળશે, જે દરેકને ઉત્તર અને દક્ષિણ ધ્રુવ હશે.
- (b) જો ચુંબકીયક્ષેત્ર નિયમિત હશે તો કોઈ બળ નહીં લાગે. ગજિયા ચુંબકના કારણે લોખંડની ખીલી અનિયમિત ચુંબકીયક્ષેત્ર અનુભવે છે. ખીલીમાં ચુંબકીય ચાકમાત્રા પ્રેરિત થાય છે અને તેથી, તે બળ અને ટૉર્ક બંને અનુભવે છે. પરિણામી બળ આકર્ષી હોય છે કારણ કે ખીલીમાં પ્રેરિત થયેલ ઉત્તર ધ્રુવની સરખામણીમાં, પ્રેરિત દક્ષિણ ધ્રુવ (ધારો કે), ચુંબકના ઉત્તર ધ્રુવની નજીક હોય છે.
- (c) એવું જરૂરી નથી. એ ત્યારે જ સાચું છે કે જ્યારે (ચુંબકીય) ક્ષેત્રના ઉદ્ગમની પરિણામી ચુંબકીય ચાકમાત્રા શૂન્ય ન હોય. ટોરોઇડ કે સીધા અનંત લંબાઈના વાહક માટે આમ હાતું નથી.
- (d) આ ટુકડાઓના જુદા જુદા છેડા એકબીજાની પાસે લાવી જુઓ. કોઈ પરિસ્થિતિ દરમિયાન અપાકર્ષી બળ અનુભવાય તો તે દર્શાવે છે કે બંને ચુંબકીત કરેલા છે. જો તે (દરેક સ્થિતિમાં) કાયમ આકર્ષે, તો બે માંથી એક ચુંબકીત કરેલ નથી. ગજિયા ચુંબકમાં ચુંબકીયક્ષેત્રની તીવ્રતા તેના બંને છેડે (ધ્રુવો પર) મહત્તમ હોય છે અને વચ્ચેના

ઉદાહરણ 5.2

ઉદાહરણ 5.3

ભાગમાં અત્યંત નબળી (લઘુતમ) હોય છે. આ હકીકતનો ઉપયોગ કરીને A અથવા B ચુંબક છે કે નહીં તે નક્કી કરી શકાય. બે ટુકડામાંથી કયો ચુંબક છે તે નક્કી કરવા, કોઈ એક ટુકડો લો (ધારોકે A), અને તેના કોઈ એક છેડાને બીજા ટુકડા (ધારોકે B)ના કોઈ એક છેડા પાસે નીચે લાવો, અને ત્યારબાદ Bના કેન્દ્ર (મધ્યભાગ) પાસે લાવો. જો તમને લાગે કે Bના કેન્દ્ર પાસે A કોઈ બળ અનુભવતો નથી, તો B ચુંબકીત છે. જો તમને Bના છેડાથી કેન્દ્ર તરફ આવતાં કોઈ ફરક ન અનુભવાય, તો A ચુંબકીત છે.

5.2.4 સ્થિતવિદ્યુત સાથે સામ્યતા (The Electrostatic Analog)

સમીકરણો (5.2), (5.3) અને (5.6)ની વિદ્યુત દ્વિ-ધ્રુવી (પ્રકરણ-1) માટેના તે પ્રકારના સમીકરણો સાથેની સરખામણી દર્શાવે છે કે મેગનેટિક મોમેન્ટ \mathbf{m} ધરાવતા ગજિયા ચુંબક વડે મોટા અંતરે ઉદ્ભવતું ચુંબકીયક્ષેત્ર, દ્વિ-ધ્રુવી ચાકમાત્રા (ડાર્ટ્યુપોલ મોમેન્ટ) \mathbf{p} ધરાવતા વિદ્યુત દ્વિ-ધ્રુવી (ડાયપોલ)ના વિદ્યુતક્ષેત્ર માટેના સમીકરણોમાં

$$\mathbf{E} \rightarrow \mathbf{B}, \mathbf{p} \rightarrow \mathbf{m}, \frac{1}{4\pi\epsilon_0} \rightarrow \frac{\mu_0}{4\pi}$$

મુકવાથી મેળવી શકાય.

ખાસ કરીને, l લંબાઈ (Size) ધરાવતા ગજિયા ચુંબકથી r અંતરે, $r >> l$ માટે, તેના વડે ઉદ્ભવતું વિષુવરેખીય ક્ષેત્ર (\mathbf{B}_E) આ મુજબ લખી શકાય :

$$\mathbf{B}_E = -\frac{\mu_0 \mathbf{m}}{4\pi r^3} \quad (5.7)$$

તે જ રીતે, $r >> l$ માટે ગજિયા ચુંબકનું અક્ષીય ક્ષેત્ર (\mathbf{B}_A) આ મુજબ છે :

$$\mathbf{B}_A = \frac{\mu_0}{4\pi} \frac{2\mathbf{m}}{r^3} \quad (5.8)$$

સમીકરણ (5.8) એ સમીકરણ (5.2)નું ફક્ત સદિશ સ્વરૂપ છે. કોષ્ટક 5.1માં વિદ્યુત દ્વિ-ધ્રુવી અને ચુંબકીય દ્વિ-ધ્રુવી (ડાયપોલ) વચ્ચેની સામ્યતા દર્શાવી છે.

કોષ્ટક 5.1 દ્વિ-ધ્રુવી (ડાયપોલ) સામ્યતા

	સ્થિત વિદ્યુતક્ષેત્ર	ચુંબકત્વ
દ્વિ-ધ્રુવી ચાકમાત્રા (ડાયપોલ મોમેન્ટ)	$1/\epsilon_0$	μ_0
નાના ડાયપોલ માટે વિષુવરેખીય ક્ષેત્ર	\mathbf{p}	\mathbf{m}
નાના ડાયપોલ માટે અક્ષીય ક્ષેત્ર	$-\mathbf{p}/4\pi\epsilon_0 r^3$	$-\mu_0 \mathbf{m}/4\pi r^3$
બાય્ય ક્ષેત્ર : ટોર્ક	$2\mathbf{p}/4\pi\epsilon_0 r^3$	$\mu_0 \mathbf{m}/4\pi r^3$
બાય્ય ક્ષેત્ર : ઊર્જા	$\mathbf{p} \times \mathbf{E}$	$\mathbf{m} \times \mathbf{B}$
	$-\mathbf{p} \cdot \mathbf{E}$	$-\mathbf{m} \cdot \mathbf{B}$

ઉદાહરણ 5.4 5.0 cm લંબાઈના ગજિયા ચુંબકના મધ્યબિંદુથી 50 cm અંતરે વિષુવરેખીય અને અક્ષીય ક્ષેત્રોનું મૂલ્ય કેટલું હશે ? ઉદાહરણ 5.2ની જેમજ, ગજિયા ચુંબકની ચુંબકીય ચાકમાત્રા (મોમેન્ટ) 0.40 Am^2 છે.

ઉકેલ

સમીકરણ (5.7) પરથી,

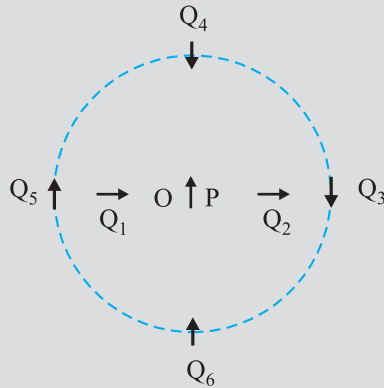
$$B_E = \frac{\mu_0 m}{4\pi r^3} = \frac{10^{-7} \times 0.4}{(0.5)^3} = \frac{10^{-7} \times 0.4}{0.125} = 3.2 \times 10^{-7} \text{ T}$$

$$\text{સમીકરણ (5.8) પરથી, } B_A = \frac{\mu_0^2 m}{4\pi r^3} = 6.4 \times 10^{-7} \text{ T}$$

ચુંબકત્વ અને દ્રવ્ય

ઉદાહરણ 5.5 આફુતિ 5.5માં O બિંદુએ મુકેલી એક નાની ચુંબકીત સોય P દર્શાવી છે. તીરની નિશાની તેની ચુંબકીય ચાકમાત્રા (મોમેન્ટ)ની દિશા દર્શાવે છે. બીજા તીર, તેના જેવી જ બીજ ચુંબકીય સોય Qના જુદા જુદા સ્થાન (અને ચુંબકીય ચાકમાત્રાની દિશાઓ) દર્શાવે છે.

- (a) કઈ સંરચના (ગોઠવણી)માં આ તંત્ર સુંતુલનમાં નથી?
- (b) કઈ સંરચના (ગોઠવણી)માં તંત્ર (i) સ્થાયી, અને (ii) અસ્થાયી સંતુલનમાં હશે?
- (c) દર્શાવેલ બધી ગોઠવણીઓમાંથી લઘુતમ સ્થિતિ ઊર્જાને અનુરૂપ કઈ ગોઠવણી છે?



આફુતિ 5.5

ઉકેલ

આ ગોઠવણીની સ્થિતિઊર્જા એક દ્વિ-ધૂવી (ધારોકે Q) બીજ દ્વિ-ધૂવી (P)ના ચુંબકીયક્ષેત્રમાં હોવાયી ઉદ્ભવે છે. P વડે ઉદ્ભવતા ચુંબકીયક્ષેત્રનું સૂત્ર [સમીકરણ (5.7) અને (5.8) પરથી]

$$\mathbf{B}_P = \frac{-\mu_0 \mathbf{m}_p}{4\pi r^3} \quad (\text{લંબ દ્વિભાજક પર})$$

$$\mathbf{B}_P = \frac{\mu_0 2\mathbf{m}_p}{4\pi r^3} \quad (\text{અક્ષ પર})$$

જ્યાં \mathbf{m}_p એ ડાયપોલ Pની ચુંબકીય ચાકમાત્રા (મોમેન્ટ) છે. જ્યારે \mathbf{m}_Q એ \mathbf{B}_P ને સમાંતર હોય ત્યારે સંતુલન સ્થાયી હોય છે, અને જ્યારે તે \mathbf{B}_P ને પ્રતિસમાંતર હોય ત્યારે અસ્થાયી સંતુલન હોય છે.

દ. ત. Q₃ ગોઠવણી કે જેમાં Q એ ડાયપોલ Pના લંબ દ્વિભાજક પર હોય ત્યારે Qની ચુંબકીય ચાકમાત્રા, સ્થિતિ 3 પાસે ચુંબકીયક્ષેત્રને સમાંતર હોય છે. આથી, Q₃ સ્થિર છે.

આમ,

- (a) PQ₁ અને PQ₂
- (b) (i) PQ₃, PQ₆ (સ્થાયી) (ii) PQ₅, PQ₄ (અસ્થાયી)
- (c) PQ₆

5.3 ચુંબકત્વ અને ગોસનો નિયમ

(MAGNETISM AND GAUSS'S LAW)

પ્રકરણ-1માં આપણે સ્થિત વિદ્યુત માટે ગોસનો નિયમ ભાગ્યા હતા. આફુતિ 5.3(c)માં આપણે જોઈ શકીએ કે ① વડે દર્શાવેલ બંધ પૃષ્ઠ માટે, પૃષ્ઠમાંથી બહાર નીકળતી (ક્ષેત્ર) રેખાઓની સંખ્યા, અંદર પ્રવેશતી રેખાઓની સંખ્યા જેટલી જ છે. આ એ હડીકત સાથે સુસંગત છે કે આ પૃષ્ઠ વડે કોઈ વિદ્યુતભાર ઘેરાયેલ નથી. આમ છતાં, આ જ આફુતિમાં બંધ પૃષ્ઠ ② માટે પરિણામી ફ્લૂક્સએ બહાર તરફનું ફ્લૂક્સ છે, કારણ કે તેમાં ચોખ્યો (ધન) વિદ્યુતભાર ઘેરાયેલો છે.

ઉદાહરણ 5.5

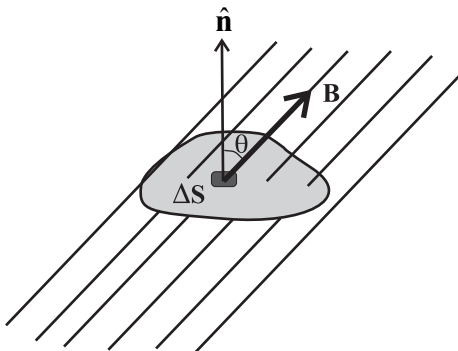
ભौतિકવિજ્ઞાન



કાર્લ ફેડ્રિચ ગોસ (Karl Friedrich Gauss) (1777-1855)

કાર્લ ફેડ્રિચ ગોસ (Karl Friedrich Gauss) (1777-1855) તે બાળપણથી જ વિલક્ષણ હતા અને કુદરતી રીતે ગણિતશાસ્ત્ર, ભૌતિકશાસ્ત્ર, એન્જિનીયરિંગ, એસ્ટ્રોનોમી તથા લેન્ડ સર્વેમાં માહીર હતા. અંકશાસ્ત્રના ગુણધર્મોથી તે પ્રભાવીત થયા હતા અને તેમણે પાછળથી ગણિતના વિકસમાં મોટો ફાળો આપ્યો હતો. વિલ્હેમ વેલ્સર (Wilhelm Welser) સાથે મળીને 1833માં પ્રથમ ટેલીગ્રાફ મશીન બનાવ્યું હતું. વક્ત પૃષ્ઠો વિશેના તેમના ગાણિતીક સિદ્ધાંતોએ રેઈમન (Reimann)ના કાર્યમાં પાયારૂપ ભૂમિકા ભજવી છે.

ચુંબકીયક્ષેત્રો, જે સતત હોય છે અને બંધ ગાળા રચે છે, તેમના માટે આ પરિસ્થિતિ તદ્દન અલગ છે. આકૃતિ 5.3(a) અથવા આકૃતિ 5.3(b)માં ① અથવા ② વડે દર્શાવેલા ગોસિયન પૃષ્ઠનું અવલોકન કરો. બંને ડિસ્સા દેખીતી રીતે દર્શાવે છે કે આ પૃષ્ઠમાંથી બહાર નીકળતી ચુંબકીય ક્ષેત્રરેખાઓની સંખ્યા તેમાં પ્રવેશતી રેખાઓની સંખ્યા વડે સમતુલિત થાય છે. બંને પૃષ્ઠ માટે ચોખ્યું ચુંબકીય ફ્લૂક્સ શૂન્ય છે. આ બાબત દરેક બંધ પૃષ્ઠ માટે સત્ય છે.



આકૃતિ 5.6

આકૃતિ 5.6માં દર્શાવ્યા મુજબ બંધ પૃષ્ઠ S નો એક નાનો સંદિશ ક્ષેત્રફળ ખંડ ΔS ધ્યાનમાં લો. ΔS માંથી પસાર થતું ચુંબકીય ફ્લૂક્સ $\Delta\phi_B = \mathbf{B} \cdot \Delta S$ વડે વ્યાખ્યાપિત થાય છે, જ્યાં \mathbf{B} એ ΔS આગળનું ક્ષેત્ર છે. આપણે S ને ઘણા બધા ક્ષેત્રફળ ખંડોમાં વિભાજત કરીએ અને સ્વતંત્ર રીતે દરેકમાંથી પસાર થતું ફ્લૂક્સ ગણીએ તો ચોખ્યું (net) ફ્લૂક્સ ϕ_B નું મૂલ્ય

$$\Phi_B = \sum_{all} \Delta\phi_B = \sum_{all} \mathbf{B} \cdot \Delta S = 0 \quad (5.9)$$

જ્યાં ‘all’નો અર્થ ‘બધા જ ક્ષેત્રફળ ખંડ ‘ ΔS ’. આને સ્થિત વિદ્યુત માટેના ગોસના નિયમ સાથે સરખાવો. તે ડિસ્સામાં બંધ પૃષ્ઠમાંથી પસાર થતું ફ્લૂક્સ

$$\sum \mathbf{E} \cdot \Delta \mathbf{S} = \frac{q}{\epsilon_0}$$

વડે અપાય છે. જ્યાં, q એ પૃષ્ઠ વડે વેરાયેલો વિદ્યુતભાર છે.

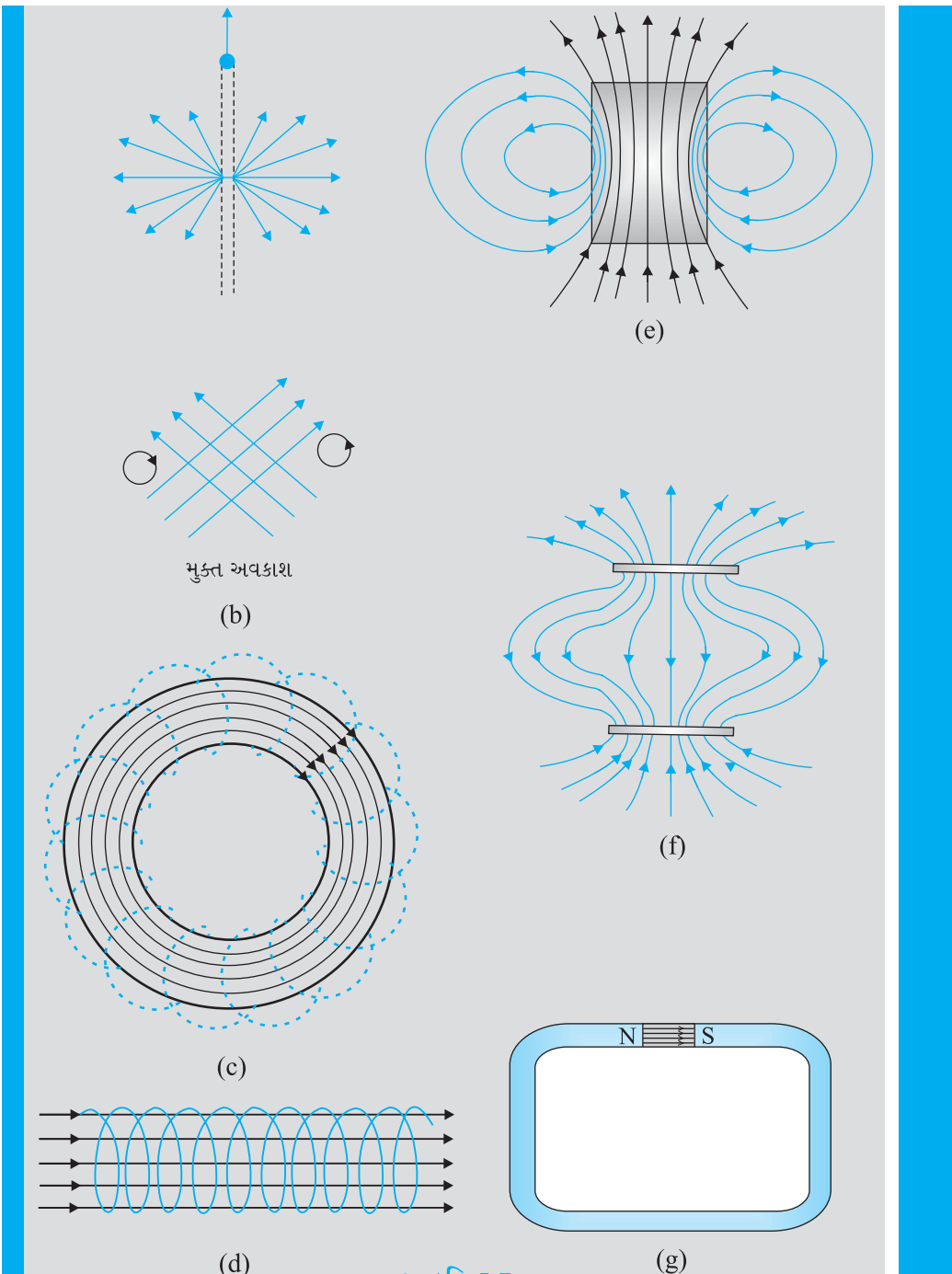
ચુંબક્ત્વ અને સ્થિત વિદ્યુત માટેના ગોસના નિયમો વચ્ચેનો તફાવત એ પ્રતિબિંબિત કરે છે કે અલગ કરેલા (સ્વતંત્ર) ચુંબકીય ધ્રુવો (જેમને એકધ્રુવીઓ પણ કહે છે) નું અસ્તિત્વ જાણવા મળ્યું નથી. \mathbf{B} ના ઉદ્ગમો કે શોપક (Sink) નથી; ચુંબક્ત્વનો સાદામાં સાદો ઘટક ચુંબકીય દ્વિ-ધ્રુવી (ડાયપોલ) અથવા વિદ્યુતપ્રવાહ લૂપ (બંધ ગાળો) છે. દરેક ચુંબકીય ઘટના દ્વિ-ધ્રુવીઓ (ડાયપોલો)ની અને/અથવા પ્રવાહ લૂપની ગોટેવાળીના રૂપમાં દર્શાવી શકાય છે.

આમ, ચુંબક્ત્વ માટે ગોસનો નિયમ આ મુજબ છે :

કોઈ પણ બંધ પૃષ્ઠમાંથી પસાર થતું ચોખ્યું (પરિણામી) ચુંબકીય ફ્લૂક્સ શૂન્ય હોય છે.

ઉદાહરણ 5.6

ઉદાહરણ 5.6 આકૃતિ 5.7માં દર્શાવેલ ચુંબકીય ક્ષેત્રરેખાઓ (આકૃતિમાં દર્શાવેલ ઘણ રેખાઓ)ની અમુક આકૃતિઓ ખોટી છે. તેમાં શું ખોટું છે તે દર્શાવો. આમાંથી કેટલીક સાચી સ્થિતવિદ્યુત ક્ષેત્રરેખાઓ પણ દર્શાવે છે. તે કઈ છે તે દર્શાવો.



આકૃતિ 5.7

ઉકેલ

- (a) ખોટું છે. આકૃતિમાં દર્શાવ્યા મુજબ, ચુંબકીય ક્ષેત્રરેખાઓ કયારેય બિંદુવત ઉદ્ગમમાંથી નીકળતી ન હોય. કોઈપણ બંધ પૃષ્ઠ માટે, \mathbf{B} નું ચોખું ફ્લૂક્સ હુંમેશા શૂન્ય હોય છે. એટલે કે, આકૃતિમાં જેટલી ક્ષેત્રરેખાઓ પૃષ્ઠમાં દાખલ થાય તેટલી જ તેમાંથી બહાર નીકળતી દેખાવી જોઈએ. ખરેખર તો દર્શાવેલ ક્ષેત્ર રેખાઓ, લાંબા ધન વિદ્યુતભારીત તારનું વિદ્યુતક્ષેત્ર દર્શાવે છે. સાચી ચુંબકીય ક્ષેત્ર રેખાઓ, સીધા વાહક તારની આસપાસ, પ્રકરણ-4માં દર્શાવ્યા મુજબ વર્તુળકાર હોય છે.

ઉદાહરણ 5.6

- (b) ખોટું. ચુંબકીય ક્ષેત્ર રેખાઓ (વિદ્યુતક્ષેત્ર રેખાઓની જેમ) ક્યારેય એક બીજને છેદતી નથી, કારણ કે તેમ થાય તો છેદન બિંદુએ (ચુંબકીય) ક્ષેત્રની દિશા અનિશ્ચિત (સંદિગ્ધ) થઈ જાય. આ આકૃતિમાં બીજ પણ એક ભૂલ છે. સ્થિત ચુંબકીય ક્ષેત્ર રેખાઓ મુક્ત અવકાશની આસપાસ ક્યારેય બંધ ગાળા રચતી નથી. બંધ ગાળો રચતી સ્થિત ચુંબકીય ક્ષેત્ર રેખા વિદ્યુતપ્રવાહ પસાર થતો હોય તેવા કોઈ વિસ્તારને ઘેરતી હોવી જોઈએ. આની સામે, સ્થિત વિદ્યુત ક્ષેત્ર રેખાઓ મુક્ત અવકાશમાં અથવા જ્યારે ગાળો વિદ્યુતભારોને ઘેરતો હોય ત્યારે પણ કિંદી બંધ ગાળા રચતી નથી.
- (c) સાચું. ચુંબકીય ક્ષેત્ર રેખાઓ સંપૂર્ણપણે ટોરોઇડમાં સમાયેલી (બંધિત) હોય છે. અહીં બંધ ગાળા રચતી ક્ષેત્ર રેખાઓમાં કઈ જ ખોટું નથી, કારણ કે દરેક ગાળો વિદ્યુતપ્રવાહ ધારિત વિસ્તારને ઘેરે છે. નોંધો કે, આકૃતિમાં સ્પષ્ટ જોઈ શકાય તે માટે ટોરોઇડમાં થોડીક જ ક્ષેત્ર રેખાઓ દર્શાવી છે. હકીકતમાં, આંટાઓ વડે ઘેરાયેલ સંપૂર્ણ વિસ્તાર ચુંબકીય ક્ષેત્ર ધરાવે છે.
- (d) ખોટું. સોલેનોઇડ વડે ઉદ્ભબતી ક્ષેત્ર રેખાઓ તેના છેડા પર અને તેની બહાર એકદમ સીધી અને સમાયેલી/બંધિત ન હોઈ શકે, કારણ કે તે ઓભિયરના નિયમનો બંગ કરે છે. બંને છેડા પાસે ક્ષેત્ર રેખાઓ વળતી હોવી જોઈએ, અને અંતમાં લેગી થઈને બંધ ગાળા રચતી હોવી જોઈએ.
- (e) સાચું. આ ગજિયા ચુંબકની અંદર અને બહાર ક્ષેત્ર રેખાઓ છે. અંદરની ક્ષેત્રરેખાઓ ધ્યાનથી જુઓ. બધી જ ક્ષેત્ર રેખાઓની હિસ્થિત નીકળતી દર્શાવી છે. ધ્યાયોકિત તક્કિને ઘેરતા પૃષ્ઠમાંથી પસાર થતું ફુલ ફિલક્સ શૂન્ય નથી. ચુંબકીયક્ષેત્ર માટે આ શક્ય નથી. આપેલ ક્ષેત્ર રેખાઓ, વાસ્તવમાં ઉપરની ધન વિદ્યુતભારીત તક્કિ અને નીચેની ઝાણ વિદ્યુતભારીત તક્કિની આસપાસ સ્થિત વિદ્યુત ક્ષેત્ર રેખાઓ દર્શાવે છે. આકૃતિઓ [5.7(e)] અને [f)] વચ્ચેનો તફાવત ધ્યાનપૂર્વક સમજવો જોઈએ.
- (f) ખોટું. બે ધ્રુવ વચ્ચેની ચુંબકીય ક્ષેત્ર રેખાઓ અંત્ય બિંદુઓએ એકદમ સીધી ન હોઈ શકે. રેખાઓ થોડીક તો વળેલી હોવી જોઈએ. નહીંતર, ઓભિયરના નિયમનો બંગ થાય છે. આ વિદ્યુત ક્ષેત્ર રેખાઓ માટે પણ સાચું છે.

ઉદાહરણ 5.7

- (a) ચુંબકીય ક્ષેત્ર રેખાઓ વડે (દરેક બિંદુએ) દર્શાવેલી દિશામાં ચુંબકિત કરેલ સોય (તે બિંદુએ) ગોઠવાય છે (એક રેખાસ્થ થાય છે). શું ચુંબકીય ક્ષેત્ર રેખાઓ ગતિ કરતા વિદ્યુતભાર માટે દરેક બિંદુએ ચુંબકીય બળ રેખાઓ દર્શાવે છે?
- (b) ટોરોઇડના ગર્ભ ભાગ (Core)માં ચુંબકીય ક્ષેત્ર રેખાઓ સંપૂર્ણતા: સમાયેલી હોય છે, પરંતુ સીધા સોલેનોઇડમાં નહીં. શા માટે?
- (c) જો ચુંબકીય એક ધ્રુવીઓ અસ્તિત્વ ધરાવતી હોત, તો ચુંબકત્વ માટેના ગોસના નિયમમાં શું ફરક પડત?
- (d) શું ગજિયા ચુંબકનું ચુંબકીયક્ષેત્ર તેના પોતાના પર ટોર્ક લગાડે? શું વિદ્યુતપ્રવાહ ધારિત તારનો એક ખંડ (વિભાગ) તે જ તારના બીજા વિદ્યુતપ્રવાહ ધારિત ખંડ (વિભાગ) પર બળ લગાડશે?
- (e) ગતિમાન વિદ્યુતભારોના કારણે ચુંબકીયક્ષેત્ર ઉદ્ભબે છે. કોઈ તંત્રનો ચોખ્ખો (પરિણામી) વિદ્યુતભાર શૂન્ય હોય તો પણ તેને ચુંબકીય ચાકમાત્રા (મોમેન્ટ) હોઈ શકે?

ઉદાહરણ 5.7

ઉક્તિ

- (a) ના. ચુંબકીય બળ હંમેશા Bને લંબરૂપે હોય છે. (યાદ રહે કે ચુંબકીય બળ = $qv \times B$). ચુંબકીય ક્ષેત્ર રેખાઓને ચુંબકીય બળ રેખાઓ કહેવું ગેરમાર્ગ દોરનારું/ભૂલ ભરેલું છે.
- (b) જો (ચુંબકીય) ક્ષેત્ર રેખાઓ સીધી સોલેનોઇડના બે છેડાઓ વચ્ચે જ સમાયેલી/બાંધિત હોત, તો દરેક છેડા પરના આડ છેદમાંથી પસાર થતું ફૂલક્સ શૂન્ય ન થાત. પરંતુ ક્ષેત્ર Bનું કોઈ પણ બંધ પૃષ્ઠમાંથી પસાર થતું કુલ ફૂલક્સ હંમેશાં શૂન્ય હોવું જોઈએ. ટોરોઇડ માટે આ મુશ્કેલી રહેતી નથી કારણ કે તેને છેડાઓ જ નથી.
- (c) ચુંબકત્વ માટેનો ગોસનો નિયમ દર્શાવે છે કે કોઈ પણ બંધ પૃષ્ઠમાંથી પસાર થતું B નું ફૂલક્સ હંમેશાં શૂન્ય હોય છે. $\int_s B \cdot d\mathbf{s} = 0$. જો એકધ્રુવી (Monopole) અસ્તિત્વ ધરાવતી હોય તો જમણી બાજુ s વડે ઘેરાયેલ એકધ્રુવી (ચુંબકીય ભાર) q_m ને બરાબર હોત. (સિથત વિદ્યુત માટેના ગોસના નિયમની જેમ $\int_s B \cdot d\mathbf{s} = \mu_0 q_m$ જ્યાં, q_m એ s વડે ઘેરાયેલ (એકધ્રુવી) ચુંબકીય ભાર છે.)
- (d) ના. (ચુંબકના) બંડ (વિભાગ) વડે ઉદ્ભવતા ચુંબકીયક્ષેત્ર વડે તે જ બંડ પર કોઈ બળ કે ટોક લાગતું નથી. પરંતુ તે જ તારના બીજા બંડ પર બળ (કે ટોક) લાગે છે. (સીધા તારના ચોક્કસ કિસ્સા માટે જ આ બળ શૂન્ય હોય છે.)
- (e) હા. તંત્રમાં રહેલા વિદ્યુતભારનું સરેરાશ મૂલ્ય શૂન્ય હોઈ શકે. પરંતુ, જુદા-જુદા પ્રવાહ ધારીત લૂપ (ગાળાઓ)ના લીધે મળતી ચુંબકીય ચાકમાત્રાનું સરેરાશ મૂલ્ય શૂન્ય ન પણ હોય. આપણે પેરામેનેટિક પદાર્થો માટે આ પ્રકારના ઉદાહરણોમાં જોઈશું કે જેમાં પરમાણુઓનો ચોખ્ખો વિદ્યુતભાર શૂન્ય હોવા છતાં તેમને ચોખ્ખો (ચુંબકીય) દ્વિ-ધ્રુવી ચાકમાત્રા હોય છે.

ઉદાહરણ 5.7

5.4 પૃથ્વીનું ચુંબકત્વ (THE EARTH'S MAGNETISM)

અગાઉ આપણે પૃથ્વીના ચુંબકીયક્ષેત્રનો ઉલ્લેખ કર્યો હતો. પૃથ્વીની સપાટી પર જુદા-જુદા સ્થાને પૃથ્વીના ચુંબકીયક્ષેત્રની પ્રબળતાં જુદી-જુદી હોય છે; તેનું મૂલ્ય 10^{-5} Tના કમનું છે.

પૃથ્વીનું ચુંબકીયક્ષેત્ર કાચણે છે તે હજુ સ્પષ્ટ નથી. પહેલાં એવું માનવામાં આવતું હતું કે પૃથ્વીના પેટાળમાં ઉંિ તેની ભ્રમણ અક્ષ પર રહેલા ખૂબ મોટા ગજ્યા ચુંબકના કાચણે આ ચુંબકીયક્ષેત્ર ઉદ્ભવ્યું છે. ખરેખર તો આ અતિ સાછુ નિરૂપણ સત્ય નથી જ. હવે એવું માનવામાં આવે છે કે પૃથ્વીના કેન્દ્રિય ભાગ (ગર્ભ, Core)ની બહારના વિસ્તારમાં રહેલા પિગળેલ પ્રવાહી (મોટા ભાગે પિગળેલા લોંડ અને નિકલ)ની સંવહન ગતિના કાચણે વિદ્યુતપ્રવાહો ઉદ્ભવે છે. જેના કાચણે ચુંબકીયક્ષેત્ર ઉદ્ભવે છે. આને ડાઈનેમો અસર કહેવાય છે.

પૃથ્વીની ચુંબકીય ક્ષેત્ર રેખાઓ પૃથ્વીના કેન્દ્રમાં રહેલા (કાલ્યનિક) ચુંબકીય દ્વિ-ધ્રુવી (ડાયપોલ)ની રેખાઓ જેવી છે. આ ડાયપોલની અક્ષ, પૃથ્વીની ભ્રમણ અક્ષ સાથે એક રેખસ્થ નથી. પરંતુ હાલ ભ્રમણ અક્ષ સાથે લગભગ 11.3° જેટલી ટળતી છે. આ રીતે જોતાં, આ દ્વિ-ધ્રુવીના કાચણે ચુંબકીય ક્ષેત્ર રેખાઓ પૃથ્વીમાં જ્યાંથી બહાર નીકળે છે અથવા સમાય છે ત્યાં ચુંબકીય ધ્રુવો આવેલા છે. ચુંબકીય ઉત્તર ધ્રુવનું સ્થાન 79.74° N અક્ષાંશ અને 71.8° W રેખાંશ પર, ઉત્તર કેનેડામાં કયાંક આવેલું છે. ચુંબકીય દક્ષિણ ધ્રુવ એન્ટાર્ક્ટિકમાં 79.74° S, 180.22° E સ્થાને આવેલો છે.

પૃથ્વીના બૌગોલિક ઉત્તરધ્રુવ પાસે આવેલા ધ્રુવને ઉત્તર ચુંબકીય ધ્રુવ કહે છે. તે જ રીતે, બૌગોલિક દક્ષિણધ્રુવ પાસે આવેલા ધ્રુવને દક્ષિણ ચુંબકીય ધ્રુવ કહે છે.



Geomagnetic field frequently asked questions
<http://www.ngdc.noaa.gov/seg/geomag/>